

173580

EGE ÜNİVERSİTESİ MÜHENDİSLİK BİLİMLERİ FAKÜLTESİ

Kendinden tahrikli, dört tekerlekli taşıtlarda
değişik yer konumlarında tekerlek - yol kuvvet
bağıntı katsayı sınırlarının araştırılması.

Ege Üniversitesi Mühendislik Bilimleri Fakültesine
"Doktora tezi" olarak takdim edilmiştir.

Y.Müh.Mustafa DEMİRŞOY

Tez inceleme jürisi : Prof.Kemal KARHAN
Prof.Dr.Selim PALAVAN
Doç.Dr.Özdemir BENGİSU

Tezin Dekanlığa verildiği tarih : Ocak 1975

TÜRKİYE
BİLİMSEL ve TEKNİK
ARAŞTIRMA KURUMU
KÜTÜPHANEÇİ



Tezin konusunu veren ve yöneten sayın Prof.Kemal Karhan'a,
tezimin hazırlanmasında kıymetli yardımalarını esirgemiyen
sayın Doç.Dr.Özdemir Bengisu'ya ve sayın Doç.Dr.Ekrem
Pakdemirli'ye teşekkürlerimi sunarım.

İÇİNDEKİLER

Sahife

Ozet	
1. Giriş	1
2. Kütlenin eğri bir yüzeydeki hareketi	1
2.1. Kütleye, negatif ve pozitif ivmelendirme esnasında tesir eden kuvvetler	2
2.1.1. İvmelendirilen kütleye tesir eden kuvvetler	9
2.1.2. Hareket yüzeyine paralel, hareket yönü içinde ve enine kuvvetler	10
2.1.3. Hareket yüzeyine paralel ve hareket yönüne tesir eden kuvvetlerin tesbiti	11
2.1.3.1. Sistemin iki tekerleğe irca edilmiş durumu	11
2.1.3.1.1 Negatif ivmelendirme esnasında sisteme tesir eden kuvvetler	11
2.1.3.1.2 Pozitif ivmelendirme esnasında sisteme tesir eden kuvvetler	12
2.1.3.2. Sistemin dört tekerleğe göre etüdü	16
2.1.3.2.1 Negatif ivmelendirme esnasında sisteme tesir eden kuvvetler	16
2.1.3.2.2 Pozitif ivmelendirme esnasında sisteme tesir eden kuvvetler	19
2.1.4. Yan yön verici(Radyal) kuvvetlerin tesbiti	22
2.1.4.1. Negatif ivmelendirme durumu	22
2.1.4.2. Pozitif ivmelendirme durumu	23
2.1.5. Hareket yüzeyine paralel, sistemin boyuna ekseninde ve ona dik olan kuvvetler	24
2.1.5.1. Negatif ivmelendirme durumu	24
2.1.5.2. Pozitif ivmelendirme durumu	26
2.1.6. Dinamik yükler	28
2.1.7. Eğri yüzey üzerindeki hareket esnasındaki kütlenin yana yatması	32
2.1.8. Kütlenin bağıntılı bulunduğu ön ve arka tekerleklerin dinamik yükleri	36
3. Özel haller	45
3.1. Kütlenin eğri ve yükseltilmiş yüzey üzerindeki hareketi	45
3.2. Kütlenin eğik bir yüzey üzerindeki hareketi ($\gamma \neq 0, \delta \neq 0$)	47
3.3. Kütlenin düz bir yüzey üzerindeki hareketi ($\gamma = 0, \delta = 0$)	50
4. Kütlenin hareketindeki limit durumlar	51
4.1. Kütlenin eğri yüzey üzerindeki hareketinde limit durumlar	51
4.1.1. Hareket yüzeyinin $\gamma \neq 0, \delta \neq 0$ olması	51
4.1.1.1. Negatif ivmelendirme durumu	51
4.1.2. Hareket yüzeyinin $\gamma = 0, \delta \neq 0$ olması	52

100 / 100

2.1

4.1.2.1.	Negatif ivmelendirme	52
4.1.2.2.	Pozitif ivmelendirme	53
4.2.	Eğik yüzey üzerindeki harekette limit durumlar ($\gamma \neq 0$, $\delta = 0$)	53
4.2.1.	Eğik yüzeyde aşağı doğru hareket	53
4.2.2.	Eğik yüzeyde yukarı doğru hareket	54
5.	Sabit ve değişken kuvvet dağılımı	55
5.1.	Kuvvet bağıntısı	55
5.2.	Kütlenin eğri bir yüzey üzerindeki hareketinde ideal kuvvet dağılımı ($\gamma \neq 0$, $\delta \neq 0$)	55
5.2.1.	Negatif ivmelendirme durumu	56
5.2.2.	Pozitif ivmelendirme durumu	58
5.3.	Özel durumlar	61
5.3.1.	Hareket yüzeyinin $\gamma = 0$, $\delta \neq 0$ olması durumunda ideal kuvvet dağılımı	61
5.3.2.	Hareket yüzeyinin $\gamma \neq 0$, $\delta = 0$ olması durumunda ideal kuvvet dağılımı	65
5.3.2.1.	Negatif ivmelendirme durumu	65
5.3.2.2.	Pozitif ivmelendirme durumu	66
5.3.3.	Hareket yüzeyinin $\gamma = 0$, $\delta = 0$ olması durumunda ideal kuvvet dağılımı	67
5.3.3.1.	Negatif ivmelendirme durumu	67
5.3.3.2.	Pozitif ivmelendirme durumu	68
6.	Neticelerin bir araç üzerindeki uygulaması	70
6.1.	Eğri yol üzerindeki hareket ($\gamma \neq 0$, $\delta \neq 0$) durumu	70
6.1.1.	Negatif ivmelendirme durumu	70
6.1.2.	Pozitif ivmelendirme durumu	72
6.2.	Eğri yoldaki hareket ($\gamma = 0$, $\delta \neq 0$) durumu	73
6.2.1.	Negatif ivmelendirme durumu	73
6.2.2.	Pozitif ivmelendirme durumu	73
6.3.	Eğik ve düz yoldaki hareket ($\gamma \neq 0$, $\delta = 0$ ve $\gamma = 0$, $\delta \neq 0$) durumu	74
6.3.1.	Negatif ivmelendirme durumu	74
6.3.2.	Pozitif ivmelendirme durumu	75
7.	Sabiteler	78
7.1.	Kütlenin negatif ivmelendirilmesi durumu	78
7.2.	Kütlenin pozitif ivmelendirilmesi durumu	80
7.2.1.	Sistemin dört tekerlekten tahrik edilmesi	80
7.2.2.	Sistemin arka iki tekerlekten tahrik edilmesi	82
7.2.3.	Sistemin ön iki tekerlekten tahrik edilmesi	82
8.	Sonuç	84
	Literatür	

Kullanılan harflerin manası :

- A kp = Pozitif ivmelendirme esnasında dinamik yük değişimi sebebiyle kütleye tesir eden tahrik kuvveti
- A_n kp = Pozitif ivmelendirme esnasında dinamik yük değişimi sebebiyle ön ve arka tekerleklerere tesir eden tahrik kuvveti A_O , A_A
- A_{Tn} kp = Hareket yönündeki tahrik kuvveti A_{TO} , A_{TA}
- B kp = Negatif ivmelendirme esnasında dinamik yük değişimi sebebiyle kütleye tesir eden frenleyici kuvvet
- B_n kp = Negatif ivmelendirme esnasında dinamik yük değişimi sebebiyle ön ve arka tekerleklerere tesir eden fren kuvveti B_O , B_A
- B_{Tn} kp = Hareket yönündeki kuvvet B_{TO} , B_{TA}
- F kp = Merkezkaç kuvveti F_y , F_z
- G kp = Kütlenin ağırlığı G_x , G_y , G_z
- G_A kp = Dinamik yük değişimi sebebiyle arka iki tekerlege tesir eden kuvvet G_3 , G_4
- G_d kp = Kütlenin yana yatması halinde kütleye tesir eden düşey kuvvet
- G_O kp = Dinamik yük değişimi sebebiyle ön iki tekerlege tesir eden kuvvet G_1 , G_2
- I_{rn} kpm = Tekerleklerde dönen kütlelerin momenti = $\frac{I_{n.g}}{R}$
- K_{BM} kp = Kütleye sistemin boyuna ekseninde tesir eden kuvvet
- K_e kp = Tekerlek ekseni yan kuvveti K_{Re} , K_{Te}
- L_n - = Sabite L_1, L_2, \dots ; L_1^+, L_2^+, \dots
- K_{RM} kp = Kütlenin ağırlık merkezine, hareket yönüne dik olarak tesir eden kuvvetler (Radyal kuvvet)
- K_{TM} kp = Kütlenin ağırlık merkezine, hareket yönünde ve hareket düzlemine paralel tesir eden kuvvetler (Teğetsel kuvvet)
- K_{YM} kp = Kütleye boyuna eksenine dik eksende tesir eden kuvvet
- K_y kp = Kütleye tesir eden enine kuvvet

L_m	m	= Kütlenin arka tekerleklerinin eksenine olan mesafesi
L_n	m	= Kütlenin ön tekerleklerin eksenine olan mesafesi
M_d	kpm	= Kütlenin yana yatma ekseni etrafındaki momenti M_{dO} , M_{dA}
M_K	kpm	= Sistemin yüksek eksende meydana gelen moment
M_n	kpm	= Tekerlek eksenlerinde, sistemin boyuna ekseninde tekerleklerle tesir eden kuvvetlerin momentleri M_O - M_A
M_T	kpm	= Hareket yönünde tesir eden kuvvetlerin, kütte ağırlık merkezindeki momenti
M_{tn}	kpm	= Dönen kütlelerin momenti = $I_{tn} \cdot a$ M_{tO} , M_{tA} $M_t = M_{tO} + M_{tA}$
M_y	kpm	= Hareket yönünde ve sistemin boyuna ekseninde tesir eden kuvvetlerin ağırlık merkezindeki momenti
P_K	kp	= Yüksek eksendeki moment tarafından meydana getirilen kuvvet çifti
ΔQ	kp	= Kütlenin yana yatması neticesi, tekerleklerdeki yük değişimi ΔQ_O , ΔQ_A
R_{din}	m	= Tekerlek dinamik yarıçapı
T_n	-	= Sabite $T_1, T_2 \dots ; T_1^+, T_2^+ \dots$
V	km/h	= Kütlenin hızı
w_L	kp	= Kütlenin ağırlık merkezine tesir eden hava direnci $w_L = w_{L/G}$
w_{Rn}	kp	= Yuvarlanma direnci Ön ve arka tekerleklerle tesir eden yuvarlanma direnci $w_{RÖ}$, w_{RA}
y_n	kp	= Hareket ekseninin enine kuvveti
y_{Rn}	kp	= Hareket eksenine enine yöndeki yön verici kuvvet $y_{RÖ}$, y_{RA}
Z_{An}	-	= Sabite Z_{A1}, Z_{A2}, Z_{A3}
$Z_{Ön}$	-	= Sabite $Z_{Ö1}, Z_{Ö2}, Z_{Ö3}$
ζ_n	-	= h/e oranı , $h/e_A = \zeta_A$, $h/e_0 = \zeta_0$

Γ_n - = Sabite $\Gamma_1, \Gamma_2 \dots ; \Gamma_1^+, \Gamma_2^+ \dots$

Λ_n - = Sabite $\Lambda_1, \Lambda_2 \dots ; \Lambda_1^+, \Lambda_2^+$

$a_M = a_e$ % = hareket yörüngesi teğetine dik olan enine ivmeleendirme değeri

a, a^+ % = Sistemin frenleme ve tahrik değeri
 $B/G = b/g = a$, $A/G = b/g = a^+$

a_i % = İdeal frenleme veya tahrik değeri

a_{max} % = Sistemin negatif ivmeleendirilmesi esnasında ulaşabileceği max. frenleme değeri

a_{max}^+ % = Sistemin pozitif ivmeleendirilmesi esnasında ulaşabileceği max. tahrik değeri

b m/s^2 = Kütlemin ivmesi

$$b_t = dV/dt, b_n = V^2/r$$

b_e m/s^2 = Hareket yörüngesinin teğetine dik olan enine ivme

c_{dn} kpm/rd = Yay katsayısı c_{dO}, c_{dA}

e_m m = Aynı eksendeeki yayların biribirlerine olan mesafesi

e_n m = Aynı eksendeeki tekerleklerin hareket düzleminde bıraktıkları iz genişliği e_O, e_A

f_K # = Tekerlek ile hareket yüzeyi arasındaki kuvvet bağıntı katsayısı $f_{KO}, f_{KA}, f_{KL}, f_{K2}, f_{K3}, f_{K4}$

g m/s^2 = Yerçekim ivmesi

h m = Kütlemin hareket yüzeyine olan mesafesi

i_{tn} m = Dönen tekerleklerin atalet dağeri I_{tn}/G
 $i_t = i_{t0} + i_{tA}$

m kps^2/m = Kütle

r_n m = Hareket yörüngesinin eğrilik yarıçapı r_O, r_A, r_M

α_n Derece = Hareket sapma açısı (Hız yönü ile kütlemin bağıntılı olduğu tekerleklerin hareket yönü arasındaki açı) α_O, α_A

γ Derece = Hareket yüzeyinin boyuna yöndeki eğim açısı

δ Derece = Hareket yüzeyinin enine yöndeki eğim açısı

β - = Yuvarlanma direnci katsayısı

ν_{rad} = Kütlenin tekerlek eksenlerindeki yana yatma miktarı ν_{θ} , ν_A

$\phi \%$ = Sitemin arka tekerlek eksenindeki sabit fren kuvveti oranı

$$\phi = B_{TA}/B \quad 1 - \phi = B_{TO}/B, \quad B = B_{TO} + B_{TA}$$

ψ - = L_n/L ve $1 - \psi = L_m/L$ oranı

χ - = h/L oranı

φ_{rad} = Kütlenin yana yatmasının neticesi olarak kütleye meydana gelen burulma miktarı

ZUSAMMENFASSUNG

Bei Verzögerung (Bremsen) und Beschleunigung (Antrieb) eines Kraftfahrzeugs entsteht durch dynamische Gewichtsverlagerung zwischen Rädern und Fahrbahn eine Kraftschlussanstrengung.

In vorliegender Arbeit wurde untersucht, inwieweit sich die Kraftschlussanstrengungswerte in der Kurve bei jedem einzelnen Rad ändert.

Die durch dynamische Gewichtsverlagerung auf die Räder wirkenden Kräfte wurden bei Verzögerung und Beschleunigung des Kraftfahrzeugs in steigender und fallender Kurve untersucht. Die gleiche Untersuchung wurde auch für steigende und fallende gerade Strecken durchgeführt.

Erst durch die errechneten Radlasten konnten die Kraftschlussanstrengungswerte, die zwischen Rädern und Fahrbahn entstehen, ermittelt werden.

Diese ermittelten Werte wurden für verschiedene Fahrbahnen untersucht und zwar jeweils in Abhängigkeit von Verzögerung und Beschleunigung.

Die erzielten Ergebnisse wurden zuletzt für ein Serienfahrzeug ausgewertet. Diese Werte wurden unter Berücksichtigung von Verzögerung und Beschleunigung für verschiedene Fahrbahnen in Diagramme eingetragen.

Diese Arbeit hat folgendes gezeigt: Wenn ein Fahrzeug auf verschiedenen Fahrbahnen verzögert oder beschleunigt wird, entstehen verschiedene Kraftschlussanstrengungswerte. Die Momente, die auf die Räder wirken, müssen infolge der veränderlichen Kraftschlussanstrengungswerte abhängig von der dynamischen Gewichtsverlagerung verteilt werden.

ÖZET

Bu çalışma ile kendinden tahrikli, dört tekerlekli bir aracın eğri bir yol üzerindeki hareketi esnasında, negatif (frenleme) ve pozitif (tahrik) ivmelendirmesinin neticesi olarak, tekerleklerde meydana gelen yük değişimini sebep olduğu, tekerlek-yol arasındaki kuvvet bağıntısının değişimi incelenmiştir.

Negatif ve pozitif ivmelendirme esnasında tekerleklerdeki dinamik yük değişimi, haretin artan veya azalan eğimli bir eğri yol üzerinde ve bu yolun özel durumlarına göre ayrı ayrı incelenerek tekerleklerle tesir eden kuvvetler bulunmuştur. Bulunan bu kuvvetlerden faydalananlarak tekerlekler ile haret düzlemleri arasında meydana gelen kuvvet bağıntı katsayılarının, negatif ve pozitif ivmelendirmeye bağlı olarak değişimleri, değişik yol konumlarına göre ayrıntılı olarak etüd edilmiştir.

Elde edilen neticeler, seri halde imal edilen bir araca tatbik edilmiş ve ivmelendirme durumlarına bağlı olarak, tekerleklerle yol arasında meydana gelen kuvvet bağıntı katsayılarının değişimi, yolun değişik konumlarına göre hesaplanmış ve diyagramlarla ifade edilmiştir.

Yapılan bu inceleme, aracın frenlenmesi veya tahrik edilmesi esnasında tekerleklerle tatbik edilecek olan momentlerin, her tekerlegin dinamik yük değişimine göre yapılmasının gerekliliğini göstermektedir.

Araçın hareket stabilitesi üzerinde birçok araştırmalar yapılmış ve bütün bu çalışmalar araçın gelişmelerine yardımçı olmuştur. Bu araştırmalardan bazıları, aracın eğri bir yol üzerindeki hareket durumları üzerine teksif edilmiştir. Bölüm [1] aracın yükseltilmemiş stasyoner eğri bir yol üzerindeki hareket durumunu inceliyerek Computer için uygun bir İterasyon metodu geliştirmiştir. Aynı araştırmacı, aracın doğrusal bir hareketi esnasında yan kuvvetlerin stabiliteye [2] olan tesirini incelemiştir. Braess [3], önden tarihlenmiş araçların bir eğri yol üzerindeki hareketinde aracın tarihlenmiş durumundan frenlemeye geçişini esnasında lastik özelliklerini, önemli araç büyüklüklerini ve aracın eğri yol üzerindeki hareket açılarına olan tesirlerini incelemiştir. Braess, bu yapmış olduğu araştırma ile lastik yan kuvvetlerinin çevre kuvvetlerine olan tesirlerinin, gaz değiştirmeye, yani tarihlenmiş durumundan frenlemeye geçiş durumu ile oldukça ilgili olduğunu tesbit etmiştir. Diğer taraftan, Braess, diğer bir çalışma ile yön vermenin araç stabilitesine olan tesirini araştırmıştır. Chiesa ve Rinonapoli verilen bir eğri yörüngede üzerinde hareket eden aracın hareket stabilitesini geliştirmiştir. Oldukları 3 serbestlikli lineer olmayan matematik bir model ile incelemiştir. Bu verilen hareket hattı için tekerlek askı sistemlerinde ve lastiklerde yapılan değişiklikler araştırılmışlardır. Jindra [10, 11] bir çekici ve ön aksı yön vericili dört tekerlekli bir treyler sisteminin hareket esnasındaki yön stabilitesini incelemiştir. Ayrıca, eğri bir yol üzerindeki harekette tekerlek aksı sistemlerinin araç stabilitesine olan tesirlerini etüd etmiştir. Metzner [12], yapmış olduğu bir çalışma ile yön verme açısı ve araç reaksiyonu arasındaki zaman farkını gösteren bir hesap metodu geliştirmiştir. Mitschke [13] aracın bir sinüs eğrisi üzerindeki hareketini incelemiştir. Slibar [14], çekici ve treylerin hareket dinamığını stasyoner bir hareket durumu için, yani harmonik olarak meydana gelen daimi yön verme düzeltmelerini araştırmaktır. Spindler [15] araçların virajlarda ne şekilde hareket ettiklerini araştırmıştır. Bu çalışma ile hareket esnasında meydana gelen enine ivmeler ve bu ivmelerin yolun eğimi ve sürtünme ile karşılaşması gösterilmiştir. Araçların virajdaki hızları ve enine ivmeleri fotogrametrik olarak tesbit edilmiştir. Winkelmann [16] aracın sabit bir eğrilik yarıçapında ve yükseltilmemiş bir virajdaki hareketinin genel hareket dinamığını incelemiştir. Deininger [6], yapmış olduğu çalışma ile önden ve arkadan tarihlenmiş durumun araçların stabilitesine olan tesirlerini araştırmıştır. Görge ve Bode [7], çekici ve treylerli bir sistemin düz bir yol-daki frenleme esnasında dinamik aks yükleri, kavrama kuvvetleri ve bütün fren kuvvetinin çeşitli dağılımının

kayma sınırları araştırılmıştır. Görge [8] , treyler ve çekici aracın eğri bir yol hareketinde frenlenmesi esnasında çekici araç, treyler tarafından yola paralel olarak oldukça büyük itme kuvvetleri tesir ettiği tesbit edilmiştir. Treyler tarafından meydana getirilen bu kuvvetler tekerlek yüklerinin ve yan kuvvetlerin değişimini meydana getirdiğini ve fren durumunun kötüleşmesini ortaya çıkardığını tesbit etmiştir. Hasselgruber [9] ise, dört tekerlekli bir aracın stasyoner bir virajdaki hareketinin yön verme geometrisine olan tesirini ve lastiklerin zorlanmalarını araştırmıştır.

Bu araştırmalardan hemen hepsi aracın gerek düz ve gerekse eğri bir yoldaki hareketi esnasında stabilitesine tesir eden bazı durumları araştırmışlardır. Dört tekerlekli kendinden tahrikli bir aracın eğri bir yol (ve bu yolun özel durumları) üzerindeki hareketi esnasında gerek frenleme ve gerekse tahrik edilmesinde dinamik yük değişimi sebebiyle tekerlekler ile yol arasında meydana gelen kuvvet bağıntı katsayısı yazarın bildigte göre henüz araştırılmamıştır.

Bu incelemede, Görge [8]nin incelenmesine yakın mekanik bir model kabul edilerek bu çalışma yapılmıştır.

1. Giriş

Sistemin genel olarak incelenmesi için dört tekerlekli bir model düşünülmüştür. Düşünülen bu modelde, kütlenin hareket etmiş olduğu eğri yüzeyden belirli bir (h) yüksekliğinde bulunduğu ve aynı yüzeyde dönerek hareket eden dört tekerlek ile bağıntılı olduğu kabul edilmiştir. Kütlenin bu dört tekerlek ile rıjit ve yaylarla bağlı bulunduğu durumlarda, kütlenin negatif ve pozitif ivmelemdirilmesi esnasında meydana gelen kuvvetler ile ve dış kuvvetlerin tesiri altında, bu dört tekerlek tekni dinamik yük değişim durumu incelenmiştir. Dinamik yük değişiminin neticesi olarak, bu dört tekerleğin hareket yüzeyi ile aralarında meydana gelen kuvvet ve aderans değeri ile olan bağıntıları, eğri yüzey ve bu eğri yüzeyin özel durumlarına göre ayrıntılı olarak etüd edilmiştir.

2. Kütlenin eğri bir yüzeydeki hareketi

Kütlesi (m) olan maddesel noktanın hareketi esnasında ona tesir eden kuvvetlerin bileskesi Newton'un ikinci hareket kanunu göre şöyledir:

$$\sum \vec{F} = m \cdot \vec{b} \quad (2.1)$$

(F) Kuvveti ile (b) ivmesinin dik bileşenlere ayrılması halinde

$$\sum (F_x \cdot i + F_y \cdot j + F_z \cdot k) = m(b_x \cdot i + b_y \cdot j + b_z \cdot k)$$

yazılır

ve bu bileşenlerin skaler denklemlerle ifadesi:

$$\sum F_x = m \cdot b_x = m \cdot \ddot{x}, \quad F_y = m \cdot b_y = m \cdot \ddot{y}, \quad F_z = m \cdot b_z = m \cdot \ddot{z} \quad (2.2)$$

elde edilir.

(2.1) denkleminin D'Alambert Prensibine göre ifadesi:

$$\sum \vec{F} / m \cdot \vec{b} = 0 \quad (2.3)$$

olarak yazılır.

Kütle eğrisel bir yörtinge üzerinde hareket ediyorsa ivmesi dik, teğetsel ve normal bileşenlere ayrılabilir. Dik bileşenlerin skaler denklemlerle ifadesi Denkl.(2.2) verildiği gibi olup teğetsel ve normal bileşenler:

$$\sum \vec{F}_t = m \cdot \vec{b}_t, \quad \vec{F}_n = m \cdot \vec{b}_n \quad (2.4)$$

ve bu bileşenlerin sırfi koordinatlardaki bileşenleri:

$$\sum \vec{F}_t = m \cdot \frac{dv}{dt}, \quad \sum \vec{F}_n = m \cdot \frac{v^2}{r} \quad (2.5)$$

olarak yazılır.

Kütlenin ivmesi:

$$b = \frac{dv}{dt} \cdot i_t + \frac{v^2}{r} \cdot i_n \quad (2.6)$$

ve skaler bileşenleri;

$$b_t = \frac{dv}{dt}, \quad b_n = \frac{v^2}{r} \quad (2.7)$$

olarak elde edilir.

Dinamik denge halinde kütleye tesir eden kuvvetlerle, atalet vektörü sistemi dengede tutarlar.

Şimdi, bir eğri yüzey üzerinde (h) yüksekliğinde hareket eden kütleye, negatif ve pozitif ivmelendirme esnasında, içten ve dıştan kuvvetlerin tesir etmesi halinde, kütlenin bağlı bulunduğu dört tekerlekteki dinamik yük değişimini inceleyelim.

Kütleye tesir eden kuvvetler denkl.(2.1) benzer şekilde yazılırsa;
negatif ivmelendirme esnasında kütleyi frenliyen kuvvet:

$$\vec{B} = m \cdot \vec{b} = \frac{G}{g} \cdot \vec{b} = G \cdot a \quad (2.8)$$

pozitif ivmelendirme esnasında kütleye hareket veren kuvvet:

$$\vec{A} = m \cdot \vec{b}^+ = \frac{G}{g} \cdot \vec{b}^+ = G \cdot a^+ \quad (2.9)$$

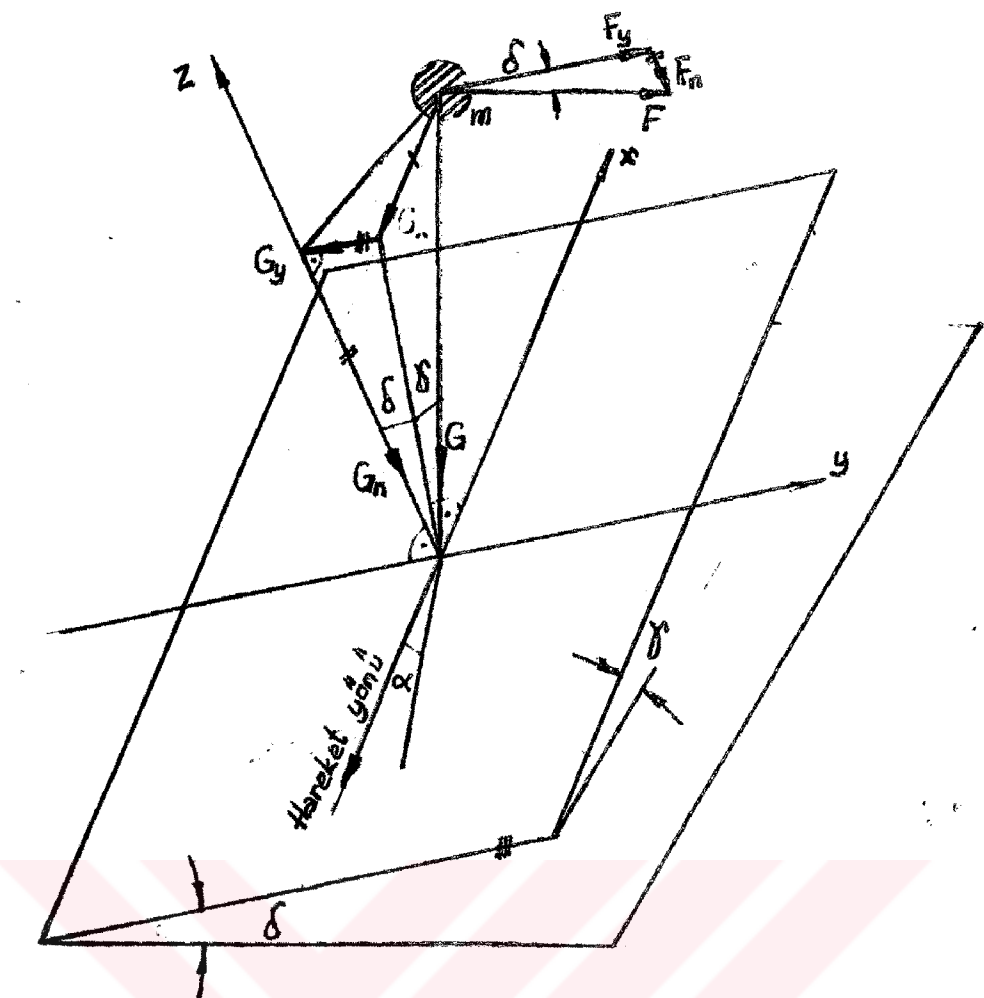
elde edilir.

2.1. Kütleye, negatif ve pozitif ivmelendirme esnasında tesir eden kuvvetler

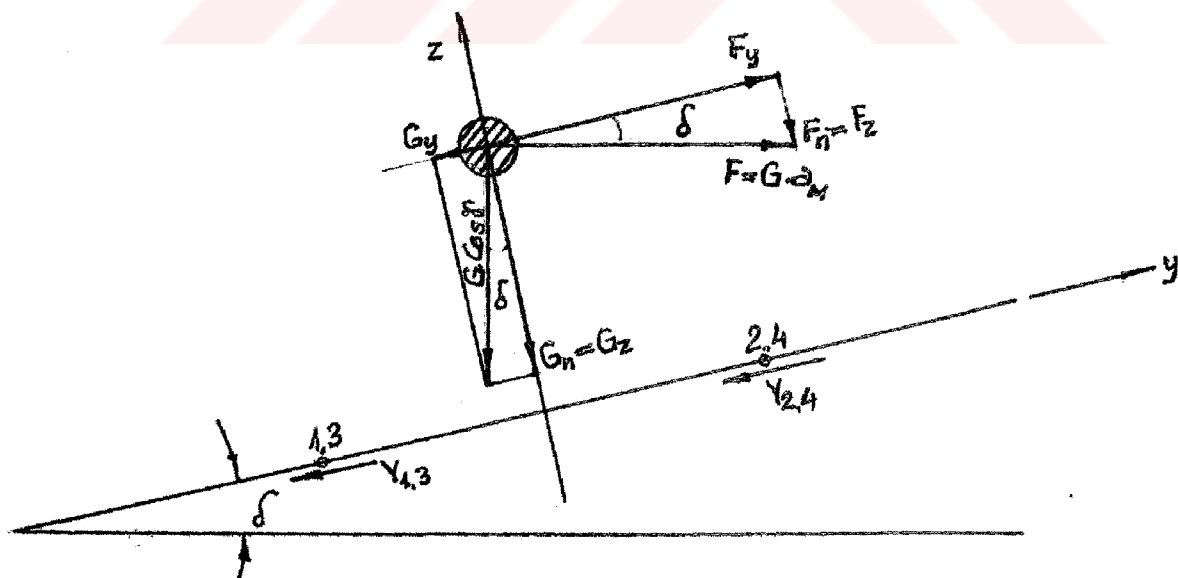
Sistemin incelenmesinde kolaylık sağlama yönünden x, y, z koordinatları Şekil 1 de gösterildiği gibi yerleştirilmiştir.

Şekil 1 ve 2 yardımıyla aşağıda verilen denklemler yazılabılır,

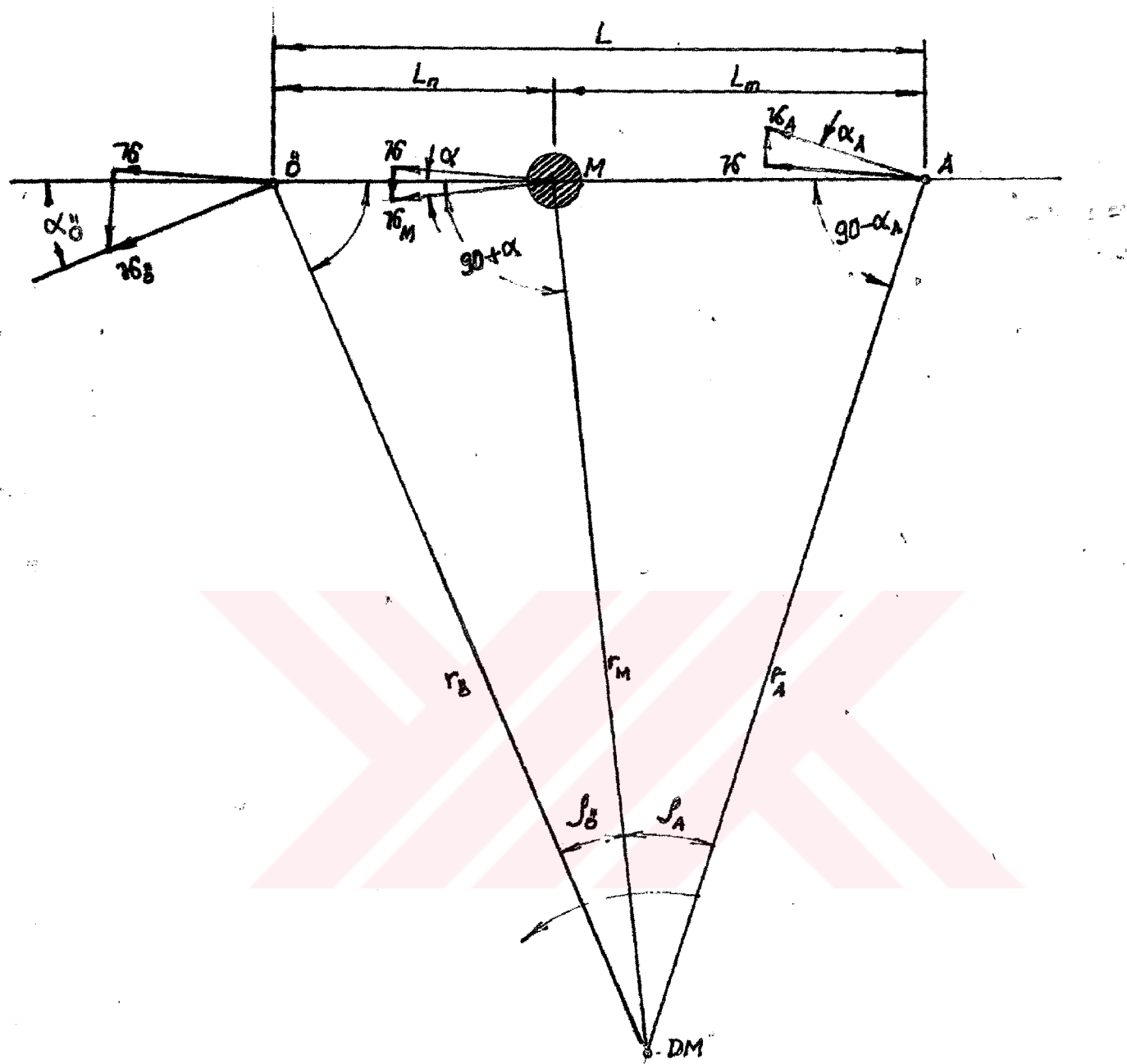
$$\begin{aligned} G_x &= G \cdot \sin \delta & F &= G \cdot a_M \\ G_y &= G \cdot \cos \delta \cdot \sin \delta & F_y &= G \cdot a_M \cdot \cos \delta \\ G_z &= G_n = G \cdot \cos \delta \cdot \cos \delta & F_z &= F_n = G \cdot a_M \cdot \sin \delta \end{aligned} \quad (2.10)$$



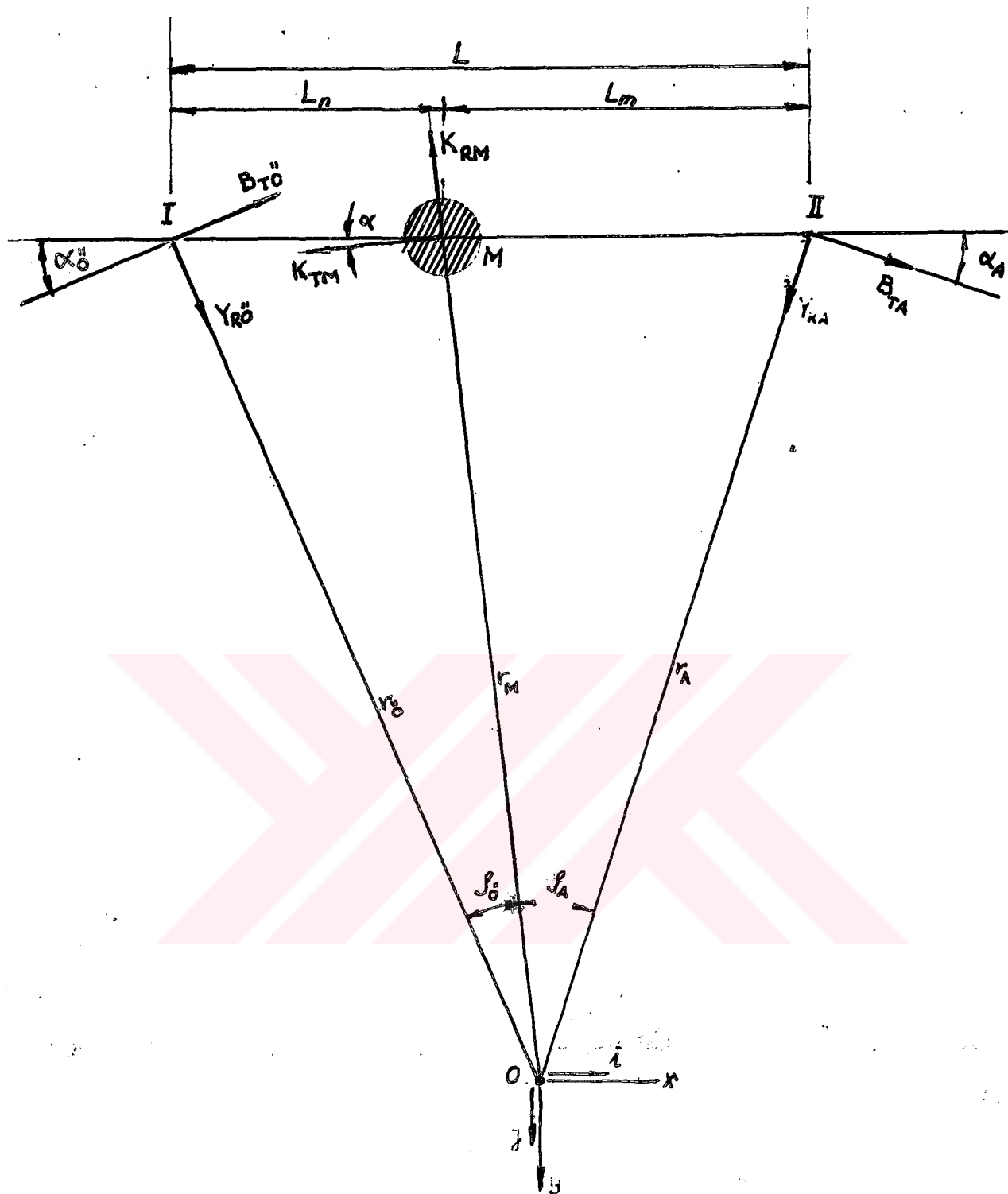
Sekil 1, Kütle ağırlığının ve kütleye tesir eden merkezkaç kuvvetin hareket yüzeyine paralel ve dik bileşenleri



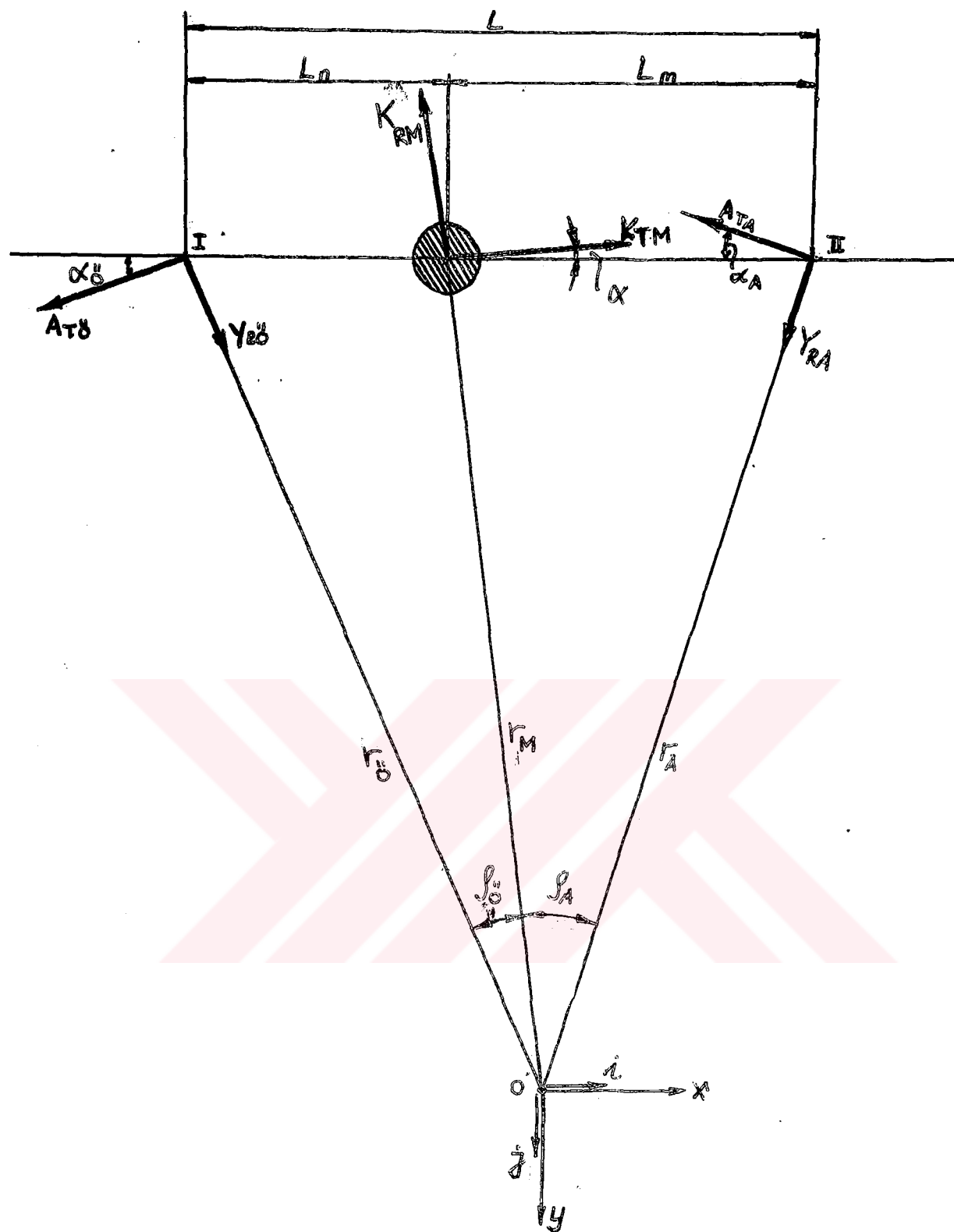
Sekil 2, Eğri yüzey üzerinde hareket eden kütleye tesir eden ağırlık ve merkezkaç kuvvetinin hareket yüzeyine paralel ve dik bileşenlerinin x-ekseni yönünden görünüşü

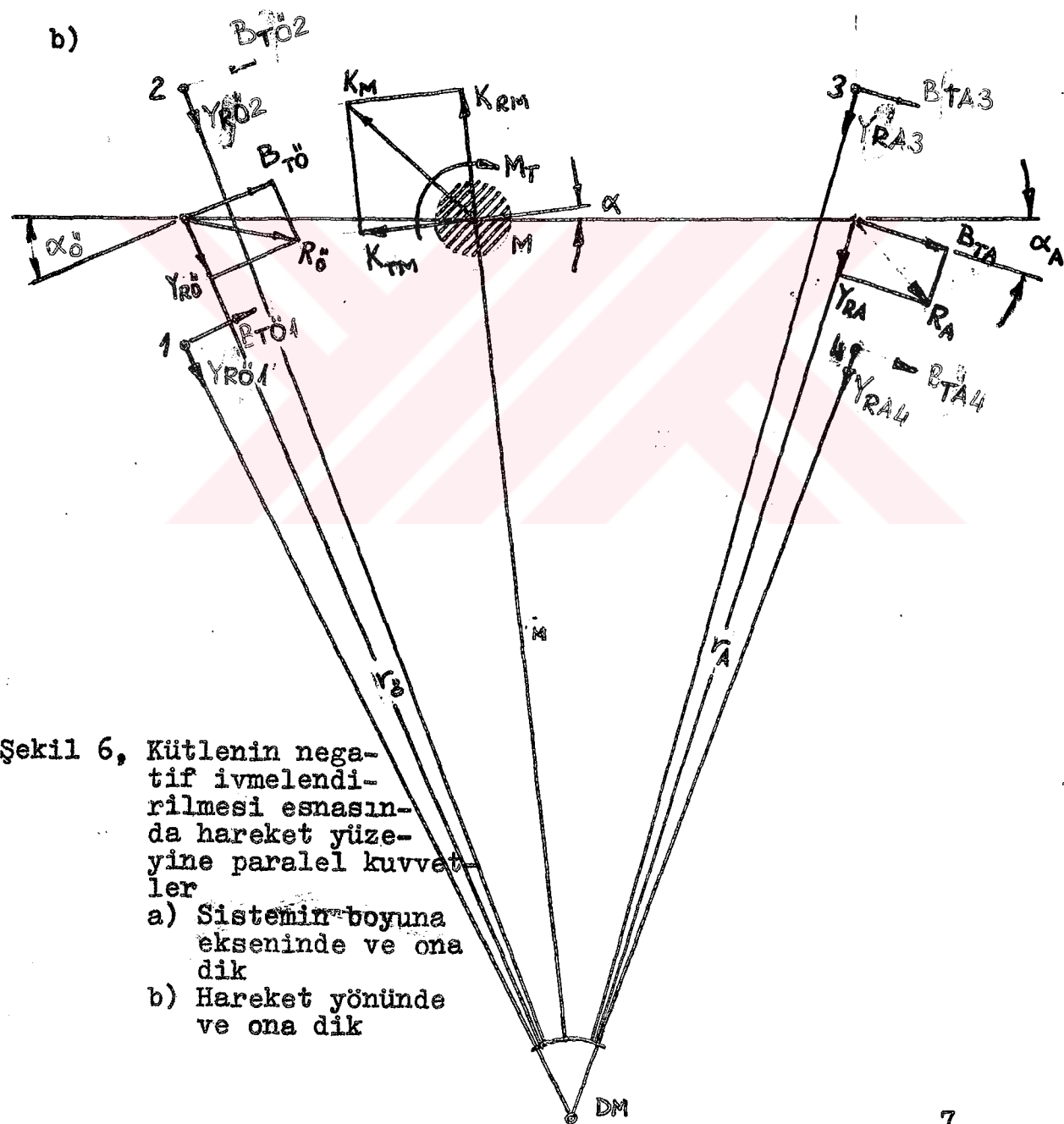
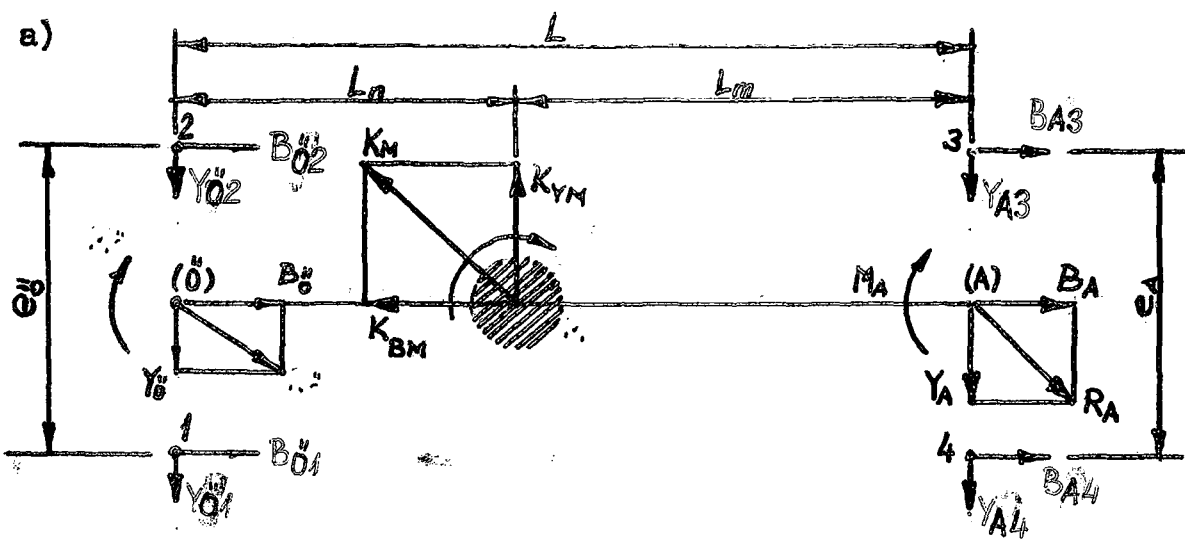


Şekil 3, Kütlenin eğri bir yörünge üzerindeki hareketinde negatif ivmeleendirilmesi halinde bağımlı olduğu ön ve arka tekerleklerdeki hareket yarıçapları ve hızları



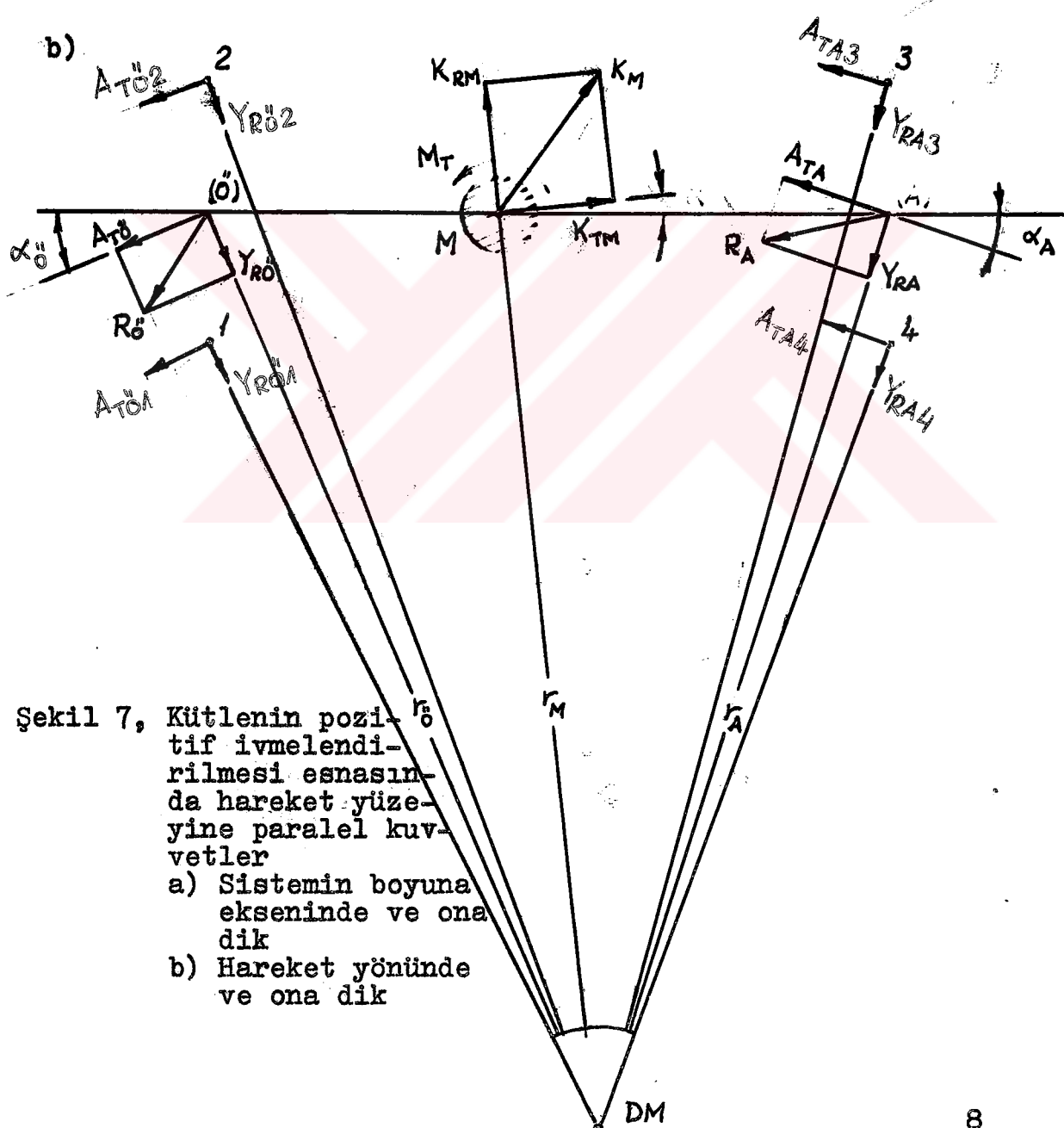
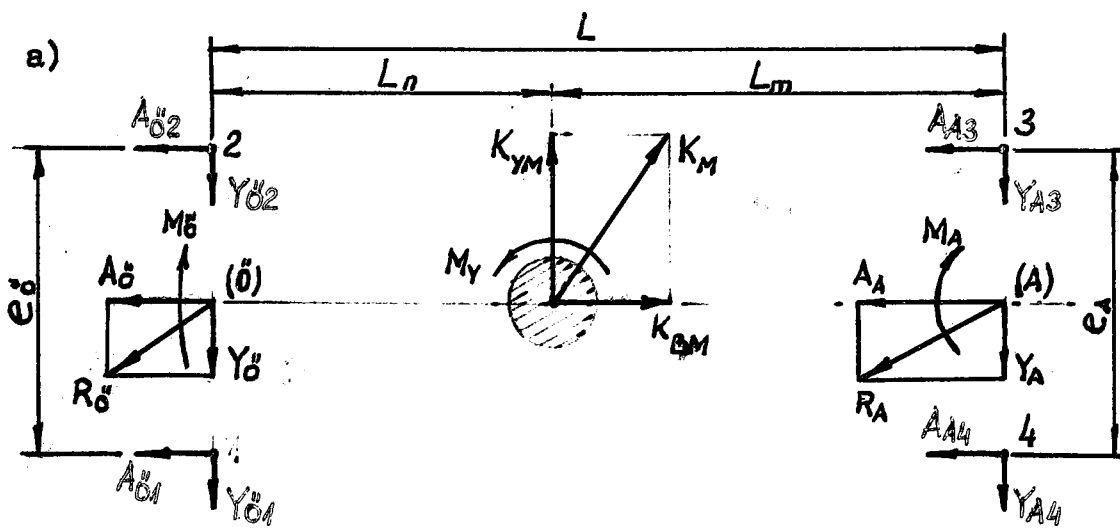
Sekil 4, Eğri bir yörünge üzerinde hareket eden bir kütlenin negatif ivmeleendirilmesi esnasında, tekerleklerde, hareket yüzeyine paralel ve dik olan kuvvetler.





Şekil 6, Kütlenin negatif ivmeleme rilmesi esnasında hareket yüzeyine paralel kuvvetler

- Sistemin boyuna ekseninde ve ona dik
- Hareket yönünde ve ona dik



Şekil 7. Kütlenin pozitif ivmeleme-
rildirmesi esnasında hareket yüzeyine
yine paralel kuvvetler
a) Sistemin boyuna ekseninde ve ona
dik
b) Hareket yönünde ve ona dik

Bir eğri yüzeyde hareket eden kütlenin negatif ve pozitif ivme-lendirilmesi esnasında hareket yüzeyine paralel, oldukça büyük merkezkaç ve atalet kuvvetleri tesir ederler ve bunlar yan kuvvetlerle beraber kütlenin bağıntılı bulunduğu dört tekerliğin yüklerinin değişimini ortaya çıkarırlar.

Kütlenin negatif ve pozitif ivme-lendirilmesi esnasında sisteme tesir eden frenleme ve tahrik değerleri denkl.(2.8) ve (2.9) dan elde edilirler.

$$a = \frac{B}{G} , \quad a^+ = \frac{A}{G}$$

Merkezkaç kuvvetinin tesiri ile kütleye, hareket yörüngeinin tegetine dik ve ağırlık merkezine tesir eden ivme değeri,

$$a_e = a_M = \frac{F}{G} \quad (2.11)$$

Merkezkaç kuvveti ise söyledir:

$$F = m \cdot b_e = m \cdot \frac{v^2}{r} \quad (2.12)$$

2.1.1 İvmelendirilen kütleye tesir eden kuvvetler

Kuvvetlerin tesbiti için statik ve kinematik düşünceler, belirli bir an'da sistemin açıları, yarıçapları, hızları değişmez kabul edilmektedir (Şekil 3). Kuvvetlerin hesaplanması (Şekil 4 ve 5) de belirtildiği gibi negatif ve pozitif ivme-lendirilmiş olan kütlenin teğetsel ve radyal kuvvetleri, bu kuvvetlerle bağıntılı yer kuvvetleri (1,2,3 ve 4 tekerlek kütlelerinin hareket yüzeyi üzerinde dönerken hareket ettiği kabul edilerek ve tekerleklerde meydana gelen frenleyici ve yan yön verici kuvvetler) ile dengede bulunduğu şartına dayanmaktadır.

Negatif ve pozitif ivme-lendirme için yapılan hesaplar Şekil 1....7 kadar verilen sistemlerin durumuna dayanmaktadır.

Hesaplarda, önce aynı eksen üzerinde bulunan iki tekerlek (1,2 ve 3,4) aynı eksenin ortasında bulunan tek tekerlek olarak düşünülmüş ve hesaplar bu şekilde geliştirilmiştir. Aynı eksen üzerinde bulunan iki tekerlek, yani iç ve dış tekerlek arasındaki fark, sistemin boyuna ekseni üzerindeki üst yüksek eksene göre göre alınacak momentlerle ifade edilebilir.

Bütün frenleyici, tahrik ve yan yön verici kuvvetler frenleme (a) ve tahrik (a^+) değerlerinin bir fonksiyonu olarak ifade edilecektir.

2.12 Hareket düzlemine paralel, hareket yönü içinde ve enine kuvvetler

Sekil 8 ve 9 ile kütleye ve bağıntılı bulunduğu tekerleklerde tesir eden kuvvetler, açıları ve hareket yarıapları gösterilmiştir.

K_R Kuvveti hareket düzlemine yönelmiş ve hareket yönüne dik olarak kütlenin ağırlık merkezine tesir eden kuvvetlerin toplamını ifade eder.

$$K_R = \frac{G}{g} \cdot \frac{V^2}{r} \cdot \cos \delta \pm w_R$$

$$= G(a_M \cdot \cos \delta + w_R) \quad (2.13)$$

$$w_R = \pm w_{Ry} \pm G_y = \pm w_{Ry} \pm G \cdot \cos \delta \cdot \sin \delta$$

Dış kuvvetler sağa (dişa doğru) tesir ediyorsa $+w_{Ry}$

Dış kuvvetler sola (içe doğru) tesir ediyorsa $-w_{Ry}$

Hareket düzleminin eğimi, hareket yönünden görünüşe göre

sağa doğru ise, $+G \cdot \cos \delta \cdot \sin \delta$

sola doğru ise, $-G \cdot \cos \delta \cdot \sin \delta$

olarak alınması icap eder.

K_T kuvveti, hareket yönünde ve hareket düzlemine paralel olarak ağırlık merkezine tesir eden veya bu noktaya ırca edilmiş toplam kuvvetleri göstermektedir.

$$K_T = G \cdot a \pm w_T \quad (2.14)$$

$$w_T = \pm w_{Tx} \pm G \cdot \sin \delta$$

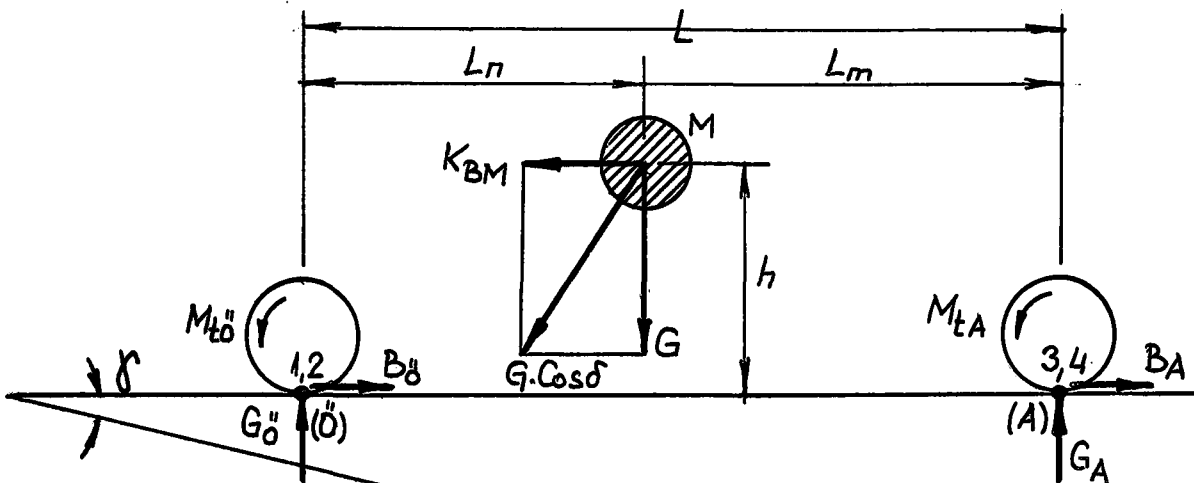
Hareket yönünde tesir eden dış kuvvet $+w_{Tx}$

Hareket yönüne karşı tesir eden dış kuvvet $-w_{Tx}$

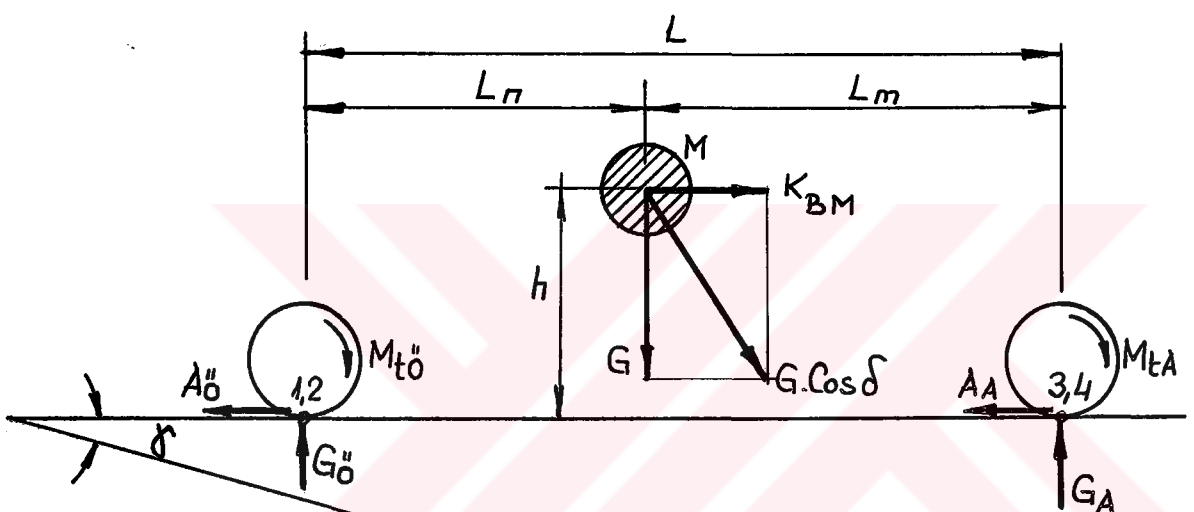
Hareket eğik yüzeyde aşağıya doğru $+ \sin \delta$

Hareket eğik yüzeyde yukarıya doğru $- \sin \delta$

olarak alınmalıdır.



Şekil 8, Negatif ivmelendirme esnasındaki kuvvet ve momentlerin gösterilisi



Şekil 9, Pozitif ivmelendirme esnasındaki kuvvet ve momentlerin gösterilisi

2.1.3 Hareket düzlemine paralel ve hareket yönünde tesir eden kuvvetlerin tesbiti

2.1.3.1 Sistemin iki tekerlege irca edilmiş durumu

Şekil 4 ve 5 yardımıyla negatif ve pozitif ivmelendirme durumları için sistemin denge durum denklemleri yazılabilir.

$$\sum \vec{K}_x = 0, \quad \sum \vec{K}_y = 0, \quad \sum \vec{K}_z = 0, \quad \text{ve} \quad \sum \vec{M}_z = 0$$

2.1.3.1.1 Negatif ivmelendirme esnasında sisteme tesir eden kuvvetler :

$$\begin{aligned} \vec{B}_{TO} &= B_{TO_x} \cdot \vec{i} + B_{TO_y} \cdot \vec{j} & \vec{Y}_{RA} &= -Y_{RA_x} \cdot \vec{i} - Y_{RA_y} \cdot \vec{j} \\ \vec{Y}_{RO} &= Y_{RO_x} \cdot \vec{i} - Y_{RO_y} \cdot \vec{j} & \vec{B}_{TA} &= B_{TA_x} \cdot \vec{i} - B_{TA_y} \cdot \vec{j} \\ \vec{K}_{RM} &= -K_{RM_x} \cdot \vec{i} + K_{RM_y} \cdot \vec{j} \\ \vec{K}_{TM} &= -K_{TM_x} \cdot \vec{i} - K_{TM_y} \cdot \vec{j} \end{aligned}$$

$$\sum_{i=1}^n \vec{K} = \vec{B}_{TÖ} + \vec{Y}_{RÖ} + \vec{K}_{RM} + \vec{K}_{TM} + \vec{Y}_{RA} + \vec{B}_{TA}$$

Sisteme tesir eden kuvvetlerin doğurduğu momentler :

$$\vec{M}_{B_{TÖ}} = \vec{IO} \wedge \vec{B}_{TÖ} = \begin{vmatrix} i & j & k \\ IO_x & IO_y & 0 \\ B_{TÖ_x} & B_{TÖ_y} & 0 \end{vmatrix} = \vec{k} (IO_x \cdot B_{TÖ_y} - IO_y \cdot B_{TÖ_x})$$

$$\vec{M}_{Y_{RÖ}} = \vec{IO} \wedge \vec{Y}_{RÖ} = 0$$

$$\vec{M}_{Y_{RA}} = 0$$

$$\vec{M}_{K_{RM}} = \vec{MO} \wedge \vec{K}_{RM} = 0$$

$$\vec{M}_{K_{TM}} = \vec{MO} \wedge \vec{K}_{TM} = \begin{vmatrix} i & j & k \\ MO_x & MO_y & 0 \\ -K_{TM_x} & -K_{TM_y} & 0 \end{vmatrix} = \vec{k} (-MO_x \cdot K_{TM_y} + MO_y \cdot K_{TM_x})$$

$$\vec{M}_{B_{TA}} = \vec{IO} \wedge \vec{B}_{TA} = \begin{vmatrix} i & j & k \\ IO_x & IO_y & 0 \\ B_{TA_x} & -B_{TA_y} & 0 \end{vmatrix} = \vec{k} (-IO_x \cdot B_{TA_y} - IO_y \cdot B_{TA_x})$$

Ön noktaya tesir eden kuvvetlerin momenti $M_O = M_{B_{TÖ}} + M_{Y_{RÖ}}$

Arka noktaya tesir eden kuvvetlerin momenti $M_A = M_{B_{TA}} + M_{Y_{RA}}$

Ağırlık merkezine tesir eden kuvvetlerin momenti $M_Y = M_{K_{RM}} + M_{K_{TM}}$

olduğuna göre,

$$\sum \vec{M} = \vec{M}_O + \vec{M}_Y + \vec{M}_A$$

yazılabilir.

2.1.3.1.2 Pozitif ivmeleme esnasında sisteme tesir eden kuvvetler

$$\vec{A}_{TÖ} = -A_{TÖ_x} \cdot \vec{i} - A_{TÖ_y} \cdot \vec{j}$$

$$\vec{Y}_{RÖ} = Y_{RÖ_x} \cdot \vec{i} - Y_{RÖ_y} \cdot \vec{j}$$

$$\vec{K}_{RM} = -K_{RM_x} \cdot \vec{i} + K_{RM_y} \cdot \vec{j}$$

$$\vec{K}_{TM} = K_{TM_x} \cdot \vec{i} + K_{TM_y} \cdot \vec{j}$$

$$\vec{Y}_{RA} = -Y_{RA_x} \cdot \vec{i} - Y_{RA_y} \cdot \vec{j}$$

$$\vec{A}_{TA} = -A_{TA_x} \cdot \vec{i} + A_{TA_y} \cdot \vec{j}$$

Buradan, $\sum_{n=1}^n K = \vec{A}_{TÖ} + \vec{Y}_{RÖ} + \vec{K}_{RM} + \vec{K}_{TM} + \vec{Y}_{RA} + \vec{A}_{TA}$

Sisteme tesir eden kuvvetlerin doğurduğu momentler :

$$\vec{M}_{A_{TÖ}} = \vec{IO} \wedge \vec{A}_{TÖ} = \begin{vmatrix} i & j & k \\ IO_x & IO_y & 0 \\ -A_{TÖ_x} & -A_{TÖ_y} & 0 \end{vmatrix} = \vec{k} (-IO_x \cdot A_{TÖ_y} + IO_y \cdot A_{TÖ_x})$$

$$\vec{M}_{Y_{RÖ}} = \vec{IO} \wedge \vec{Y}_{RÖ} = 0 \quad \vec{M}_{K_{RM}} = \vec{MO} \wedge \vec{K}_{RM} = 0$$

$$\vec{M}_{Y_{RA}} = \vec{IO} \wedge \vec{Y}_{RA} = \vec{0}$$

$$\vec{M}_{K_{TM}} = \vec{MO} \wedge \vec{K}_{TM} = \begin{vmatrix} i & j & k \\ MO_x & MO_y & 0 \\ K_{TM_x} & K_{TM_y} & 0 \end{vmatrix} = \vec{k} (MO_x \cdot K_{TM_y} - MO_y \cdot K_{TM_x})$$

$$\vec{M}_{A_{TA}} = \vec{IO} \wedge \vec{A}_{TA} = \begin{vmatrix} i & j & k \\ 0_x & 0_y & 0 \\ -A_{TA_x} & A_{TA_y} & 0 \end{vmatrix} = \vec{k} (\vec{IO}_x \cdot A_{TA_y} + \vec{IO}_y \cdot A_{TA_x})$$

$$\sum \vec{M} = \vec{k} \left[(-IO_x \cdot A_{TÖ_y} + IO_y \cdot A_{TÖ_x}) + (MO_x \cdot K_{TM_y} - MO_y \cdot K_{TM_x}) + (0_x \cdot A_{TA_y} + 0_y \cdot A_{TA_x}) \right]$$

Ön tekerleğe tesir eden kuvvetlerin momenti

$$\vec{M}_{O} = \vec{M}_{A_{TÖ}} + \vec{M}_{Y_{RÖ}}$$

Arka tekerleğe tesir eden kuvvetlerin momenti

$$\vec{M}_{A} = \vec{M}_{A_{TA}} + \vec{M}_{Y_{RA}}$$

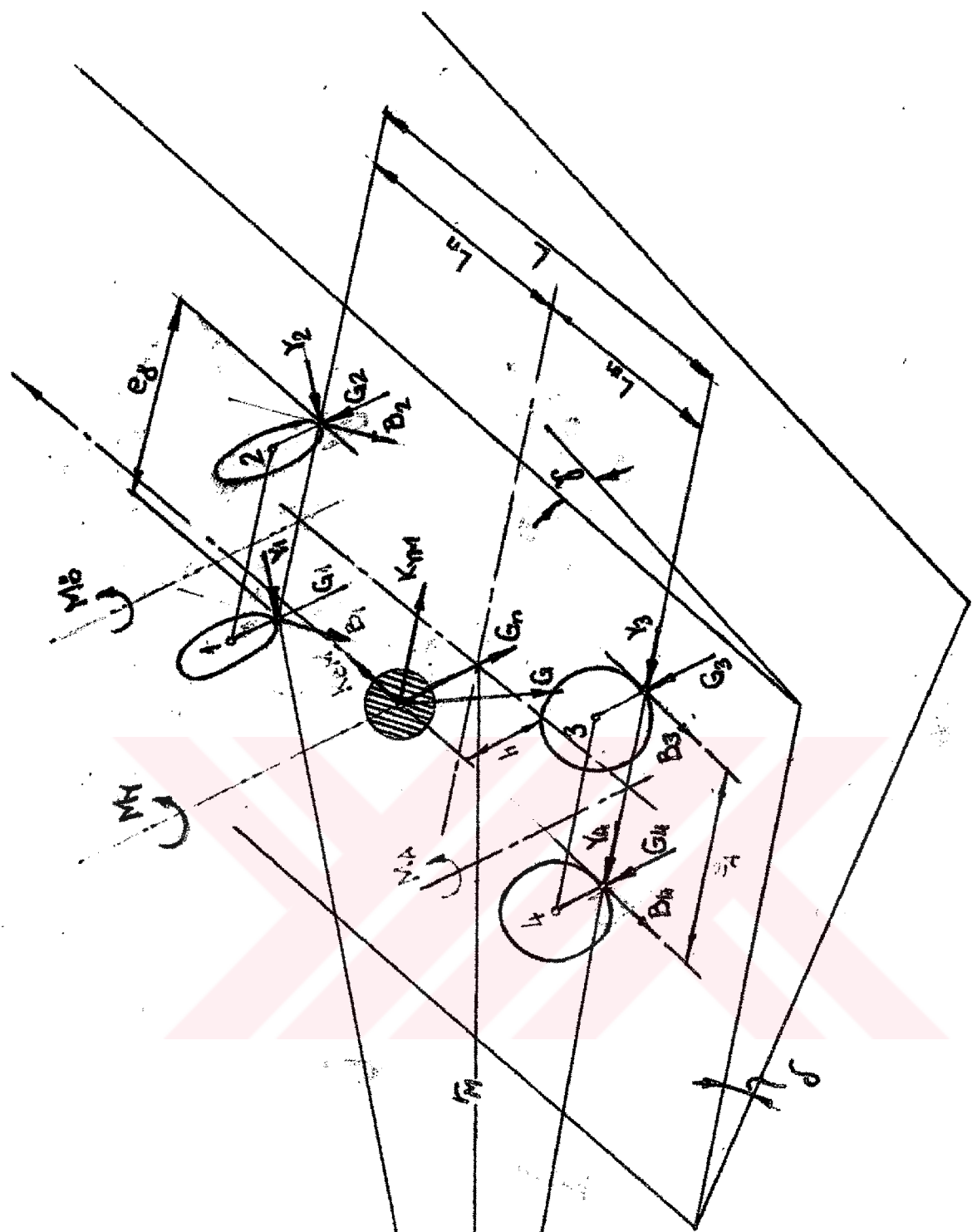
Ağırlık merkezine tesir eden kuvvetlerin

$$momenti \quad \vec{M}_Y = \vec{M}_{K_{RM}} + \vec{M}_{K_{TM}}$$

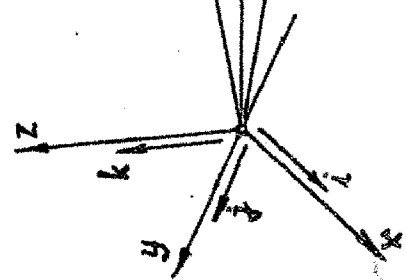
olduğuna göre,

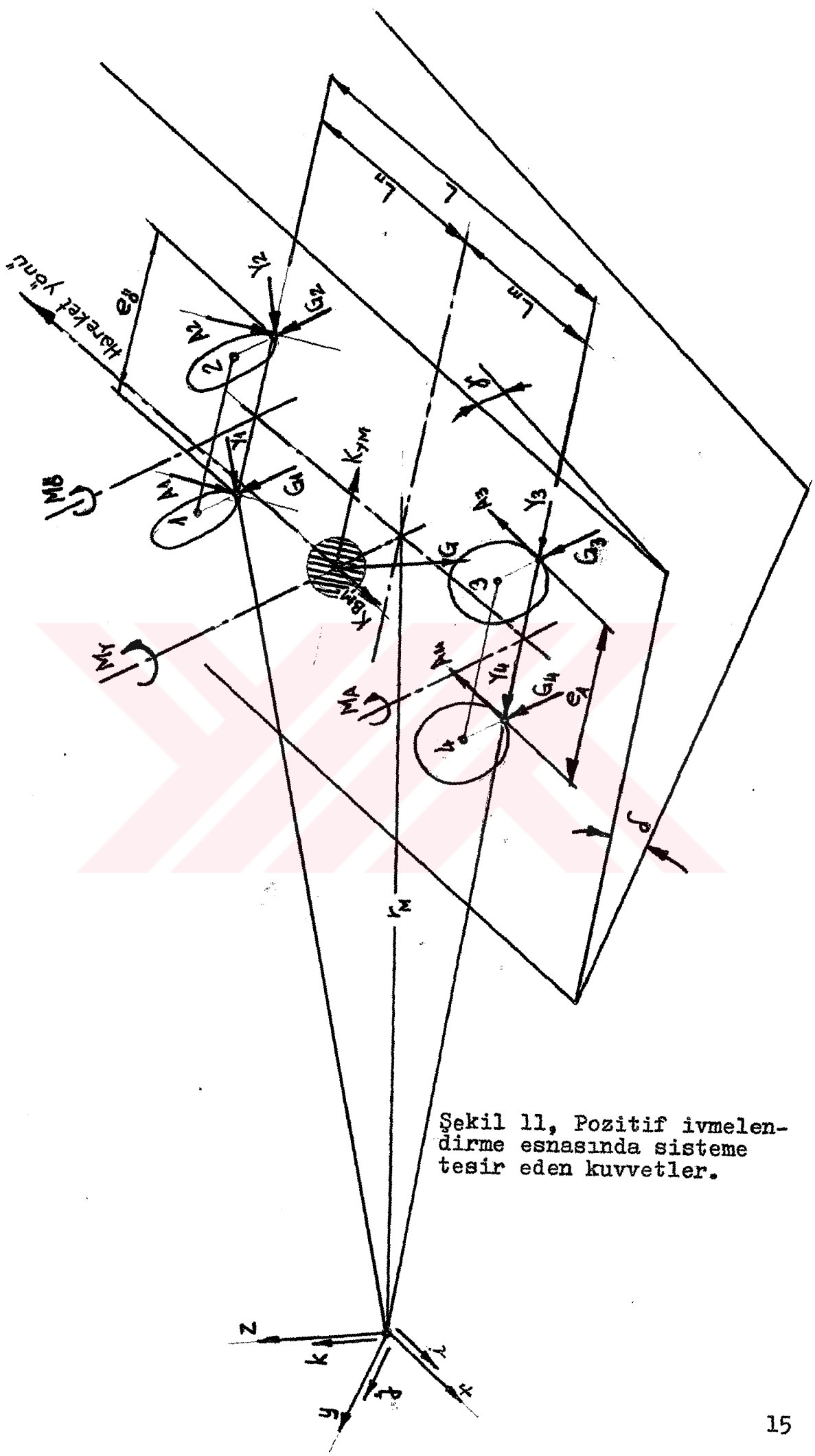
$$\sum \vec{M} = \vec{M}_O + \vec{M}_A + \vec{M}_Y$$

bulunur.



Sekil 10, Negatif ivmelen-dirme esnasında sisteme tesir eden kuvvetler.





Sekil 11, Pozitif ivmelenme esnasında sisteme tesir eden kuvvetler.

2.1.3.2 Sistemin dört tekerleğe göre etüdü

Sekil 10 ve 11 ile kütlenin negatif ve pozitif ivmelendirilmesi esnasında, kütleye ve bağıntılı olduğu dört tekerleğe tesir eden kuvvetler gösterilmiştir. Kabul edilen koordinat eksenlerine göre kütlenin bağıntılı olduğu dört tekerleğin koordinatları, r_M in sistemin boyuna eksenine dik olduğu kabul edilerek, yazılabilir.

$$1 \text{ Tekerleğinin koordinatları } \left[-L_n, -(r_M - \frac{e_O}{2}), -(r_M - \frac{e_O}{2}) \sin\delta \right]$$

$$2 \text{ Tekerleğinin koordinatları } \left[-L_n, -(r_M + \frac{e_O}{2}), -(r_M + \frac{e_O}{2}) \sin\delta \right]$$

$$3 \text{ Tekerleğinin koordinatları } \left[+L_m, -(r_M + \frac{e_A}{2}), -(r_M + \frac{e_A}{2}) \sin\delta \right]$$

$$4 \text{ Tekerleğinin koordinatları } \left[+L_m, -(r_M - \frac{e_A}{2}), -(r_M - \frac{e_A}{2}) \sin\delta \right]$$

$$\text{Ağırlık merkezi koordinatları } \left[0, -r_M, (r_M \cdot \sin\delta - h) \right]$$

Sekil 10 ve 11 in yardımıyla negatif ve pozitif ivmelendirme durumları için sistemin denge durum denklemleri yazılabilir.

$$\sum K_x = 0, \sum K_y = 0, \sum K_z = 0$$

$$\sum M_x = 0, \sum M_y = 0, \sum M_z = 0$$

2.1.3.2.1 Negatif ivmelendirme esnasında sisteme tesir eden kuvvetler

1. Tekerleğe tesir eden kuvvetler:

$$\vec{B}_1 = B_{1x} \vec{i} - B_{1y} \vec{j}$$

$$\vec{Y}_1 = Y_{1x} \vec{i} + Y_{1y} \vec{j}$$

$$\vec{G}_1 = G_1 \vec{k}$$

2. Tekerleğe tesir eden kuvvetler:

$$\vec{B}_2 = B_{2x} \vec{i} - B_{2y} \vec{j}$$

$$\vec{Y}_2 = Y_{2x} \vec{i} + Y_{2y} \vec{j}$$

$$\vec{G}_2 = G_2 \vec{k}$$

3. Tekerlege tesir eden kuvvetler:

$$\overrightarrow{B_3} = B_{3x} \cdot \overrightarrow{i} + B_{3y} \cdot \overrightarrow{j}$$

$$\overrightarrow{Y_3} = -Y_{3x} \cdot \overrightarrow{i} - Y_{3y} \cdot \overrightarrow{j}$$

$$\overrightarrow{G_3} = G_3 \cdot \overrightarrow{k}$$

4. Tekerlege tesir eden kuvvetler:

$$\overrightarrow{B_4} = B_{4x} \cdot \overrightarrow{i} + B_{4y} \cdot \overrightarrow{j}$$

$$\overrightarrow{Y_4} = Y_{4x} \cdot \overrightarrow{i} - Y_{4y} \cdot \overrightarrow{j}$$

$$\overrightarrow{G_4} = G_4 \cdot \overrightarrow{k}$$

Ağırlık merkezine tesir eden kuvvetler:

$$\overrightarrow{K_{TM}} = -K_{TM_x} \cdot \overrightarrow{i} + K_{TM_y} \cdot \overrightarrow{j}$$

$$\overrightarrow{K_{RM}} = -K_{RM_x} \cdot \overrightarrow{i} - K_{RM_y} \cdot \overrightarrow{j}$$

$$\overrightarrow{G} = G \cdot \overrightarrow{k}$$

Buradan

$$\sum_{n=1}^7 \overrightarrow{K} = \overrightarrow{B_1} + \overrightarrow{B_2} + \overrightarrow{B_3} + \overrightarrow{B_4} + \overrightarrow{Y_1} + \overrightarrow{Y_2} + \overrightarrow{Y_3} + \overrightarrow{Y_4} + \overrightarrow{K_{TM}} + \overrightarrow{K_{RM}} + \overrightarrow{G} + \overrightarrow{G_1} + \overrightarrow{G_2} + \overrightarrow{G_3} + \overrightarrow{G_4}$$

yazılır.

Sisteme tesir eden momentler:

1. Tekerlege tesir eden mometler:

$$\overrightarrow{M_{B_1}} = \overrightarrow{10} \wedge \overrightarrow{B_1} = \begin{vmatrix} i & j & k \\ 10_x & 10_y & 0 \\ B_{1x} & -B_{1y} & 0 \end{vmatrix} = \overrightarrow{k}(-10_x \cdot B_{1y} - 10_y \cdot B_{1x})$$

Aynı hesap tarzına dayanarak diğer momentler de hesaplanır.

$$\overrightarrow{M_{Y_1}} = \overrightarrow{10} \wedge \overrightarrow{Y_1} = \overrightarrow{k}(10_x \cdot Y_{1y} - 10_y \cdot Y_{1x})$$

$$\overrightarrow{M_{G_1}} = \overrightarrow{10} \wedge \overrightarrow{G_1} = \overrightarrow{i}(10_y \cdot G_1)$$

2. Tekerlege tesir eden momentler:

$$\overrightarrow{M_{B_2}} = \overrightarrow{20} \wedge \overrightarrow{B_2} = \overrightarrow{k}(-20_x \cdot B_{2y} - 20_y \cdot B_{2x})$$

$$\overrightarrow{M_{Y_2}} = \overrightarrow{20} \wedge \overrightarrow{Y_2} = \overrightarrow{k}(20_x \cdot Y_{2y} - 20_y \cdot Y_{2x})$$

$$\overrightarrow{M_{G_2}} = \overrightarrow{20} \wedge \overrightarrow{G_2} = \overrightarrow{i}(20_y \cdot G_2)$$

3. Tekerlege tesir eden momentler:

$$\overrightarrow{M_{B_3}} = \overrightarrow{30} \wedge \overrightarrow{B_3} = \overrightarrow{k}(30_x \cdot B_{3y} - 30_y \cdot B_{3x})$$

$$\overrightarrow{M_{Y_3}} = \overrightarrow{30} \wedge \overrightarrow{Y_3} = \overrightarrow{k}(-30_x \cdot Y_{3y} + 30_y \cdot Y_{3x})$$

$$\overrightarrow{M_{G_3}} = \overrightarrow{30} \wedge \overrightarrow{G_3} = \overrightarrow{i}(30_y \cdot G_3)$$

4. Tekerlege tesir eden momentler:

$$\overrightarrow{M_{B_4}} = \overrightarrow{40} \wedge \overrightarrow{B_4} = \overrightarrow{k}(40_x \cdot B_{4y} - 40_y \cdot B_{4x})$$

$$\overrightarrow{M_{Y_4}} = \overrightarrow{40} \wedge \overrightarrow{Y_4} = \overrightarrow{k}(-40_x \cdot Y_{4y} - 40_y \cdot Y_{4x})$$

$$\overrightarrow{M_{G_4}} = \overrightarrow{40} \wedge \overrightarrow{G_4} = \overrightarrow{i}(40_y \cdot G_4)$$

Ağırlık merkezine tesir eden kuvvetlerin momentleri:

$$\overrightarrow{M_{K_{TM}}} = \overrightarrow{MO} \wedge \overrightarrow{K_{TM}} = \overrightarrow{i}(-K_{TMy} \cdot H) - \overrightarrow{j}(K_{TMx} \cdot H) + \overrightarrow{k}(-MO_x \cdot K_{TMy} + MO_y \cdot K_{TMx})$$

$$\overrightarrow{M_{K_{RM}}} = \overrightarrow{MO} \wedge \overrightarrow{K_{RM}} = \overrightarrow{i}(K_{RMy} \cdot H) - \overrightarrow{j}(K_{RMx} \cdot H) - \overrightarrow{k}(-MO_x \cdot K_{RMy} - K_{RMx} \cdot MO_y)$$

$$\overrightarrow{M_G} = \overrightarrow{MO} \wedge \overrightarrow{G} = \overrightarrow{i}(-MO_y \cdot G) - \overrightarrow{j}(-MO_x \cdot G)$$

$$\overrightarrow{M} = \overrightarrow{M_{B_1}} + \overrightarrow{M_{B_2}} + \overrightarrow{M_{B_3}} + \overrightarrow{M_{B_4}} + \overrightarrow{M_{Y_1}} + \overrightarrow{M_{Y_2}} + \overrightarrow{M_{Y_3}} + \overrightarrow{M_{Y_4}} + \overrightarrow{M_G} + \overrightarrow{M_{G_1}} + \overrightarrow{M_{G_2}} + \overrightarrow{M_{G_3}} + \overrightarrow{M_{G_4}} + \overrightarrow{M_{K_{TM}}} + \overrightarrow{M_{K_{RM}}}$$

ve $\overrightarrow{M_O} = \overrightarrow{M_{B_1}} + \overrightarrow{M_{B_2}} + \overrightarrow{M_{Y_1}} + \overrightarrow{M_{Y_2}} + \overrightarrow{M_{G_1}} + \overrightarrow{M_{G_2}}$

$$\overrightarrow{M_A} = \overrightarrow{M_{B_3}} + \overrightarrow{M_{B_4}} + \overrightarrow{M_{Y_3}} + \overrightarrow{M_{Y_4}} + \overrightarrow{M_{G_3}} + \overrightarrow{M_{G_4}}$$

$$\overrightarrow{M_Y} = \overrightarrow{M_{K_{TM}}} + \overrightarrow{M_{K_{RM}}} + \overrightarrow{M_G}$$

olduğundan;

$$\sum \overrightarrow{M} = \overrightarrow{M_O} + \overrightarrow{M_A} + \overrightarrow{M_Y}$$

olduğu bulunur.

2.1.3.2.2 Pozitif ivmelendirme esnasında sisteme tesir eden kuvvetler

1. Tekerlege tesir eden kuvvetler:

$$\begin{aligned}\vec{A}_1 &= -A_{1x} \cdot \vec{i} + A_{1y} \cdot \vec{j} \\ \vec{Y}_1 &= Y_{1x} \cdot \vec{i} + Y_{1y} \cdot \vec{j} \\ \vec{G}_1 &= G_{1z} \cdot \vec{k}\end{aligned}$$

2. Tekerlege tesir eden kuvvetler:

$$\begin{aligned}\vec{A}_2 &= -A_{2x} \cdot \vec{i} + A_{2y} \cdot \vec{j} \\ \vec{Y}_2 &= Y_{2x} \cdot \vec{i} + Y_{2y} \cdot \vec{j} \\ \vec{G}_2 &= G_{2z} \cdot \vec{k}\end{aligned}$$

3. Tekerlege tesir eden kuvvetler:

$$\begin{aligned}\vec{A}_3 &= -A_{3x} \cdot \vec{i} + A_{3y} \cdot \vec{j} \\ \vec{Y}_3 &= -Y_{3x} \cdot \vec{i} + Y_{3y} \cdot \vec{j} \\ \vec{G}_3 &= G_{3z} \cdot \vec{k}\end{aligned}$$

4. Tekerlege tesir eden kuvvetler:

$$\begin{aligned}\vec{A}_4 &= -A_{4x} \cdot \vec{i} + A_{4y} \cdot \vec{j} \\ \vec{Y}_4 &= -Y_{4x} \cdot \vec{i} + Y_{4y} \cdot \vec{j} \\ \vec{G}_4 &= G_{4z} \cdot \vec{k}\end{aligned}$$

Ağırlık merkezine tesir eden kuvvetler:

$$\begin{aligned}\vec{K}_{BM} &= K_{BMx} \cdot \vec{i} - K_{BMy} \cdot \vec{j} \\ \vec{K}_{YM} &= -K_{YMX} \cdot \vec{i} - K_{YMY} \cdot \vec{j} \\ \vec{G} &= -G_z \cdot \vec{k}\end{aligned}$$

Buradan,

$$\sum_{n=1}^7 \vec{K} = \vec{A}_1 + \vec{A}_2 + \vec{A}_3 + \vec{A}_4 + \vec{Y}_1 + \vec{Y}_2 + \vec{Y}_3 + \vec{Y}_4 + \vec{K}_{BM} + \vec{K}_{TM} + \vec{G}_1 + \vec{G}_2 + \vec{G}_3 + \vec{G}_4 + \vec{G}$$

elde edilir.

Sisteme tesir eden momentler:

1. Tekerleğe tesir eden momentler:

$$\overrightarrow{M}_{A_1} = \overrightarrow{10} \wedge \overrightarrow{A_1} = \overline{k}(10_x \cdot A_{1y} + 10_y \cdot A_{1x})$$

$$\overrightarrow{M}_{Y_1} = \overrightarrow{10} \wedge \overrightarrow{Y_1} = \overline{k}(10_x \cdot Y_{1y} - 10_y \cdot Y_{1x})$$

$$\overrightarrow{M}_{G_1} = \overrightarrow{10} \wedge \overrightarrow{G_1} = \overline{i}(10_y \cdot G_1)$$

2. Tekerleğe tesir eden momentler:

$$\overrightarrow{M}_{A_2} = \overrightarrow{20} \wedge \overrightarrow{A_2} = \overline{k}(20_x \cdot A_{2y} + 20_y \cdot A_{2x})$$

$$\overrightarrow{M}_{Y_2} = \overrightarrow{20} \wedge \overrightarrow{Y_2} = \overline{k}(20_x \cdot Y_{2y} - 20_y \cdot Y_{2x})$$

$$\overrightarrow{M}_{G_2} = \overrightarrow{20} \wedge \overrightarrow{G_2} = \overline{i}(20_y \cdot G_2)$$

3. Tekerleğe tesir eden momentler:

$$\overrightarrow{M}_{A_3} = \overrightarrow{30} \wedge \overrightarrow{A_3} = \overline{k}(30_x \cdot A_{3y} + 30_y \cdot A_{3x})$$

$$\overrightarrow{M}_{Y_3} = \overrightarrow{30} \wedge \overrightarrow{Y_3} = \overline{k}(-30_x \cdot Y_{3y} + 30_y \cdot Y_{3x})$$

$$\overrightarrow{M}_{G_3} = \overrightarrow{30} \wedge \overrightarrow{G_3} = \overline{i}(30_y \cdot G_3)$$

4. Tekerleğe tesir eden momentler:

$$\overrightarrow{M}_{A_4} = \overrightarrow{40} \wedge \overrightarrow{A_4} = \overline{k}(-40_x \cdot A_{4y} + 40_y \cdot A_{4x})$$

$$\overrightarrow{M}_{Y_4} = \overrightarrow{40} \wedge \overrightarrow{Y_4} = \overline{k}(-40_x \cdot Y_{4y} + 40_y \cdot Y_{4x})$$

$$\overrightarrow{M}_{G_4} = \overrightarrow{40} \wedge \overrightarrow{G_4} = \overline{i}(40_y \cdot G_4)$$

Ağırlık merkezine tesir eden momentler:

$$\overrightarrow{M}_{K_{BM}} = \overrightarrow{MO} \wedge \overrightarrow{K_{TM}} = \overline{i}(-K_{BMy} \cdot H) - \overline{j}(K_{BMx} \cdot H) + \overline{k}(-MO_x \cdot K_{BMy} - MO_y \cdot K_{BMx})$$

$$\overrightarrow{M}_{K_{YM}} = \overrightarrow{MO} \wedge \overrightarrow{K_{YM}} = \overline{i}(-MO_x \cdot K_{BMy}) - \overline{j}(K_{YMX} \cdot H) +$$

$$+ \overline{k}(-MO_x \cdot K_{YMy} + MO_y \cdot K_{YMX})$$

$$\overrightarrow{M}_G = \overrightarrow{MO} \wedge \overrightarrow{G} = \overline{i}(-MO_y \cdot G) - \overline{j}(-MO_x \cdot G)$$

$$\overrightarrow{M} = \overrightarrow{M}_{A_1} + \overrightarrow{M}_{A_2} + \overrightarrow{M}_{A_3} + \overrightarrow{M}_{A_4} + \overrightarrow{M}_{Y_1} + \overrightarrow{M}_{Y_2} + \overrightarrow{M}_{Y_3} + \overrightarrow{M}_{Y_4} + \overrightarrow{M}_{G_1} + \overrightarrow{M}_{G_2} + \overrightarrow{M}_{G_3} + \overrightarrow{M}_{G_4} + \overrightarrow{M}_{K_{BM}} + \overrightarrow{M}_{K_{YM}}$$

elde edilir.

$$\overrightarrow{M}_O = \overrightarrow{M}_{A_1} + \overrightarrow{M}_{A_2} + \overrightarrow{M}_{Y_1} + \overrightarrow{M}_{Y_2} + \overrightarrow{M}_{G_1} + \overrightarrow{M}_{G_2}$$

$$\overrightarrow{M}_A = \overrightarrow{M}_{A_3} + \overrightarrow{M}_{A_4} + \overrightarrow{M}_{Y_3} + \overrightarrow{M}_{Y_4} + \overrightarrow{M}_{G_3} + \overrightarrow{M}_{G_4}$$

$$\vec{M}_Y = \vec{M}_{K_{BM}} + \vec{M}_{K_{YM}} + \vec{M}_G$$

olduğundan,

$$\sum \vec{M} = \vec{M}_O + \vec{M}_A + \vec{M}_Y$$

elde edilir.

[Yapılan vektör hesaplarında $H=r_M \cdot \sin\phi - h$ olarak alınmalıdır.]

Hareket yarıçapı DM'ye göre hareket yönünde tesir eden kuvvetler (Denkl. 2.13, 2.14 ve Şekil 6-7)

$$M_T = K_{TM} \cdot r_M - \frac{M_K}{L} (r_O \cdot \sin\alpha_O + r_A \cdot \sin\alpha_A) \quad (2.15)$$

M_K momenti, yüksek eksende sisteme tesir eden momentlerin toplamıdır. (Şekil 6a ve 7a)

$$M_K = M_O + M_Y + M_A = P_K \cdot L$$

M_K momenti tarafından meydana getirilen kuvvet çifti (P_K)

$$\text{ön eksende } \frac{M_K}{L} \cdot \sin\alpha_O \quad \text{ve} \quad \frac{M_K}{L} \cdot \cos\alpha_O$$

$$\text{ve arka eksende } \frac{M_K}{L} \cdot \sin\alpha_A \quad \text{ve} \quad \frac{M_K}{L} \cdot \cos\alpha_A$$

bileşenlerine ayrılırlar.

Sistemin negatif ivmelendirme esnasındaki frenleyici kuvveti (B) ve pozitif ivmelendirme esnasındaki tahrik edici kuvveti (A), yüksek eksendeki ağırlık merkezine ırca edilirse, bunların, hareket yönünde tesir eden kuvvetlerle (M_K/r_M) dengeyi sağlamaları gerekmektedir.

$$B = \frac{M_K}{r_M} = \frac{r_O}{r_M} \cdot B_{TO} + \frac{r_A}{r_M} \cdot B_{TA} \quad (2.16)$$

$$B_{TO} = \text{Ön taraftaki frenleyici kuvvet} \quad B_{TO} = (1-\phi)B$$

$$B_{TA} = \text{Arka taraftaki frenleyici kuvvet} \quad B_{TA} = \phi \cdot B$$

Aynı durum pozitif ivmelendirme için de yazılabilir;

$$A_{TO} = \text{Ön taraftaki tahrik edici kuvvet} \quad A_{TO} = (1-\phi)A$$

$$A_{TA} = \text{Arka taraftaki tahrik edici kuvvet} \quad A_{TA} = \phi \cdot A \quad (2.17)$$

(2.16) Denkleminden

$$B = \frac{M_T}{r_M} = \frac{1}{r_M} \left\{ K_{TM} \cdot r_M - \frac{M_K}{L} \left[r_O \cdot \sin \alpha_O + r_A \cdot \sin \alpha_A \right] \right\}$$

(2.14) Denkleminden, $K_{TM} = G \cdot a \pm w_{Tx} \pm G \cdot \sin \delta$

$$\text{ve } m = \frac{M_K}{G}$$

(2.18)

değerleri yerlerine yazılırsa,

$$B = \frac{G}{r_M} \left\{ (a \pm w_{Tx} \pm \sin \delta) r_M - \frac{m}{L} \left[r_O \cdot \sin \alpha_O + r_A \cdot \sin \alpha_A \right] \right\}$$

elde edilir, böylece negatif ivmelendirme halinde frenleyici kuvvet,

$$B = G \cdot \Lambda_1 \quad (2.19)$$

bulunur.

Aynı şekilde, pozitif ivmelendirme esnasındaki tarike kuvveti,

$$A = G \cdot \Lambda_1^+ \quad (2.20)$$

elde edilir.

2.14 Yan yön verici (Radyal) kuvvetlerin tesbiti:

2.1.4.1 Negatif ivmelendirme durumu :

(Ö) noktasına göre moment alınırsa, Şekil 6b

$$Y_{RA} = \frac{1}{L \cdot \cos \alpha_A} \left\{ (K_{RM} \cdot \cos \alpha - K_{TM} \cdot \sin \alpha) L_n - B_{TA} \cdot L \cdot \sin \alpha_A - M_K \right\}$$

bulunur.

Denklem (2.14), (2.17), (2.18) ve (2.19) değerleri yerlerine yazılırsa,

$$Y_{RA} = \frac{G}{L \cdot \cos \alpha_A} \left\{ \left[L_n (k_{RM} \cdot \cos \alpha - w_T \cdot \sin \alpha) - \phi \cdot L \cdot \sin \alpha_A \cdot \Lambda_1 - m \right] - L_n \cdot a \cdot \sin \right\}$$

$$Y_{RA} = \frac{G}{\cos \alpha_A} \left\{ \left[\Psi (k_{RM} \cdot \cos \alpha - w_T \cdot \sin \alpha) - \phi \cdot \Lambda_1 \cdot \sin \alpha_A - \frac{m}{L} \right] - \Psi \cdot a \cdot \sin \alpha \right\}$$

$$= \Psi \cdot T_2 - \phi \cdot \Lambda_1 \cdot \sin \alpha_A - \frac{m}{L}$$

$$Y_{RA} = \frac{G}{\cos \alpha_A} [L_1 + a \cdot L_2] \quad (2.21)$$

bulunur.

Ön tekerleklerin yan yön verici kuvveti $Y_{RÖ}$ nün bulunabilmesi için arka iki tekerleğin orta noktasının daki yüksek eksen momentinden ($\sum M_A=0$) hesaplanır.

$$Y_{RÖ} = \frac{1}{L \cdot \cos \alpha_O} [(K_{RM} \cdot \cos \alpha - K_{TM} \cdot \sin \alpha) L_m + B_{TO} \cdot L \cdot \sin \alpha_O + M_K]$$

Bu denklemde, (2.14), (2.17) ve (2.18) denklerin reki değerleri yerlerine yazılırsa,

$$Y_{RÖ} = \frac{1}{L \cdot \cos \alpha_O} \left\{ [K_{RM} \cdot \cos \alpha - (G \cdot a + w_T) \cdot \sin \alpha] L_m + (1 - \phi) G \cdot A_1 \cdot L \cdot \sin \alpha_O + m \cdot G \right\} \text{ bulunur,}$$

Böylece,

$$Y_{RÖ} = \frac{G}{\cos \alpha_O} [L_3 + a \cdot L_4] \quad (2.22)$$

elde edilir.

2.1.4.2 Pozitif ivmeleme durumu :

(A) noktasına göre moment alınırsa, Şekil 7b

$$Y_{RA} = \frac{1}{L \cdot \cos \alpha_A} [(K_{RM} \cdot \cos \alpha + K_{TM} \cdot \sin \alpha) L + A_{TA} \cdot L \cdot \sin \alpha + M_K]$$

denklemi elde edilir. Burada K_{TM} , A_{TA} ve M_K nin değerleri 2.1.4.1 de olduğu gibi yukarıda denk. yerine yerleştirilirse

$$Y_{RA} = \frac{G}{L \cdot \cos \alpha_A} \left\{ [L_n (K_{RM} \cdot \cos \alpha + w_T \cdot \sin \alpha) + \phi \cdot L \cdot \sin \alpha_A \cdot A_1 + m] + L_n \cdot a \cdot \sin \alpha \right\}$$

$$Y_{RA} = \frac{G}{\cos \alpha_A} \left[\gamma (K_{RM} \cdot \cos \alpha + w_T \cdot \sin \alpha) + \phi \cdot A_1 \cdot \sin \alpha_A + \frac{m}{L} \right] + \gamma \cdot a \cdot \sin \alpha$$

ve böylece,

$$Y_{RA} = \frac{G}{\cos \alpha_A} (L_1^+ + a^+ \cdot L_2^+) \quad (2.23)$$

elde edilir.

Ön iki tekerleğin yan yön verici kuvvetine gelince, (A) noktasına göre $\sum M=0$ yazılarak,

$$Y_{RÖ} = \frac{1}{L \cdot \cos\alpha_0} \left[(K_{RM} \cdot \cos\alpha + K_{TM} \cdot \sin\alpha) L_m - A_{TO} \cdot \sin\alpha_0 - M_K \right]$$

Denklemde K_{RM} , A_{TO} ve M_K nin değerleri yerlerine yazılırsa,

$$Y_{RÖ} = \frac{1}{\cos\alpha_0} \left[(K_{RM} \cdot \cos\alpha + K_{TM} \cdot \sin\alpha) \frac{L_m}{L} - \frac{1}{L} \cdot A_{TO} \cdot \sin\alpha_0 - \frac{1}{L} \cdot M_K \right]$$

$$Y_{RÖ} = \frac{G}{\cos\alpha_0} \left(\frac{L^+}{3} + a \cdot \frac{L^+}{4} \right) \quad (2.24)$$

Elde edilir.

2.1.5 Hareket düzlemine paralel, sistemin boyuna ekseninde ve ona dik olan kuvvetler

Kütlenin ağırlık merkezine tesir eden kuvvetler K_M olarak gösterilir ve bu kuvvet sistemin boyuna ve yan kuvveti K_{BM} ve K_{YM} bileşenlerine ayrılır. (Şekil 6 ve 7)

$$\overrightarrow{K_{TM}} + \overrightarrow{K_{RM}} = \overrightarrow{K_{BM}} + \overrightarrow{K_{YM}} = \overrightarrow{K_M}$$

Burada K_{RM} kuvveti Denkl. (2.13) ve K_{TM} kuvveti ise Denkl. (2.14) ile belirlenmişlerdir.

2.1.5.1 Negatif ivmeleendirme durumu:

Böylece, Şekil 6a ve b de verilen sistemin boyuna kuvveti

$$K_{BM} = K_{TM} \cdot \cos\alpha + K_{RM} \cdot \sin\alpha$$

K_{TM} ve K_{RM} nin değerleri yerlerine yazılırsa,

$$\begin{aligned} K_{BM} &= G (a + w_T) \cos\alpha + G \cdot k_{RM} \cdot \sin\alpha \\ &= G \left[(a + w_T) \cos\alpha + k_{RM} \cdot \sin\alpha \right] \end{aligned}$$

$$K_{BM} = G (T_1 + a \cdot \cos\alpha) \quad (2.25)$$

Kütleye tesir eden yan kuvvet

$$\begin{aligned}
 K_{YM} &= K_{RM} \cdot \cos\alpha - K_{TM} \cdot \sin\alpha \\
 &= G \left[k_{RM} \cdot \cos\alpha - (a + w_T) \sin\alpha \right] \\
 K_{YM} &= G (T_2 - a \cdot \sin\alpha)
 \end{aligned} \tag{2.26}$$

Sistemin bağlı bulunduğu arka iki tekerleğe (3,4) sistemin boyuna tesir eden frenleyici kuvveti (Şekil 6a ve b)

$$\begin{aligned}
 B_A &= B_{TA} \cdot \cos\alpha_A - Y_{RA} \cdot \sin\alpha_A \\
 B_{TA} \text{ Denkl. (2.17)} \text{ ve } Y_{RA} \text{ Denkl. (2.18)} \text{ belirlenmişlerdir.} \\
 \text{Bu iki değer yukarıdaki denklemde yerlerine yazılırsa;}
 \end{aligned}$$

$$\begin{aligned}
 B_A &= \phi \cdot G \cdot \Lambda_1 \cdot \cos\alpha_A - \frac{G}{L \cdot \cos\alpha_A} (L_1 + a \cdot L_2) \cdot \sin\alpha_A \\
 B_A &= G \left[\phi \cdot \Lambda_1 \cdot \cos\alpha_A - \frac{\tan\alpha_A}{L} (L_1 + a \cdot L_2) \right] \\
 B_A &= G (\Lambda_2 + a \cdot \Lambda_3)
 \end{aligned} \tag{2.27}$$

Bulunur.

Sistemin bağlı bulunduğu ön iki tekerleğe (1,2) sistemin boyuna tesir eden frenleyici kuvveti (Şekil 6a ve b)

$$\begin{aligned}
 B_O &= B_{TO} \cdot \cos\alpha_O + Y_{RO} \cdot \sin\alpha_O \\
 (2.17), (2.22) \text{ denklemleri ile verilen } B_{TO} \text{ ve } Y_{RO} \text{ denklem-} \\
 \text{leri yukarıda yerlerine yazılırsa;}
 \end{aligned}$$

$$\begin{aligned}
 B_O &= (1-\phi) G \cdot \Lambda_1 \cdot \cos\alpha_O + \frac{G}{L \cdot \cos\alpha_O} (L_3 + a \cdot L_4) \sin\alpha_O \\
 B_O &= G (\Lambda_4 + a \cdot \Lambda_5)
 \end{aligned} \tag{2.28}$$

Sistemin bağıntılı bulunduğu ön ve arka tekerleklerin yan kuvvetleri Y_O ve Y_A ; yan yön verici kuvvetler Y_{RO}

Y_{RA} ve frenleyici kuvvetler B_{TA}, B_{TO} kuvvetlerinin bilesenlerinden meydana gelmektedir. (Şekil 6a ve b)

Sistemin arkasında ve sistem boyuna eksenine dik olan yan kuvvet:

$$Y_A = Y_{RA} \cdot \cos\alpha_A + B_{TA} \cdot \sin\alpha_A$$

Denkl. (2.17) ve (2.18) den B_{TA} ve Y_{RA} değerleri yerlerine konularak,

$$Y_A = G \left(\frac{L_1}{L} + \phi \cdot \sin\alpha_A \cdot A_1 + \frac{L_2}{L} \cdot a \right)$$

$$Y_A = G (L_5 + a \cdot L_6) \quad (2.29)$$

elde edilir.

Aynı şekilde sistemin önünde ve sistem boyuna eksenine dik olan yan kuvvet :

$$Y_O = Y_{RO} \cdot \cos\alpha_O - B_{TO} \cdot \sin\alpha_O$$

Denklem (2.17) ve (2.22) den B_{TO} ve Y_{RO} nün değerleri yerlerine yazılırsa:

$$Y_O = \frac{G}{L \cdot \cos\alpha_O} (L_3 + a \cdot L_4) \cdot \cos\alpha_O - (1-\phi) G \cdot A_1 \cdot \sin\alpha_O$$

$$Y_O = G(L_7 + a \cdot L_8) \quad (2.30)$$

bulunur.

2.1.5.2 Pozitif ivmelemdirme durumu :

Sekil 7a ve b ile verilen sistemin boyuna kuvveti,

$$K_{BM} = K_{TM} \cdot \cos\alpha - K_{RM} \cdot \sin\alpha$$

K_{TM} ve K_{RM} nin 2.1.5.1 ile verilen değerleri yerlerine konulursa,

$$K_{BM} = G \left[(a^+ \cdot \cos\alpha + w_T \cdot \cos\alpha) - k_{RM} \cdot \sin\alpha \right]$$

$$K_{BM} = G(T_1^+ + a^+ \cdot \cos\alpha) \quad (2.31)$$

Kütleye tesir eden yan kuvvet :

$$\begin{aligned}
 K_{YM} &= K_{RM} \cdot \cos\alpha + K_{TM} \cdot \sin\alpha \\
 &= G \left[k_{RM} \cdot \cos\alpha + (a^+ + w_T) \sin\alpha \right] \\
 K_{YM} &= G(T_2^+ + a^+ \cdot \sin\alpha) \tag{2.32}
 \end{aligned}$$

Sistemin bağlı bulunduğu arka iki tekerleğe (3,4) sistemin boyuna tesir eden frenleyici kuvveti (Şekil 7a ve b);

$A_A = A_{TA} \cdot \cos\alpha + Y_{RA} \cdot \sin\alpha_A$

A_{TA} Denkl. (2.17) ve Y_{RA} Denkl. (2.23) ile belirlenmişlerdir.
Bu iki denklem değerleri yerlerine konulursa,

$$\begin{aligned}
 A_A &= G \left[\phi \Lambda_1 \cdot \cos\alpha_A + \frac{\operatorname{tg}\alpha_A}{L} (L_1^+ + a \cdot L_2^+) \right] \\
 A_A &= G(\Lambda_2^+ + a^+ \cdot \Lambda_3^+) \tag{2.33}
 \end{aligned}$$

bulunur.

Sistemin bağlı bulunduğu ön iki tekerleğe (1,2) sistemin boyuna yönde tesir eden tahrik kuvveti (Şekil 7a ve b)

$$A_O = A_{TO} \cdot \cos\alpha_O - Y_{RO} \cdot \sin\alpha_O$$

(2.17) ve (2.24) denklemleri ile verilen A_{TO} ve Y_{RO} denklemelerinin değerleri yukarıda yerlerine konulursa,

$$\begin{aligned}
 A_O &= (1-\phi) G \cdot \Lambda_1 \cdot \cos\alpha_O - \frac{G}{L \cdot \cos\alpha_O} (L_3^+ + a^+ \cdot L_4^+) \sin\alpha_O \\
 A_O &= G(\Lambda_4^+ + a^+ \cdot \Lambda_5^+) \tag{2.34}
 \end{aligned}$$

bulunur.

Negatif ivmelendirmede olduğu gibi sistemin bağlı bulunduğu ön ve arka tekerleklerin yan kuvvetleri Y_O ve Y_A , Şekil 7a ve b de gösterildiği gibi yan yön verici Y_{RO} , Y_{RA} ve tahrik kuvvetleri A_{TA} , A_{TO} kuvvetlerinin bileşenlerinden meydana gelmektedir.

Sistemin arkasında ve sistem boyuna eksenine dik olan yan kuvvet,

$$Y_A = Y_{RA} \cdot \cos\alpha_A - A_{TA} \cdot \sin\alpha_A$$

Denklem (2.21) ve (2.17) den:

$$Y_A = G \left(\frac{L_1^+}{L} - \phi \cdot A_1 \cdot \sin\alpha_A + \frac{L_2^+}{L} \cdot a^+ \right)$$

$$Y_A = G(L_5^+ + a \cdot L_6^+) \quad (2.35)$$

Sistemin önünde ve sistem boyuna eksenine dik olan yan kuvvet,

$$Y_O = Y_{RO} \cdot \cos\alpha_O + A_{TO} \cdot \sin\alpha_O$$

Denkl. (2.17) ve (2.24) den:

$$Y_O = \frac{G}{L \cdot \cos\alpha_O} (L_3^+ + a^+ L_5^+) \cos\alpha_O + (1 - \phi) G \cdot A_1 \cdot \sin\alpha_O$$

$$Y_O = G(L_7^+ + a^+ L_8^+) \quad (2.36)$$

2.1.6 Dinamik yükler :

Dinamik eksen yükleri; sistemin pozitif veya negatif ivmelenirilmesi esnasında, bağlı bulunduğu 1-2 ve 3-4 tekerleklerinin eksenlerine, atalet kuvvetlerinin tesiri ile bir yük değişiminin neticesi olarak ortaya çıkmaktadır. Şekil 8 ve 9 ile sistemin boyuna ekseni boyunca eğik bir yüzeyde hareket eden kütlenin negatif ve pozitif ivmelenirilmesi neticesi olarak meydana gelen kuvvetler ve momentler gösterilmiştir. Sistemin burada, verilen dört tekerlek ile katı bir şekilde bağıntılı olduğu düşünülmüştür. Dinamik eksen yükleri, Şekil 8 ve 9 da gösterilen kuvvet ve momentlerin ve (Şekil 1) deki ağırlık ve merkezkaç kuvvetlerinin bileşenlerinin kaale alınmasıyla bulunacaktır. Hareket düzlemine paralel ve dik düzlemdeki kuvvetlerin toplamı:

$$\sum K_{\text{Paralel}} = \sum K_{\text{dik}} = 0$$

$$K_X = K_Z = 0$$

Sistemin bağıntılı olduğu arka iki tekerlegin (3,4) eksen yükü, ön noktaların hareket düzlemi ile temasettikleri (Ö) noktasındaki momentler $\sum M_O = 0$ hesaplanır.
Negatif ivmelendirme durumunda :

$$G_A = \frac{1}{L} \left[G \cdot L_n (\cos \delta \cdot \cos \delta \pm a_M \cdot \sin \delta) - K_{BM} \cdot h - M_t \right]$$

$$G_A = G \cdot \Psi (\cos \delta \cdot \cos \delta \pm a_M \cdot \sin \delta) - K_{BM} \cdot \chi - \frac{M_t}{L} \quad (2.37)$$

Pozitif ivmelendirme durumunda :

$$G_A = \frac{1}{L} \left[G \cdot L_n (\cos \delta \cdot \cos \delta \pm a_M^+ \cdot \sin \delta) + K_{BM} \cdot h + M_t \right]$$

$$G_A = G \cdot \Psi (\cos \delta \cdot \cos \delta \pm a_M^+ \cdot \sin \delta) + K_{BM} \cdot \chi + \frac{M_t}{L} \quad \text{bulunur.}$$

M_t momenti yazılırken, yön verici olarak kabul edilen ön iki tekerlekteki (1,2) dönen kütlelerin sistem boyunca teşir ettikleri kabul edilecektir. Hakikatte χ açısı kadar yön verilen ön iki noktada (1,2) $M_{TÖ} \cdot \cos \chi_O$ ve $M_{TÖ} \cdot \sin \chi_O$ miktarı kadar bir devirme momenti sistemin boyuna ekseninde meydana gelmektedir.

Negatif ivmelendirme durumunda sistemin bağıntılı olduğu ön iki tekerlegin (1,2) eksen yükü, arka iki noktanın (3,4) hareket düzlemi ile temas ettikleri noktalardaki moment $\sum M_A = 0$ yazılırsa ;

$$G_O = \frac{1}{L} \left[G \cdot L_m (\cos \delta \cdot \cos \delta \pm a_M \cdot \sin \delta) + K_{BM} \cdot h + M_t \right]$$

$$G_O = G \cdot (1 - \Psi) (\cos \delta \cdot \cos \delta \pm a_M \cdot \sin \delta) + K_{BM} \cdot \chi + \frac{M_t}{L} \quad (2.38)$$

bulunur.

Pozitif ivmelendirme durumunda ise,

$$G_O = \frac{1}{L} \left[G \cdot L_m (\cos \delta \cdot \cos \delta \pm a_M^+ \cdot \sin \delta) - K_{BM} \cdot h - M_t \right]$$

$$G_O = G \cdot (1 - \Psi) (\cos \delta \cdot \cos \delta \pm a_M^+ \cdot \sin \delta) - K_{BM} \cdot \chi - \frac{M_t}{L} \quad (2.39)$$

olur.

Denklem (2.38) ve (2.39) da verilen $+a_M$ su şekilde düşünlmelidir.

Kütlenin hareket yörüngesinin yükselişinde $+a_M$
Kütlenin hareket yörüngesinin azalışında $-a_M$

(2.38) ve (2.39) denklemlerinden açık olarak görüldüğü üzere, ön ve arka iki tekerleğin (1,2 ve 3,4) eksen yükleri negatif ve pozitif ivmeleme esnasında, kütte atalet kuvvetleri ($K_{BM} \cdot h/L$) ile bu tekerleklerdeki dönen küttelein tesirleri (M_t/L) altında bulunmaktadır.

M_t/L değeri, arka iki tekerleğin (3,4) eksen yükünü, negatif ivmeleme esnasında azaltan bir tesir gösterirken, ön iki tekerleğin (1,2) yükünü artıracak şekilde tesir etmektedirler.

Pozitif ivmeleme esnasında ise M_t/L nin tesiri arka iki tekerleğin eksen yükünü, artıracak ve ön iki tekerleğin (1,2) ise azaltacak şekilde tesir ettiği görülmektedir.

$K_{BM} \cdot h/L$ değeri ise negatif ivmeleme esnasında arka tekerleklerin yükünü azaltırken, ön tekerleklerinkini artırmaktadır. Pozitif ivmeleme esnasında ise arka tekerleklerin yükü artarken, ön tekerleklerinkini azaltmaktadır.

Ön ve arka tekerleklerin eksen yükleri sistemin negatif ve pozitif ivmeleme esnasının (a, a') bir fonksiyonu olarak ifade edilebilirler.

Söyleki,

$$M_t = M_{tÖ} + M_{tA}$$

$$M_{tÖ} = I_{tÖ} \cdot a, \quad M_{tA} = I_{tA} \cdot a$$

$$M_t = a(I_{tÖ} + I_{tA})$$

$$i_t = i_{tÖ} + i_{tA} = \frac{I_{tÖ}}{G} + \frac{I_{tA}}{G} = \frac{I_{tÖ} + I_{tA}}{G} = \frac{M_t}{a \cdot G}$$

$$i_t^+ = \frac{M_t}{a^+ \cdot G}$$

$$M_{tÖ} = a \cdot G \cdot i_{tÖ}, \quad M_{tA} = a \cdot G \cdot i_{tA}$$

$$M_t = a \cdot G \cdot i_t \quad (2.40)$$

Denkl.(2.40) a benzer olarak

$$M_t = a^+ \cdot G \cdot i_t$$

yazılabilir.

K_{BM} ve M_t nin denklem (2.25) ve (2.40) değerleri denklem (2.38 ve 2.39) yerlerine konularak,

Negatif ivmelendirme durumunda, arka tekerleklerin eksen yükleri:

$$G_A = \frac{1}{L} \left[G \cdot L_n (\cos \gamma \cdot \cos \delta + a_M \cdot \sin \delta) - G(T_1 + a \cdot \cos \alpha) h - a \cdot G \cdot i_t \right]$$

$$G_A = G \left[\psi (\cos \gamma \cdot \cos \delta + a_M \cdot \sin \delta) - \frac{1}{L} (T_1 + a \cdot \cos \alpha) - \frac{a}{L} \cdot i_t \right]$$

$$G_A = G (\Lambda_6 + a \cdot \Lambda_7) \quad (2.41)$$

Aynı şekilde ön iki tekerleğin eksen yükleri :

$$G_O = \frac{1}{L} \left[G \cdot L_m (\cos \gamma \cdot \cos \delta + a_M \cdot \sin \delta) + G \cdot (T_1 + a \cdot \cos \alpha) h + a \cdot G \cdot i_t \right]$$

$$G_O = G(1-\psi) (\cos \gamma \cdot \cos \delta + a_M \cdot \sin \delta) + \chi (T_1 + a \cdot \cos \alpha) \cdot G + \frac{a}{L} \cdot G \cdot i_t$$

$$G_O = G(\Lambda_8 + a \cdot \Lambda_9) \quad (2.42)$$

elde edilir.

Pozitif ivmelendirme durumu:

$$G_A = \psi \cdot G (\cos \gamma \cdot \cos \delta + a_M \cdot \sin \delta) + G(T_1^+ + a^+ \cdot \cos \alpha) \chi - a^+ \cdot G \cdot \frac{i_t}{L}$$

$$G_A = G(\Lambda_6^+ + a \cdot \Lambda_7^+) \quad (2.43)$$

elde edilir.

Aynı şekilde ön tekerleklerin dinamik yükleri, denkl.(2.25) den K_{BM} ve denkl. (2.40) dan M_t değerleri yerlerine yazılarak elde edilir.

$$G_O = G(1-\psi)(\cos\delta \cdot \cos\omega_M \cdot \sin\delta) - G(-k_{RM} \cdot \sin\omega_T \cdot \cos\alpha + a \cdot \cos\alpha) X \\ + a \cdot \frac{G}{L} \cdot i_t$$

$$G_O = G(\Lambda_8^+ + a \cdot \Lambda_9^+) \quad (2.44)$$

2.1.7 Eğri düzlem üzerindeki hareket esnasında kütlenin yana yatması:

Kütlenin yana yatması olanağı ön ve arka tekerleklerin eksen düzlemlerinde meydana gelen dönme merkezleri ile belirlenirler. Dönme merkezlerinin yeri, kütlenin ön ve arka tekerleklerin bağlantı durumu ile ilgilidir.

Tekerlekler üzerinde meydana gelen yana yatma miktarı, hareket düzleminin eğimi (δ) ve ön, arka tekerleklerin kütle ile bağlı yayarın basılma miktarı (Δ) ile belirlenir.

Kütlenin arka ve ön tekerleklerin eksenlerindeki yana yatma miktarları :

$$\nu_A = \delta_A + \Delta_A$$

$$\nu_O = \delta_O + \Delta_O \quad (2.45)$$

$\nu_A \neq \nu_O$ olması halinde kütle üzerinde bir burulma olduğuunu ortaya çıkarır. Böylece kütle gövdesindeki burulma miktarı,

$$\varphi = \nu_O - \nu_A \quad (2.46)$$

şeklinde yazılabilir.

Kütlenin ağırlık merkezinde meydana gelen yatma miktarı,

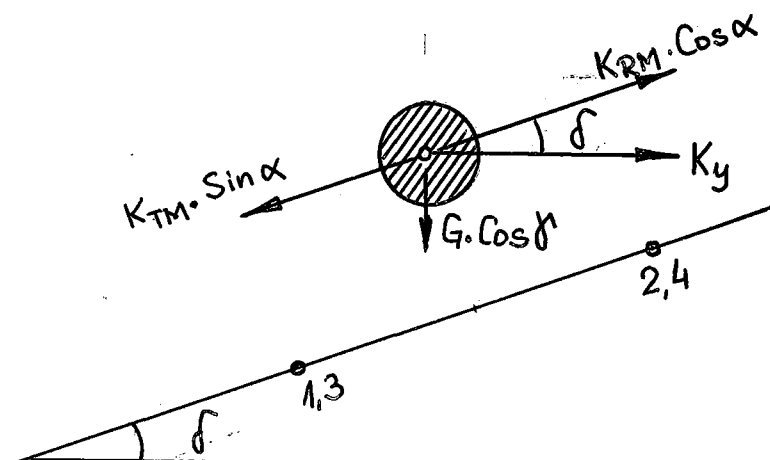
$$\nu = \nu_A + \frac{L_m}{L} \cdot \varphi = \nu_O - \frac{L_n}{L} \cdot \varphi$$

$$\nu = \nu_A + (1 - \psi) \varphi = \nu_O - \psi \cdot \varphi \quad (2.47)$$

şeklinde yazılabilir.

Kütlenin ağırlık merkezine tesir eden enine kuvvet K_y ve düşey kuvvet G_d nin değerleri negatif ivmeleme y için denkl. (2.25) ve (2.26), pozitif ivmeleme için ise (2.31 ve 2.32) denklemelerine benzer şekilde elde edilir. (Şekil 12,13 ve 14)

Negatif ivmeleme durumu:



Şekil 12, Negatif ivmeleme esnasında kütlenin yana yatması halinde ağırlık merkezine tesir eden kuvvetler.

$$K_{TM} = G(a_w + w_T) = G(a_w + w_{Tx} + \sin\delta)$$

$$K_{RM} = G(a_w + w_R \cdot \cos\delta) = G(a_w + w_{Ry} \cdot \cos\delta)$$

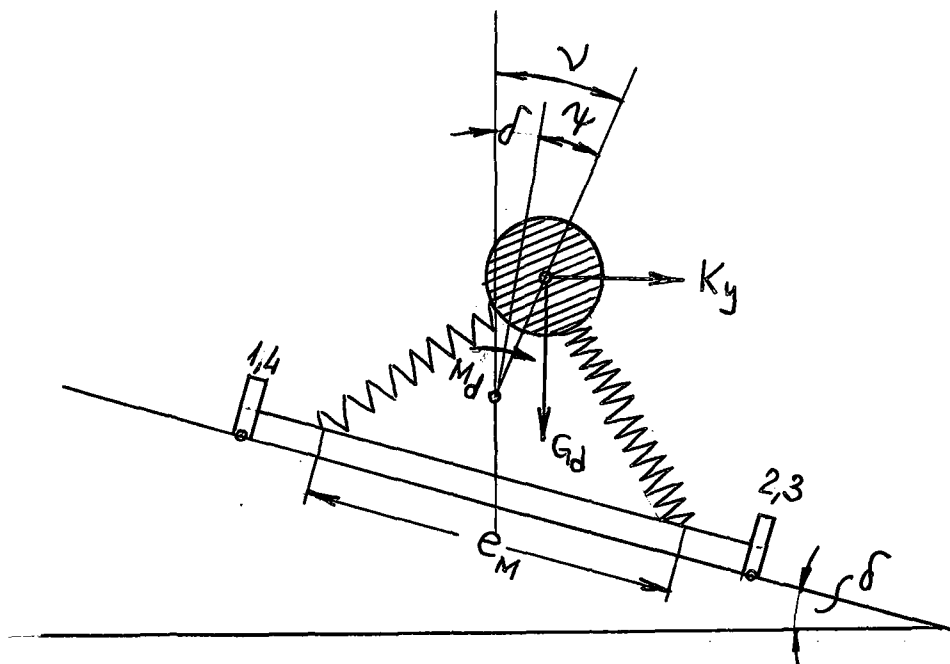
$$K_y = G(K_{RM} \cdot \cos\alpha - K_{TM} \cdot \sin\alpha \cdot \cos\delta)$$

$$K_y = G [(a_w + w_{Ry} \cdot \cos\delta) \cos\alpha - (a_w + w_{Ty} + \sin\delta) \sin\alpha \cdot \cos\delta] \quad (2.48)$$

elde edilir.

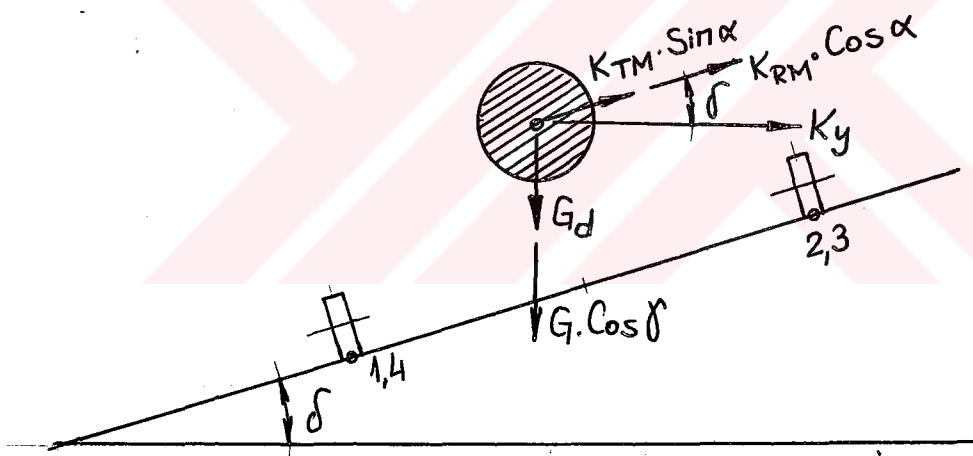
(2.48) denkleminde verilen işaretlerin aşağıdaki gibi alınması gerekmektedir.

Hareketin eğik yüzeyde aşağı doğru olması halinde	$+ \sin\delta$
Hareketin eğik yüzeyde yukarı doğru olması halinde	$- \sin\delta$
Dis kuvvet sağa (dişa) doğru tesir ediyorsa	$+ w_{Ry}$
Dis kuvvet sola (ice) doğru tesir ediyorsa	$- w_{Ry}$
Dis kuvvet hareket yönünde tesir ediyorsa	$+ w_{Ty}$
Dis kuvvet hareket yönünün tersine tesir ediyorsa	$- w_{Ty}$



Şekil 13, Kütle gövdesinin enine kuvvetlerin tesiri altında yana yatması

Pozitif ivmelendirme durumu :



Şekil 14, Pozitif ivmelendirmeye kütlenin yana yatması halinde ağırlık merkezine tesir eden kuvvetler.

Denkl. (2.48) e göre

$$K_y = G' \left[(a_M \pm w_{Ry} \cdot \cos \delta) \cos \alpha + (a \pm w'_{Ty} \pm \sin \delta) \sin \alpha \cdot \cos \delta \right] \quad (2.49)$$

Denkl. (2.48) de verilen işaretler burada da geçerlidir.

Açıların küçük olması halinde,

$$K_y = K'_{YM} = K_{YM} \frac{G'}{G} \quad (2.50)$$

olarak yazılabilir.

Denkl. (2.48) de verilen işaretlerin dikkate alınmasıyla Şekil 12 ve 14 yardımıyla düşey kuvvet elde edilir.

Negatif ivmelendirme durumu :

$$G_d = K_{TM} \cdot \sin\alpha \cdot \cos\delta + G' \cdot \cos\delta - K_{RM} \cdot \cos\alpha \cdot \sin\delta$$

$$G_d = G' \left\{ \cos\delta + \left[(a_{+w_Ty}' \pm \sin\delta) \sin\alpha \cdot \cos\delta - (a_{M+w_Ry}' \cos\alpha \cdot \sin\delta) \right] \right\} \quad (2.51)$$

Pozitif ivmelendirme durumu :

$$G_d = G' \left\{ \cos\delta + \left[(a_{+w_Ty}' \pm \sin\delta) \sin\alpha \cdot \cos\delta + (a_{M+w_Ry}' \cos\alpha \cdot \sin\delta) \right] \right\} \quad (2.52)$$

Küçük açılar için,

$$G_d = G' \cdot \cos\delta \quad (2.53)$$

bulunur.

Bu kuvvetler tarafından meydana getirilen ve kütlenin yana yatma ekseni etrafındaki momenti :

$$M_d = K_y \cdot h \cdot \cos\delta + G_d \cdot h \cdot \sin\delta \quad (2.54)$$

Kütleye tesir eden enine kuvvetler sistemin ön ve arka eksen yayları tarafından karşılanarak hareket yüzeyine ilettilirler.

$$M_{dO} + M_{dA} - c_{dO} \cdot \Psi_O - c_{dA} \cdot \Psi_A = 0 \quad (2.55)$$

Sistemin arka tekerleklerindeki yük değişimi, bir e_A iz genişliğinde,

$$\Delta Q_A = \frac{c_{dA} \cdot \Psi_A}{e_A} = \frac{M_{dA}}{e_A} \quad (2.56)$$

Sistemin ön tekerleklerindeki yük değişimi, bir e_O iz genişliğinde,

$$\Delta Q_O = \frac{c_{dO} \cdot \Psi_O}{e_O} = \frac{M_{dO}}{e_O} \quad (2.57)$$

bulunur.

2.1.8 Kütlenin bağıntılı bulunduğu ön ve arka tekerleklerin dinamik yükleri

Kütleye tesir eden enine kuvvetler ile yeylandırılmış eksen kütlelerine tesir eden yan kuvvetler dinamik eksen yüklerini ve dolayısıyla ön ve arka tekerleklerin dinamik yüklerini meydana getirmektedirler.
Ön ve arkada bulunan her iki tekerleği birbirine bağlıyan eksen tarafından meydana getirilen ve eksenin eğik hareket açısına bağlı olan yan kuvvet K_e , kendisine tesir eden radyal ve teğetsel kuvvetlerden teşekkül etmektedir.
Denkl. (2.13 ve 2.14)

Negatif ivmelendirme durumu :

$$K_e = K_{Re} \cdot \cos\alpha - K_{Te} \cdot \sin\alpha$$

$$K_{Re} = G_e (a_{Me} \cdot \cos\delta + w_R) = G_e (a_{Me} \cdot \cos\delta + w_{Rey} + \cos\delta \cdot \sin\alpha)$$

$$K_{Te} = G_e (a + w_T) = G_e (a + w_{Tey} + \sin\delta)$$

değerleri üstteki denklemde yerlerine konursa,

$$K_e = G_e \left[(a_{Me} \cdot \cos\delta + w_{Rey} + \cos\delta \cdot \sin\alpha) \cos\alpha - (a + w_{Tey} + \sin\delta) \sin\alpha \right] \quad (2.58)$$

elde edilir.

Denkl. (2.58) in işaretleri aşağıda verildiği gibi alınmalıdır.

Hareket yüzeyi eğimi sağa (dişa) doğru ise	$+\cos\delta \cdot \sin\alpha$
Hareket yüzeyi eğimi sola (içe) doğru ise	$-\cos\delta \cdot \sin\alpha$
Dış kuvvetin sağa doğru tesir etmesi halinde	$+w_{Rey}$
Dış kuvvetin sola doğru tesir etmesi halinde	$-w_{Rey}$
Hareketin eğik yüzeyde aşağı doğru olması	$+\sin\delta$
Hareketin eğik yüzeyde yukarı doğru olması	$-\sin\delta$
Dış kuvvetin hareket yönünde tesir etmesi	$+w_{Tey}$
Dış kuvvetin hareket yönüne ters tesir etmesi	$-w_{Tey}$

Pozitif ivmelendirme durumu :

$$K_e = K_{Re} \cdot \cos\alpha + K_{Te} \cdot \sin\alpha$$

K_{Re} ve K_{Te} nin değerleri yerlerine yazılırsa,

$$K_{Re} = G_e (a_{Me}^+ \cdot \cos\delta + w_R) = G_e (a_{Me}^+ \cdot \cos\delta + w_{Rey} + \cos\delta \cdot \sin\alpha)$$

$$K_{Te} = G_e (a^+ \pm w_T) = G_e (a^+ \pm w_{Tey} + \sin \delta)$$

buradan

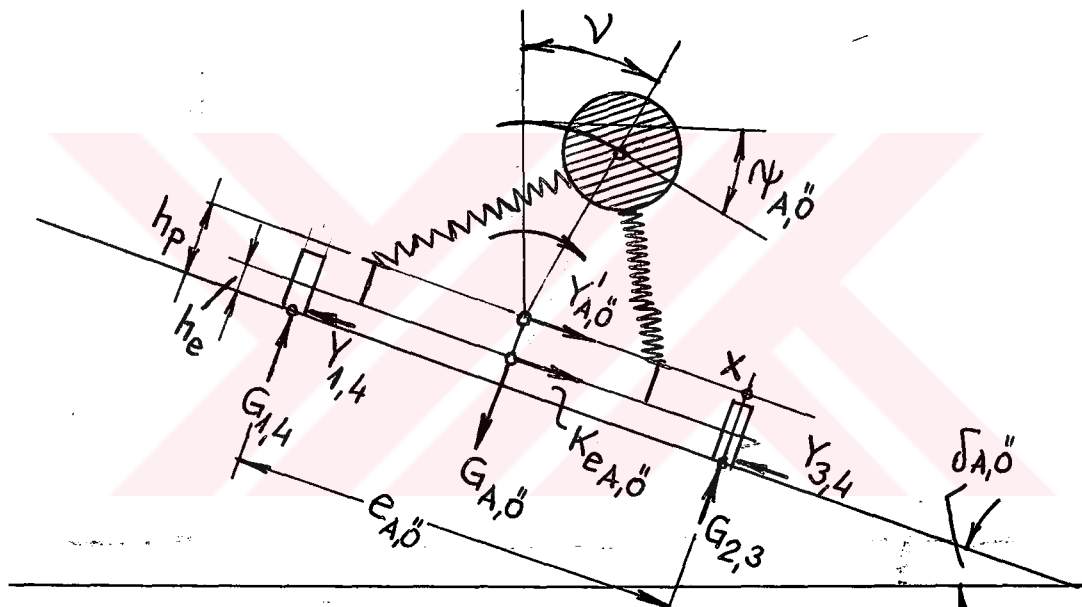
$$K_e = G_e \left[(a_{Me}^+ \cdot \cos \delta \pm w_{Rey} + \cos \delta \cdot \sin \delta) \cos \alpha + (a^+ \pm w_{Tey} + \sin \delta) \sin \alpha \right] \quad (2.59)$$

Denkl. (2.58) de verilen işaretler (2.59) içinde caridir.

Tekerlek eksenlerinin yan kuvveti K_e , kütleden tekerlek eksenlerine iletilen yan kuvvet Y' ile tekerlekler teşir eden yan kuvvet Y arasındaki farktır.

$$Y' = Y - K_e$$

Böylece sistemin negatif ve pozitif ivmelendirilmesi esnasında hareket eğrisinin (yörüngesinin) içindeki ve dışındaki tekerlerin dinamik yükü Şekil 15'e göre :



Şekil 15, Negatif ve pozitif ivmelendirme esnasında tekerleklerde tesir eden dinamik yükler.

Negatif ivmelendirme durumu :

X noktasına göre moment alınırsa,

$$G_{3,4} \cdot e_{A,0} - 1/2 \cdot G_A \cdot e_{A,0} + \Delta Q_A \cdot e_{A,0} + Y_A \cdot h_p + K_e (h_p - h_e) = 0$$

$$G_{3,4} = \frac{1}{2} G_A \pm Q_A \pm \frac{1}{e_A} \left[Y_A \cdot h_p - K_e (h_p - h_e) \right]$$

Burada K_e nin Denkl.(2.58) deki değeri yerine konursa,

$$G_{3,4} = \frac{1}{2} \cdot G_A + \Delta Q_A + \frac{1}{e_A} \left\{ Y_A \cdot h_p - G_{eA} \left[(a_{Me} \cdot \cos \delta_A + \cos \gamma \cdot \sin \delta_A + w_{Rex}) \cos \alpha_A - (a + w_{Tex} + \sin \delta) \sin \alpha_A \right] (h_p - h_e) \right\} \quad (2.60)$$

elde edilir.

Bu denklemdeki G_A , Y_A ve ΔQ_A nin Denkl. (2.41, 2.29 ve 2.56) değerleri yerlerine konulmalıdır. Ayrıca, aşağıdaki durumda kaale alınması lazımdır.

$$\text{Hareket eğrisinin dışındaki tekerlekler için } + Q_n + \frac{1}{e_n} \left\{ \dots \right\}$$

$$\text{Hareket eğrisinin içindeki tekerlekler için } - Q_n - \frac{1}{e_n} \left\{ \dots \right\}$$

Ön tekerleklerin dinamik yükleri :

Aynı şekilde "X_n" noktasına göre moment alınırsa,

$$G_{1,2} = \frac{1}{2} \cdot G_{\ddot{\theta}} + \Delta Q_{\ddot{\theta}} + \frac{1}{e_{\ddot{\theta}}} \left\{ Y_{\ddot{\theta}} \cdot h_p - G_{e\ddot{\theta}} \left[(a_{Me} \cdot \cos \delta_{\ddot{\theta}} + \cos \gamma \cdot \sin \delta_{\ddot{\theta}} + w_{Rex}) \cos \alpha_{\ddot{\theta}} + (a + \sin \delta + w_{Tex}) \sin \alpha_{\ddot{\theta}} \right] (h_p - h_e) \right\} \quad (2.61)$$

elde edilir.

Bu denklemdeki $G_{\ddot{\theta}}$, $Y_{\ddot{\theta}}$ ve $\Delta Q_{\ddot{\theta}}$ nün Denkl. (2.30-2.44 ve 2.57) değerleri yerlerine konulmalı ve denklem (2.58) in işaretleri kaale alınmalıdır.

Pozitif ivmelendirme durumu :

Arka tekerleklerin dinamik yükleri,

"X_n" noktasına göre moment alınarak,

$$G_{3,4} \cdot e_{\ddot{\theta}A} - \frac{1}{2} G_A \cdot e_{\ddot{\theta}A} + \Delta Q_A \cdot e_{\ddot{\theta}A} + Y_A \cdot h_p + K_e (h_p - h_e) = 0$$

$$G_{3,4} = \frac{1}{2} G_A + \Delta Q_A + \frac{1}{e_A} \left[Y_A \cdot h_p - K_e (h_p - h_e) \right]$$

K_e nin Denkl. (2.59) değeri yerine konarak,

$$G_{3,4} = \frac{1}{2} G_A + \Delta Q_A + \frac{1}{e_A} \left\{ Y_A \cdot h_p - G_{eA} \left[(a_M^+ \cdot \cos \delta_A^+ + \cos \delta \cdot \sin \delta_A^+ w_{Rex}) \cos \alpha_A + (a^+ + \sin \delta \cdot w_{Tex}) \sin \alpha_A \right] (h_p - h_e) \right\} \quad (2.62)$$

elde edilir.

Bu denklemdeki G_A , Y_A ve ΔQ_A nin Denkl.(2.35-2.43 ve 2.56) daki değerleri yerlerine konulmalı ve aşağıdaki durumun kaale alınması gereklidir.

Hareket eğrisinin dışındaki tekerlek için $+\Delta Q_n + \frac{1}{e_n} \{ \dots \}$

Hareket eğrisinin içindeki tekerlek için $-\Delta Q_n - \frac{1}{e_n} \{ \dots \}$

Ön tekerleklerin dinamik yükleri,

Aynı şekilde X noktasına göre moment alınarak,

$$G_{1,2} = \frac{1}{2} G_O + \Delta Q_O + \frac{1}{e_O} \left\{ Y_O \cdot h_p - G_{eO} \left[(a_M^+ \cdot \cos \delta_O^+ + \cos \delta \cdot \sin \delta_O^+ w_{Rex}) \cos \alpha_O + (a^+ + \sin \delta \cdot w_{Tex}) \sin \alpha_O \right] (h_p - h_e) \right\} \quad (2.63)$$

elde edilir.

Bu Denklemdeki G_O , Y_O ve ΔQ_O nün Denkl.(2.44-2.37 ve 2.57) değerleri yerlerine yerleştirilerek Denkl.(2.58) in işaretleri kaale alınmalıdır.

Denkl. (2.61),(2.62),(2.63) ve (2.64) ile verilen ve eğri bir yüzey üzerinde hareket eden ve yana yatma ile kütleinin bağıntılı olduğu tekerleklerdeki dinamik yükleri $K=G(c_1+c_2 \cdot a)$ şeklinde ifade edilememektedir. Bu sebeple

kütlenin eğri bir yüzeydeki hareketi esnasındaki negatif ve pozitif ivmeleme ile meydana gelen frenlemenin ve tahrik durumunun hesaplanması, tekerleklerin dinamik yükleri ve kütlenin enine yatması, frenleme ve tahrik durumuna bağlı olarak hesaplanabilemekle beraber, mümkün değildir.

Negatif ve pozitif ivmeleme durumunun kritiği için elde edilen frenleme ve tahrik değerleri önemli olduğundan bunun basitleştirilmiş şartlar altında hesaplanması gereklidir. Bu sebeple, kütlenin ön ve arka tekerleklerde yaysız olarak, daha doğrusu rijit olarak bağlandığı ve böylece eğri bir yüzeydeki hareketi esnasında yana yatmayıacağı kabul edilecektir.

Yan kuvvetler K , kütlenin bağıntılı olduğu tekerleklerin hareket yüzeyinin boyuna ekseninde bir devirme momenti tesiri yaparak tekerlek kütleninin değişimini ortaya çıkarmaktadır.

Sistemin arka tekerleklerinin yük değişimi Şekil 7'ye göre ve arka tekerleklerde ırca edilmiş kuvvetler ile :

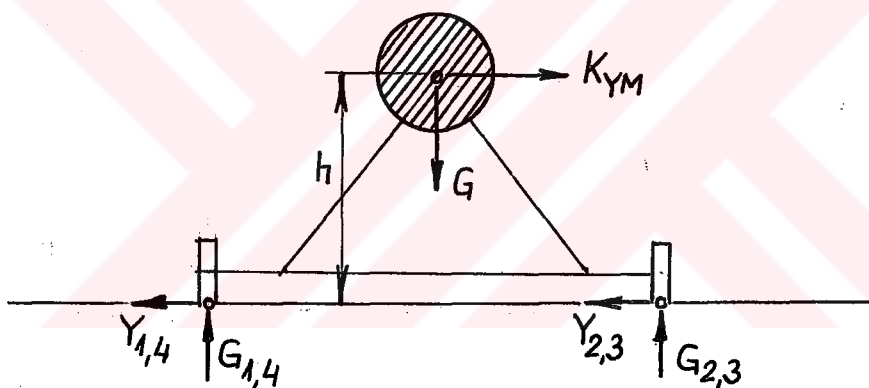
$$\frac{L_n}{L} \cdot K_{YM}$$

$$Q_A = \frac{1}{L \cdot e_A} (L_n \cdot h \cdot K_{YM}) = \frac{G}{e_A} \cdot \psi \cdot h \cdot k_{YM} = G \cdot \psi \cdot Z_A \cdot k_{YM} \quad (2.64)$$

ve ön tekerleklerde ırca edilmiş kuvvetler ile :

$$\frac{L_m}{L} \cdot K_{YM}$$

$$Q_O = \frac{1}{L \cdot e_O} (L_m \cdot h \cdot K_{YM}) = \frac{G}{e_O} \cdot (1 - \psi) \cdot h \cdot k_{YM} = G \cdot (1 - \psi) \cdot Z_O \cdot k_{YM} \quad (2.65)$$



Şekil 16, Yaylandırılmamış sistemde kütlenin bağlı bulunduğu tekerleklerin dinamik yükü.

Tekerleklerin dinamik yükleri, dinamik eksen yükleri Denkl. (2.41 ve 2.42) den ve devirme momentinin tesiri ile meydana gelen yük değişimi ise Denkl. (2.64 ve 2.65) ile hesaplanır.

Arka tekerleklerin eğri yüzeydeki negatif ivmeleştirmeye esnasındaki iç ve dış tekerleklerin dinamik yük değişimi :

$$G_{Ad,i} = \frac{1}{2} G_A \pm \Delta Q_A$$

Denkl. (2.26, 2.41 ve 2.64) değerler yukarıdaki denklemde yerine yazılırsa,

$$G_{3,4} = \frac{1}{2} \cdot \frac{G}{L} (\Lambda_6 + a \cdot \Lambda_7) \pm \frac{G}{L \cdot e_A} (L_n \cdot h \cdot k_{YM}) = \frac{1}{2} \cdot \frac{G}{L} (\Lambda_6 + a \cdot \Lambda_7) \pm \frac{G}{L \cdot e_A} \left\{ \right.$$

$$\left. L_n \cdot h \left[T_2 - (a \pm \sin \gamma) \sin \alpha \right] \right\}$$

$$G_{3,4} = G \left\{ \left(\frac{1}{2} \Lambda_6 \pm \frac{\Psi}{e_A} \cdot h \cdot T_2 \right) + \left(\frac{1}{2} \Lambda_7 - \frac{\Psi \cdot h}{e_A} \cdot \sin \alpha \right) a - \sin \gamma \left[\pm \frac{\chi}{2} \cdot \cos \alpha \right. \right. \\ \left. \left. \pm \frac{\Psi}{e_A} \cdot h \cdot (\pm \sin \alpha) \right] \right\}$$

$$G_{3,4} = G \left\{ \left(\frac{1}{2} \Lambda_6 \pm \Psi \cdot Z_A \cdot T_2 \right) + \left(\frac{1}{2} \Lambda_7 - \Psi \cdot Z_A \cdot T_2 \cdot \sin \alpha \right) a - \sin \gamma \left[\pm \frac{\chi}{2} \cdot \cos \alpha \right. \right. \\ \left. \left. \pm \Psi \cdot Z_A \cdot (\pm \sin \alpha) \right] \right\}$$

$$G_{3,4} = G \left[Z_{A1} + a \cdot Z_{A2} + Z_{A3} \cdot \sin \gamma \right] \quad (2.66)$$

elde edilir.

Ön tekerleklerin, eğri düzlemdeki negatif ivmelendirilmesi esnasındaki iç ve dış tekerlek dinamik yük değişimi :

$$G_{1,2} = \frac{1}{2} G_O \pm \Delta Q_O$$

Denkl. (2.26-2.42 ve 2.65) değerler yukarıdaki denklemde yerine yazılırsa,

$$G_{1,2} = G \left[Z_{O1} + a \cdot Z_{O2} + Z_{O3} \cdot \sin \gamma \right] \quad (2.67)$$

elde edilir.

Hareket eğrisinin dışındaki tekerlekler için $+\Delta Q_A$ ve $+\Delta Q_O$

Hareket eğrisinin içindeki tekerlekler için $-\Delta Q_A$ ve $+\Delta Q_O$ alınmalıdır.

Böylece negatif ivmelendirme esnasında kütlenin bağıntılı olduğu tekerleklerdeki dinamik yük değişimi :

Arka tekerleklerde :

Dış tekerlek(3)

$$G_3/G = \left[\left(\frac{1}{2} \Lambda_6 + \Psi \cdot Z_A \cdot T_2 \right) + \left(\frac{1}{2} \cdot \Lambda_7 - \Psi \cdot Z_A \cdot \sin \alpha \right) a \right] - \left[\pm \Lambda_{10} + \Psi \cdot Z_A \cdot (\pm \sin \alpha) \right] \cdot \sin \gamma$$

İç tekerlek (4)

$$G_4/G = \left[\left(\frac{1}{2} \Lambda_6 - \Psi \cdot Z_A \cdot T_2 \right) + \left(\frac{1}{2} \Lambda_7 + \Psi \cdot Z_A \cdot \sin\alpha \right) a \right] - \left[\pm \Lambda_{10} - \Psi \cdot Z_A (\pm \sin\alpha) \right] \sin\gamma$$

Ön tekerleklerde :

Dış tekerlek (2)

$$G_2/G = \left\{ \left[\frac{1}{2} \Lambda_8 + (1-\Psi) Z_O \cdot T_2 \right] + \left[\frac{1}{2} \Lambda_9 - (1-\Psi) Z_O \cdot \sin\alpha \right] a \right\} + \left[\Lambda_{10} - (1-\Psi) \cdot Z_O (\pm \sin\alpha) \right] \sin\gamma$$

İç tekerlek (1)

$$G_1/G = \left[\frac{1}{2} \Lambda_8 - (1-\Psi) Z_O \cdot T_2 \right] + \left[\frac{1}{2} \Lambda_9 + (1-\Psi) Z_O \cdot \sin\alpha \right] a + \left[\Lambda_{10} + (1-\Psi) \cdot Z_O (\pm \sin\alpha) \right] \sin\gamma$$

(2.68)

bulunur.

Yukarıda verilen bu dört tekerlekteki dinamik yük dağılımlıları tetkik edildiğinde ve bu tetkik esnasında kürenin eğri yörünge üzerindeki hareketinde kendisine tesir eden dış kuvvetlerin en uygunsuz bir şekilde tesir ettikleri düşünüülerek (dış kuvvet w_R sağ tarafa ve w_T hareket yönünde tesir ettikleri),

$$G_2 > G_3 > G_4 \quad \text{ve} \quad G_2 > G_1$$

olduğu görülür.

$$\Lambda_8 + a \cdot \Lambda_9 - (\Lambda_6 + a \cdot \Lambda_7) > 4 \left[T_2 - (a \pm \sin\gamma) \sin\alpha \right] (1-\Psi) Z$$

($e_A = e_O$ olduğu kabul edilmiştir.)

Olması halinde ise $G_1 > G_3$ olduğu bulunur.

Bu durumda ; $G_2 > G_1 > G_3 > G_4$

olduğu görülür.

Kütlenin eğri yüzey üzerindeki hareketi esnasında pozitif ivmelendirilmesi halinde arka tekerleklerin dinamik yük değişimi :

$$G_{3,4} = \frac{1}{2} G_A + \Delta Q_A$$

Denkl. (2.32-2.41 ve 2.64) değerleri yukarıda verilen denklemde yerlerine yazılırsa;

$$\begin{aligned} G_{3,4} &= \frac{1}{2} \cdot \frac{G}{L} (\Lambda_6^+ + a \cdot \Lambda_7^+) \pm \frac{G}{L \cdot e_A} (L_n \cdot h \cdot k_{YM}) \\ &= \frac{1}{2} \cdot \frac{G}{L} (\Lambda_6^+ + a \cdot \Lambda_7^+) \pm \frac{G}{L \cdot e_A} \left\{ L_n \cdot h \left[T_2^+ + (a \cdot \sin \phi) \sin \alpha \right] \right\} \end{aligned}$$

$$G_{3,4}/G = \left(\frac{1}{2} \Lambda_6^+ \mp \Psi \cdot \zeta_A \cdot T_2^+ \right) + \left(\frac{1}{2} \Lambda_7^+ \mp \Psi \cdot \zeta_A \cdot \sin \alpha \right) a^+ + \sin \phi \left[\Lambda_{10}^+ \mp \Psi \cdot \zeta_A \cdot \sin \alpha \right]$$

$$G_{3,4}/G = Z_{A1}^+ + a \cdot Z_{A2}^+ + Z_{A3}^+ \cdot \sin \phi \quad (2.69)$$

Ön tekerleklerin eğri yüzeydeki pozitif ivmelendirme esnasındaki iç ve dış tekerleklerin dinamik yük değişimi :

$$G_{1,2} = \frac{1}{2} G_O \pm \Delta Q_O$$

Denkl. (2.32 -2.44 ve 2.65) değerler yukarıdaki denklemde yerine yazılırsa,

$$G_{1,2}/G = Z_{O1}^+ + a \cdot Z_{O2}^+ + Z_{O3}^+ \cdot \sin \phi \quad (2.70)$$

elde edilir.

Hareket eğrisinin dışındaki tekerlekler için $+\Delta Q_A$ ve $+\Delta Q_O$

Hareket eğrisinin dışındaki tekerlekler için $-\Delta Q_A$ ve $-\Delta Q_O$ alınmalıdır.

Pozitif ivmeleendirme esnasında kütlenin bağıntılı olduğu tekerleklerdeki dinamik yük değişimi :

Arka tekerleklerde:

Dış tekerlek (3)

$$G_3/G = \left(\frac{1}{2} \Lambda_6^+ + \Psi \cdot \zeta_A \cdot T_2^+ \right) + \left(\frac{1}{2} \Lambda_7^+ + \Psi \cdot \zeta_A \cdot \sin \alpha \right) a^+ + \left[\Lambda_{10}^+ + \Psi \cdot \zeta_A (+\sin \alpha) \right] \sin \gamma$$

İç tekerlek (4)

$$G_4/G = \left(\frac{1}{2} \Lambda_6^+ - \Psi \cdot \zeta_A \cdot T_2^+ \right) + \left(\frac{1}{2} \Lambda_7^+ - \Psi \cdot \zeta_A \cdot \sin \alpha \right) a^+ + \left[\Lambda_{10}^+ - \Psi \cdot \zeta_A (+\sin \alpha) \right] \sin \gamma$$

Ön tekerleklerde:

Dış tekerlek (2)

$$G_2/G = \left[\frac{1}{2} \Lambda_8^+ + (1-\Psi) \zeta_O \cdot T_2^+ \right] + \left[\frac{1}{2} \Lambda_9^+ + (1-\Psi) \zeta_O \cdot \sin \alpha \right] a^+ - \left[\Lambda_{10}^+ - (1-\Psi) \cdot \zeta_O (+\sin \alpha) \right] \sin \gamma$$

İç tekerlek (1)

$$G_1/G = \left[\frac{1}{2} \Lambda_8^+ - (1-\Psi) \zeta_O \cdot T_2^+ \right] + \left[\frac{1}{2} \Lambda_9^+ - (1-\Psi) \zeta_O \cdot \sin \alpha \right] a^+ - \left[\Lambda_{10}^+ + (1-\Psi) \cdot \zeta_O (+\sin \alpha) \right] \sin \gamma$$
(2.71)

bulunur.

Pozitif ivmeleendirme esnasında eğri bir yüzey üzerinde hareket eden kütlenin bağıntılı olduğu dört tekerlege olan dinamik tesirleri Denkl. (2.71) ile verilmiştir. Bu denklemlerin biribirleriyle mukayesesini halinde,

$$G_3 > G_4 > \dots , \quad G_3 > G_2 > G_1$$

olduğu görülür.

$$G_4 > G_2 \text{ olabilmesi için}$$

$$(\Lambda_6^+ + a \cdot \Lambda_7^+) - (\Lambda_8^+ + a \cdot \Lambda_9^+) > 4 \left[T_2^+ + (a + \sin \gamma) \sin \alpha \right] (1-\Psi) \zeta$$

($e_A = e_O$ olduğu kabul edilmiştir.)

Olaması halinde ,

$$G_3 > G_4 > G_2 > G_1$$

olduğu görülür.

3. Özel haller

3.1 Kütlenin eğri ve yükseltilmiş bir yüzey üzerindeki hareketi

Bu durum Şekil 1'de verilen durumun $\gamma = 0$ olması hinde meydengelir. Böyle bir yüzey üzerindeki harekette negatif ve pozitif ivmeleendirme esnasında kütleye tesir eden kuvvetlerin, kütlenin bağlı bulunduğu dört tekerlekteki dinamik yük değişimi, daha önce verilen Denkl.(2.68) ve (2.71) de $\gamma = 0$ alınmasıyla bulunur.

Böylece,

Negatif ivmeleendirme durumunda dinamik yük değişimi:

Arka tekerleklerde :

Dış tekerlek (3)

$$G_3/G = \left(\frac{1}{2} \Lambda_6 + \Psi \cdot \bar{C}_A \cdot T_2 \right) + \left(\frac{1}{2} \Lambda_7 - \Psi \cdot \bar{C}_A \cdot \sin \alpha \right) a$$

İç tekerlek (4)

$$G_4/G = \left(\frac{1}{2} \Lambda_6 - \Psi \cdot \bar{C}_A \cdot T_2 \right) + \left(\frac{1}{2} \Lambda_7 + \Psi \cdot \bar{C}_A \cdot \sin \alpha \right) a$$

Ön tekerleklerde :

Dış tekerlek (2)

$$G_2/G = \left[\frac{1}{2} \Lambda_8 + (1-\Psi) \bar{C}_0 \cdot T_2 \right] + \left[\frac{1}{2} \Lambda_9 - (1-\Psi) \bar{C}_0 \cdot \sin \alpha \right] a$$

İç tekerlek (1)

$$G_1/G = \left[\frac{1}{2} \Lambda_8 - (1-\Psi) \bar{C}_0 \cdot T_2 \right] + \left[\frac{1}{2} \Lambda_9 + (1-\Psi) \bar{C}_0 \cdot \sin \alpha \right] a \quad (3.1)$$

Bu dört tekerlekteki dinamik yük dağılımlarının tetkikinde kütleye tesir eden dış kuvvetlerin en uygunsuz bir şekilde tesir ettikleri düşünülürse (dış kuvvetlerin w_R sağa doğru ve w_T hareket yönünde tesir ettikleri)

$$G_2 > G_3 > G_4 \quad \text{ve} \quad G_2 > G_1$$

olduğu görülür.

$$\Lambda_8 + a \cdot \Lambda_9 - (\Lambda_6 + a \cdot \Lambda_7) > 4(T_2 - a \cdot \sin \alpha)(1-\Psi) \bar{C}$$

($e_A = e_0$ kabul edilmiştir.)

olması halinde ise, $G_1 > G_3$ olduğu bulunur.

Bu durumda, $G_2 > G_1 > G_3 > G_4$ olur.

Pozitif ivmelendirilme durumunda dinamik yük değişimi :

Arka tekerleklerde :

Dış tekerlek (3)

$$G_3/G = \left(\frac{1}{2} \Lambda_6^+ + \Psi \cdot Z_A \cdot T_2^+ \right) + \left(\frac{1}{2} \Lambda_7^+ - \Psi \cdot Z_A \cdot \sin\alpha \right) a^+$$

İç tekerlek (4)

$$G_4/G = \left(\frac{1}{2} \Lambda_6^+ - \Psi \cdot Z_A \cdot T_2^+ \right) + \left(\frac{1}{2} \Lambda_7^+ - \Psi \cdot Z_A \cdot \sin\alpha \right) a^+$$

Ön tekerleklerde :

Dış tekerlek (2)

$$G_2/G = \left[\frac{1}{2} \Lambda_8^+ + (1-\Psi) Z_0 \cdot T_2^+ \right] + \left[\frac{1}{2} \Lambda_9^+ + (1-\Psi) Z_0 \cdot \sin\alpha \right] a^+$$

İç tekerlek (1)

$$G_1/G = \left[\frac{1}{2} \Lambda_8^+ - (1-\Psi) Z_0 \cdot T_2^+ \right] + \left[\frac{1}{2} \Lambda_9^+ - (1-\Psi) Z_0 \cdot \sin\alpha \right] a^+ \quad (3.2)$$

Denkl. (3.2) ile verilen dinamik tesirler aralarında mukayese edilirse,

$$\Lambda_8^+ + a \cdot \Lambda_9^+ - (\Lambda_6^+ + a \cdot \Lambda_7^+) > 4(T_2^+ - a \cdot \sin\alpha)(1-\Psi)Z$$

olduğu görülür.

$$\Lambda_8^+ + a \cdot \Lambda_9^+ - (\Lambda_6^+ + a \cdot \Lambda_7^+) > 4(T_2^+ - a \cdot \sin\alpha)(1-\Psi)Z \quad +)$$

olması halinde ise,

$$G_4 > G_2$$

olduğu bulunur.

Böylece,

$$G_3 > G_4 > G_2 > G_1$$

elde edilir.

+) $e_0 = e_A$ kabul edilmiştir.

3.2 Kütlenin eğik bir yüzey üzerindeki hareketi ($\gamma \neq 0, \delta = 0$)

Kütlenin eğri bir yörüngede üzerindeki hareketi esnasında negatif ve pozitif ivmeleendirilmesi halinde iç ve dış kuvvetlerin tesiri ile bağıntılı bulunduğu dört tekerlekteki dinamik yük değişimleri Denkl. (2.41...2.44), (2.60...2.63) ve (2.68...2.71) ile verilmistir. Genel olarak verilmiş olan bu denklemlerden, eğik ve düz bir yüzey üzerinde hareket eden kütlenin pozitif ve negatif ivmeleendirilmesi esnasında iç ve dış kuvvetlerin tesiri ile ön ve arka iki tekerlekte meydana gelen dinamik tesirler bulunabilir.

Şöyledi, yukarıda adı geçen denklemlerde

$$\gamma = 0, a_M = a_T = 0 \text{ ve } \Delta Q = 0$$

alındığı taktirde, aşağıda verilen denklemler elde edilir.

Kütlenin eğik yüzey üzerinde yukarı doğru hareketinde (Şekil 17)

Negatif ivmeleendirme durumu :

$$G_O/G = (1-\Psi) \cos \gamma + (a - \sin \gamma - w_{Tx}) \chi + a \cdot i_t \quad (3.3)$$

$$G_A/G = \Psi \cdot \cos \gamma - (a - \sin \gamma - w_{Tx}) \chi - a \cdot i_t \quad (3.4)$$

Pozitif ivmeleendirme durumu :

$$G_O/G = (1-\Psi) \cos \gamma - (a + \sin \gamma + w_{Tx}) \chi - a \cdot i_t \quad (3.5)$$

$$G_A/G = \Psi \cdot \cos \gamma + (a + \sin \gamma + w_{Tx}) \chi + a \cdot i_t \quad (3.6)$$

Kütlenin eğik yüzey üzerinde aşağı doğru hareketinde (Şekil 17)

Negatif ivmeleendirme durumu :

$$G_O/G = (1-\Psi) \cos \gamma + (a + \sin \gamma - w_{Tx}) \chi + a \cdot i_t \quad (3.7)$$

$$G_A/G = \Psi \cdot \cos \gamma - (a + \sin \gamma - w_{Tx}) \chi - a \cdot i_t \quad (3.8)$$

Pozitif ivmeleendirme durumu :

$$G_O/G = (1-\Psi) \cos \gamma - (a - \sin \gamma + w_{Tx}) \chi - a \cdot i_t \quad (3.9)$$

$$G_A/G = \Psi \cdot \cos \gamma + (a - \sin \gamma + w_{Tx}) \chi + a \cdot i_t \quad (3.10)$$

Hareket yüzeyinin eğimi (γ) ve dış kuvvet olarak hareket yönüne karşı gelecek şekilde tesir eden hava direnci (w_L), kütlenin eğik bir yüzey üzerinde yukarı doğru hareketi esnasında Denkl. (3.1-3.4) pozitif ve negatif ivmelendiğimde arka tekerleklerin yükünü arttırırken, ön tekerleklerin yükünü azaltmaktadır.

Eğer kütle, eğik bir yüzey üzerinde aşağı doğru hareket ederse, yüzey eğimi (γ) [Denkl. (3.7 - 3.10)] pozitif ve negatif ivmelendirmeye ön tekerleklerin yükünü artırırken, arka tekerleklerinkini azaltmaktadır. Buna karşılık dış kuvvet olarak hava direnci (w_L) her iki durumda da arka tekerleklerin yükünü artıracak şekilde tesir etmektedir. Atalet kuvvetlerinin (G.a) tesiri de, kütlenin eğik bir yüzeyde yukarı doğru hareketinde ve pozitif ivmelendirilmesinde, arka tekerleklerin yükünü artırıcı bir yönde tesir ederken, negatif ivmelendirme halinde ise azaltıcı bir şekilde tesir etmektedir [Denkl. (3.6 - 3.4)]. Kütlenin eğik bir yüzeyde aşağı doğru hareketinde ve pozitif ivmelendirilmesi halinde, atalet kuvvetleri arka tekerleklerin yükünü artırıcı ve negatif ivmelendirilmesi halinde ise azaltıcı bir şekilde tesir etmektedirler [Denkl. (3.8 - 3.10)].

Sistemde kütlenin bağlı bulunduğu tekerleklerde tattıktan edilen momentler hareket yüzeyinin eğimine bağlı olmaksızın, negatif ivmelendirme esnasında ön tekerleklerin yükünü artırıcı ve arka tekerleklerin yükünü ise azaltıcı bir şekilde, pozitif ivmelendirme esnasında ise ön tekerleklerin yükünü azaltıcı ve arka tekerleklerinkini artırıcı bir şekilde tesir etmektedirler [Denkl. (3.3 - 3.10)].

Yuvarlanma direğinin dikkate alınması halinde, hareket yüzeyine paralel olan kuvvetlerin denge denklemleri yazılsa :

Kütlenin eğik bir yüzeyde yukarı doğru hareketi (Şekil 1):

Negatif ivmelendirme hali:

$$B_A + B_O = B + (W_{RO} + W_{RA}) = -G \cdot \sin \gamma - w_L + G \cdot a \\ = G(a - \sin \gamma - w_L) \quad (3.11)$$

Pozitif ivmelendirme hali:

$$A_A + A_O = A - (W_{RO} + W_{RA}) = G \cdot \sin \gamma + w_L + G \cdot a \\ = G(a + \sin \gamma + w_L) \quad (3.12)$$

Kütlenin eğik bir yüzeyde aşağı doğru hareketi:

Negatif ivmelendirme hali:

$$B_A + B_O = B + (W_{RO} + W_{RA}) = G(a + \sin\delta - w_L) \quad (3.13)$$

Pozitif ivmelendirme hali :

$$\begin{aligned} A_A + A_O &= A - (W_{RO} + W_{RA}) = G.a - G.\sin\delta + w_L \\ &= G(a - \sin\delta + w_L) \end{aligned} \quad (3.14)$$

Yuvarlanma direnci,

$$W_{RO} + W_{RA} = W_R = \rho \cdot G \cdot \cos\delta$$

şeklinde yazılabilir.

Bu duruma göre kütlenin 1,2 ve 3,4 tekerleklerindeki dinamik tesirleri (3.11 - 3.12 - 3.13 ve 3.14) denklemleri göz önünde tutularak; kütlenin eğik yüzeydeki hareketinde ön ve arka tekerleklerin dinamik yük değişimi :

Negatif ivmelendirme hali :

$$G_O/G = (1-\psi)\cos\delta + (a + \rho \cdot \cos\delta)\chi \quad (3.15)$$

$$G_A/G = \psi \cdot \cos\delta - (a + \rho \cdot \cos\delta)\chi \quad (3.16)$$

Pozitif ivmelendirme hali :

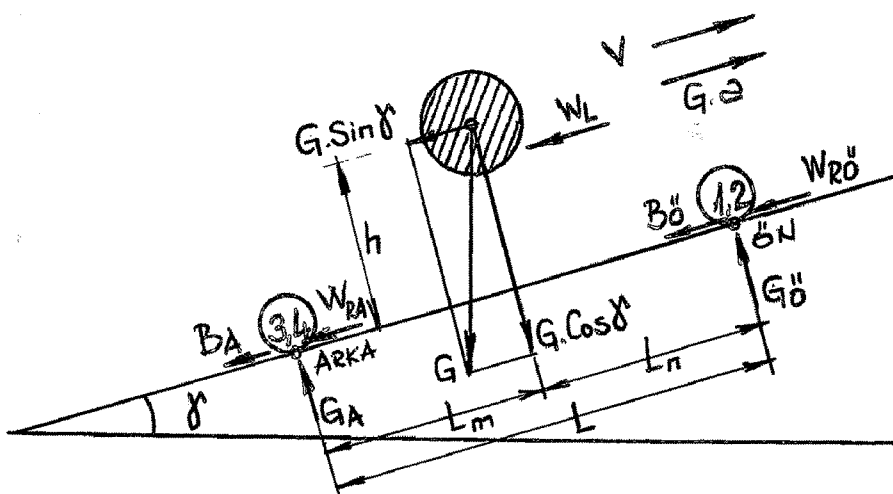
$$G_O/G = (1-\psi)\cos\delta - (a^+ - \rho \cdot \cos\delta)\chi \quad (3.17)$$

$$G_A/G = \psi \cdot \cos\delta + (a^+ - \rho \cdot \cos\delta)\chi \quad (3.18)$$

şeklinde yazılabilir.

(3.15 - 3.18) verilen denklemlerden görüldüğü gibi, kütlenin eğik yüzeydeki hareketinde yuvarlanma direnci, pozitif ivmelendirme halinde 1,2 ve 3,4 tekerleklerindeki tahrik kuvvetini azaltıcı, negatif ivmelendirme halinde ise artırmacı bir şekilde tesir etmektedir. Gene aynı şekilde pozitif ivmelendirme halinde tahrik kuvveti ön tekerleklerin (1,2) dinamik yükünü azaltırken, arka tekerleklerin (3,4) dinamik yükünü artırmaktadır.

Aynı şekilde bu denklemlerden (3.13 - 3.16) görüldüğü üzere negatif ivmelendirme halinde ön tekerleklerin (1,2) dinamik yükü artarken, arka tekerleklerinkine (3,4) azalmaktadır.



Şekil 17, Kütlenin eğik bir yüzeydeki hareketi esnasında kendisine ve bağıntılı olduğu dört lekeleğe tesir eden kuvvetler

3.3 Kütlenin düz bir yüzey üzerindeki hareketi ($\gamma=0, \delta=0$)

Kütlenin düz bir yüzey üzerindeki hareketi esnasında negatif ve pozitif ivmelendirilmesi ile meydana gelen dinamik yük değişim durumlarını bulmak için DenkL.(3.3 - 3.10) ve (3.15 - 3.18) $\gamma=0$ alınması kâfidir.

4. Kütlenin hareketindeki limit durumlar

4.1 Kütlenin eğri yüzey üzerindeki hareketinde limit durumlar

4.1.1 Hareket yüzeyinin $\delta \neq 0$ ve $\dot{\delta} \neq 0$ olması
4.1.1.1 Negatif ivmelendirme durumu

Kütlenin eğri yüzeydeki hareketinde aşırı bir şekilde negatif ivmelendirilmesi halinde

$G_4 \geq 0$ olması için,

(2.68) denkleminde verilen G_4 değeri sıfıra eşitlenmelidir.

$$G_4 = G \left[\left(\frac{1}{2} \lambda_6 - \Psi \cdot \zeta_0 \cdot T_2 \right) + \left(\frac{1}{2} \lambda_7 + \Psi \cdot \zeta_0 \cdot \sin \alpha \right) \right] - \left[\lambda_{10} - \Psi \cdot \zeta_A \cdot (\pm \sin \alpha) \right] \sin \Gamma = 0$$

ve sabitelerin yerlerine yazılması halinde,

$$\begin{aligned} \operatorname{tg} \delta \left[\pm \frac{1}{2} \Psi \cdot \omega_M + \left(\frac{x}{2} \sin \alpha + \Psi \cdot \zeta_A \cdot \cos \alpha \right) \cos \Gamma \right] - \frac{1}{\cos \delta} \left[\left(\frac{x}{2} \cdot \cos \alpha - \Psi \cdot \zeta_A \cdot \sin \alpha \right) \omega_T \right. \\ \left. - \left(\frac{1}{2} \lambda_7 + \Psi \cdot \zeta_A \cdot \sin \alpha \right) \omega + \left(\lambda_{10} - \Psi \cdot \zeta_A \cdot (\pm \sin \alpha) \right) \sin \Gamma \right] = \left(\frac{x}{2} \sin \alpha + \Psi \cdot \zeta_A \cdot \cos \alpha \right) \omega_M \end{aligned} \quad \dots \quad (4.1)$$

$$\operatorname{tg} \delta (\Gamma_1) - \frac{1}{\cos \delta} (\Gamma_2) = \Gamma_3 \quad (4.2)$$

trigonometrik denklemi elde edilir. Bu denklemin çözümü ile aranan sınır açısı bulunur.

$$\delta \leq 2 \operatorname{arctg} \frac{-2 \Gamma_1 \pm \sqrt{4 \Gamma_1^2 + \Gamma_3^2 - \Gamma_2^2}}{\Gamma_3 - \Gamma_2} \quad (4.3)$$

olması gereklidir.

4.1.1.2 Pozitif ivmelendirme durumu

Kütlenin eğri yüzeydeki hareketinde aşırı bir şekilde pozitif ivmelendirilmesi halinde,

$G_1 \geq 0$ olması için,

(2.72) denkleminde verilen G_1 değerinin sıfıra eşitlenmesi gereklidir.

$$G_1 = \left[\frac{1}{2} \lambda_8^+ - (1-\Psi) \zeta_0 \cdot T_2^+ \right] + \left[\frac{1}{2} \lambda_9^+ - (1-\Psi) \zeta_0 \cdot \sin \alpha \right] \omega^+ - \left[\lambda_{10}^+ + (1-\Psi) \zeta_0 \cdot (\pm \sin \alpha) \right] \sin \Gamma = 0$$

sabitelerin değerleri yerlerine yazıldığında,

$$\begin{aligned} \operatorname{tg} \left\{ \pm \frac{1}{2}(1-\psi) \omega_M - \left[\frac{x}{2} \cdot \sin \alpha - (1-\psi) \zeta_y \cdot \cos \alpha \right] \cos \delta \right\} - \frac{1}{\cos \delta} \left\{ \left[\frac{x}{2} \cos \alpha + (1-\psi) \zeta_y \cdot \sin \alpha \right] w_T \right. \\ \left. - \omega \left[\frac{1}{2} \lambda_g^+ - (1-\psi) \zeta_y \cdot \sin \alpha \right] + \sin \delta \left[\lambda_{10}^+ + (1-\psi) \cdot \zeta_y (\pm \sin \alpha) \right] \right\} + \left[\frac{x}{2} \sin \alpha - (1-\psi) \zeta_y (\pm \sin \alpha) \right] \omega_M \\ \operatorname{tg} (\Gamma_1^+) - \frac{1}{\cos \delta} (\Gamma_2^+) = \Gamma_3 \end{aligned} \quad \dots \quad (4.4)$$

trigonometrik denklemi elde edilir.
Bu denklemin çözülmesi ile, açının

$$\delta \leq 2 \arctg \frac{-2 \Gamma_1^+ \pm \sqrt{4 \Gamma_1^{+2} + \Gamma_3^{+2} - \Gamma_2^{+2}}}{\Gamma_3 - \Gamma_2} \quad (4.6)$$

olması gereklidir.

4.1.2 Hareket yüzeyinin $\delta = 0$ ve $\delta \neq 0$ olması

4.1.2.1 Negatif ivmeleendirme :

Kütlenin aşırı bir şekilde negatif ivmeleendirilmesi halinde

$G_4 \geq 0$ olması için,

(3.1) denkleminde verilen G_4 değeri sıfıra eşitlenirse

$$G_4 = \left(\frac{1}{2} \lambda_6 - \psi \cdot \zeta_A \cdot T_2 \right) + \left(\frac{1}{2} \lambda_7 + \zeta_A \cdot \psi_A \cdot \sin \alpha \right) a = 0$$

ve sabitelerin yerlerine yazılması halinde

$$\begin{aligned} \operatorname{tg} \left\{ \pm \frac{1}{2} \psi \omega_M + \left(\frac{x}{2} \sin \alpha - \psi \cdot \zeta_A \cdot \cos \alpha \right) \cos \delta \right\} - \frac{1}{\cos \delta} \left\{ \left(\frac{x}{2} \cos \alpha - \psi \cdot \zeta_A \cdot \sin \alpha \right) w_T \right. \\ \left. - \left(\frac{1}{2} \lambda_7 - \psi \cdot \zeta_A \cdot \sin \alpha \right) a \right\} = \left(\frac{x}{2} \sin \alpha - \psi \cdot \zeta_A \cdot \cos \alpha \right) \omega_M \end{aligned} \quad (4.7)$$

$$\operatorname{tg} \delta (\Gamma_1) - \frac{1}{\cos} (\Gamma_4) = \Gamma_3 \quad (4.8)$$

trigonometrik denklemi elde edilir.
Bu denklemin çözülmesi ile, açının

$$\delta \leq 2 \arctg \frac{-2 \Gamma_1 \pm \sqrt{4 \Gamma_1^2 + \Gamma_3^2 - \Gamma_4^2}}{\Gamma_3 - \Gamma_4} \quad (4.9)$$

olması gereklidir.

4.1.2.2 Pozitif ivmelendirilmesi :

Kütlenin aşırı bir şekilde pozitif ivmelendirilmesi halinde

$$G_1 \geq 0 \text{ olması için,}$$

(3.2) denkleminde verilen G_1 değeri sıfıra eşitlenirse,

$$G_1 = \left[\frac{1}{2} \lambda_8^+ - (1-\psi) \zeta_0 \cdot T_2^+ \right] + \left[\frac{1}{2} \lambda_9^+ - (1-\psi) \zeta_0 \cdot \sin \alpha \right] a^+ = 0$$

ve sabitelerin değerlerinin yerlerine yazılmasıyla

$$\begin{aligned} \operatorname{tg} \left[\pm \frac{1}{2} (1-\psi) \omega_M - \left(\frac{\chi}{2} \sin \alpha - (1-\psi) \zeta_0 \cdot \cos \alpha \right) \cos \delta \right] - \frac{1}{\cos \delta} \left\{ \left[\frac{\chi}{2} \cos \alpha + (1-\psi) \zeta_0 \cdot \sin \alpha \right] w_T \right. \\ \left. - \omega^2 \left[\frac{1}{2} \lambda_9^+ - (1-\psi) \zeta_0 \cdot \sin \alpha \right] \right\} + \left[\frac{\chi}{2} \sin \alpha - (1-\psi) \zeta_0 \cdot (\pm \sin \alpha) \right] \omega_M = 0 \end{aligned} \quad (4.10)$$

$$\operatorname{tg} \delta \left(\Gamma_1^+ \right) - \frac{1}{\cos \delta} \left(\Gamma_4^+ \right) = \Gamma_3^+ \quad (4.11)$$

trigonometrik denklemi elde edilir.

Bu denklemin çözümü ile, açının

$$\delta \leq 2 \arctg \frac{-2 \Gamma_1^+ \mp \sqrt{4 \Gamma_1^{+2} + \Gamma_3^{+2} - \Gamma_4^{+2}}}{\Gamma_3^+ - \Gamma_4^+} \quad (4.12)$$

olması gereklidir.

4.2 Eğik yüzey üzerindeki harekete limit durumlar :

$$\gamma \neq 0, \delta = 0 \text{ olması}$$

4.2.1 Eğik yüzeydeki aşağı doğru hareket

Kütlenin aşırı bir şekilde negatif eğimli düzlemdeki hareketi esnasında aşırı bir şekilde negatif ivmelendirilmesi halinde $G_A \geq 0$ olması için,

(3.8) denklemi sıfıra eşitlenirse

$$\psi \cdot \cos \delta - (a + \sin \delta - w_{Tx}) \chi - a \cdot i_t = 0$$

$$\chi \cdot \operatorname{tg} \delta - \frac{1}{\cos \delta} \left[-(a - w_{Tx}) \chi - a \cdot i_t \right] = \psi \quad (4.13)$$

Denklemi elde edilir.

$$\gamma \leq 2 \operatorname{arctg} \frac{-2\chi \mp \sqrt{4\chi^2 + \psi^2 - \Gamma_5^2}}{\psi - \Gamma_5} \quad (4.14)$$

olması icapeder.

Küçük eğilimlerde $\cos \gamma \approx 1$ ve $\operatorname{tg} \gamma \approx \sin \gamma$ alınabileceğinden ve bu değerler Denkl. (4.13) ile beraber Denkl. (3.7) de yerine konursa $G_O = G$ elde edilir.

Bu ise limit durumda γ nin Denkl. (4.14) deki bir değere ulaşması halinde kütlenin bütün ağırlığının, ön tekerlekler (1, 2) tarafından taşınması durumunu ortaya çıkarmaktadır.

4.2.2 Eğik yüzeydeki yukarı doğru hareket

Kütlenin eğik yüzeydeki hareketinde aşırı bir şekilde pozitif ivmeleendirilmesi halinde

$G_O \neq 0$ olması için,

(3.5) denklemi sıfıra eşitlenirse,

$$(1-\psi) \cos \gamma - (a + \sin \gamma + w_{Tx}) \chi - a \cdot i_t = 0$$

$$\chi \cdot \operatorname{tg} \gamma - \frac{1}{\cos \gamma} \left[(a + w_{Tx}) - a \cdot i_t \right] = 1 - \psi \quad (4.15)$$

denklemi elde edilir.

Buradan

$$\gamma \leq 2 \operatorname{arc tg} \frac{-2\chi \mp \sqrt{4\chi^2 + (1-\psi)^2 - \Gamma_5^2}}{(1-\psi) - \Gamma_5} \quad (4.16)$$

olması icap eder.

Küçük eğilimlerde $\cos \gamma \approx 1$ ve $\operatorname{tg} \gamma \approx \sin \gamma$ alınabileceğinden ve bu değerler Denkl (4.15) ile beraber Denkl. (3.6) ye-rine konursa,

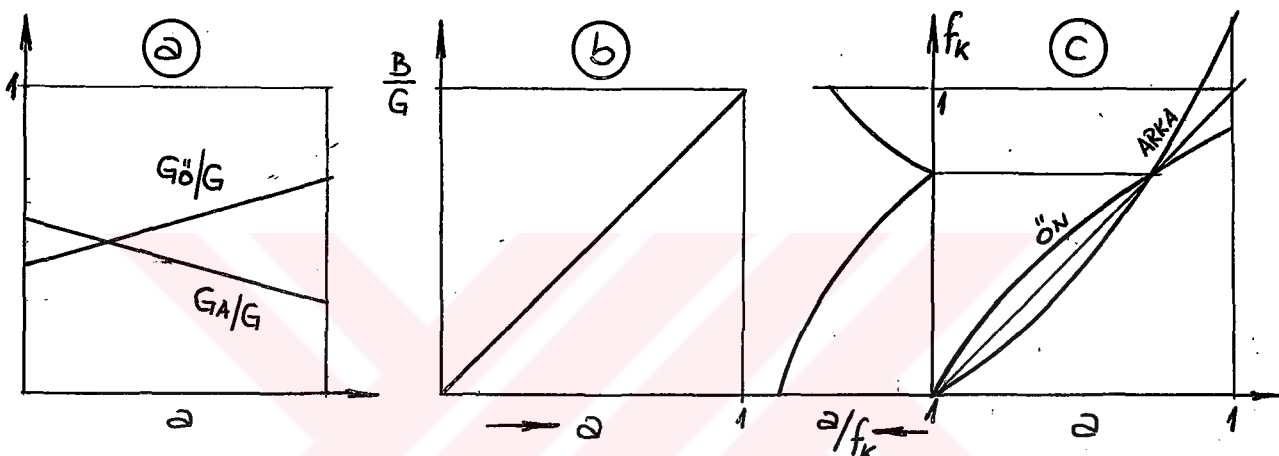
$G_A = G$ elde edilir.

Bu ise limit durumda $\operatorname{tg} \gamma$ nin Denkl. (4.15) deki bir de-ğere ulaşması halinde kütlenin bütün ağırlığının arka tekerlekler (3,4) tarafından taşınması ortaya çıkar-maktadır.

5. Sabit ve değişken kuvvet dağılımı

5.1 Kuvvet bağıntısı

Negatif ve pozitif ivmelendirme esnasında hareket yüzeyinin durumuna ve ivmenin büyüğüğe bağlı olarak sistemin ön tekerleklerden ikisi veya biri ve arka tekerleklerden ikisi veya biri bloke olabilir. Arka tekerleklerdeki bloke durumu sistemin daima hareket yörungesinden sapmasına ve ön tekerleklerdeki bloke durumu ise sistemin yön verme kabiliyetine tesir eder. Bu durumları daha iyi anlayabilmek için ivme ile yük dağılımını daha doğrusu tekerleklerin hareket yüzeyi ile olan kuvvet bağıntısını (f_K) tanımk gerekmektedir.



Şekil 18, Düz bir yüzeydeki negatif ivmelendirme durumunda kuvvet ve kuvvet bağıntısının değişim durumu

- Ön ve arka tekerleklerin kuvvet dağılımı
- Fren kuvvetinin dağılımı
- Kuvvet bağıntısının dağılımı

Şekil 18 ile düz bir yüzey üzerinde hareket eden kütlenin frenlenmesi esnasında ön ve arka tekerleklerdeki yük dağılımı (Şekil 17a) ve sistemin ön ve arka tekerleklerindeki sabit fren kuvveti, (a)ının bir fonksiyonu olarak (Şekil 17b) gösterilmiştir. Şekil 17a ve b nin koordinat değerleri (a) üzerine taşınırsa kuvvet bağıntısının gidişi elde edilir (Şekil 17c).

5.2 Kütlenin eğri bir yüzey üzerinde hareketindeki ideal kuvvet dağılımı ($\beta \neq 0$, $\gamma \neq 0$):

Sistemin ön ve arka tekerleklerindeki fren ve tırik kuvvetleri dağılımı dinamik yük değişimine uygun yapıldığı taktirde kuvvet dağılımı ideal olarak yapılmış olur.

Düz bir yüzey üzerindeki harekette sistemin ön ve arka tekerleklerindeki ideal fren kuvvetleri dağılımı parabol benzer eğrilerdir. Eğri bir yüzey üzerinde hareket eden sistemin negatif ve pozitif ivmelemdirilmesi esnasında sistem tekerleklerinde herhangi bir bloke durumun meydana gelmemesi için frenleme ve tahrik kuvvetleri içinde dinamik yük dağılımına uygun bir şekilde yapılması gerekmektedir.

5.2.1 Negatif ivmelemdirme durumu :

Denkl. (2.17) den

Sistemin ön tekerleklerindeki sabit fren kuvveti (1,2) :

$$\frac{B_{TÖ}}{G} = \frac{1-\phi}{2} \cdot a \quad (5.1)$$

Sistemin arka tekerleklerindeki sabit fren kuvveti (3,4) :

$$\frac{B_{TA}}{G} = \frac{\phi}{2} \cdot a \quad (5.2)$$

olarak yazılabilir.

Böylece sistemin bağlı bulunduğu tekerleklerin hareket yüzeyi ile olan kuvvet bağıntısını her tekerlek için ayrı ayrı yazarsak

$$f_K = \frac{\text{Teğetsel kuvvet}}{\text{Normal kuvvet}} = \frac{\text{fren kuvveti}}{\text{dinamik tekerlek yükü}} \quad (5.3)$$

Denkl. (2.69) ile verilen Denkl. (5.1) ve (5.2) ile beraber Denkl. (5.3) yerine yazılırsa, sistemin ön ve arka tekerleklerindeki kuvvet bağıntıları elde edilir.

Sistemin tekerleklerindeki kuvvet bağıntıları :

Ön tekerlekler :

İç tekerlek (1)

$$f_{K1} = \frac{B_{TÖ}/2}{G_1} = \frac{\frac{1-\phi}{2} \cdot a}{\left[\frac{1}{2} \lambda_g - (1-\psi) Z_g T_2 \right] + \left[\frac{1}{2} \lambda_g + (1-\psi) Z_g \sin \alpha \right] \omega + \left[\lambda_{10} + (1-\psi) Z_g (\pm \sin \alpha) \right] \sin \delta} \quad (5.4)$$

Dış tekerlek (2)

$$f_{K2} = \frac{B_{TÖ}/2}{G_2} = \frac{\frac{1-\phi}{2} \cdot a}{\left[\frac{1}{2} \lambda_g + (1-\psi) Z_g T_2 \right] + \left[\frac{1}{2} \lambda_g - (1-\psi) Z_g \sin \alpha \right] \omega + \left[\lambda_{10} - (1-\psi) Z_g (\pm \sin \alpha) \right] \sin \delta} \quad (5.5)$$

Arka tekerlekler :

$$\text{İç tekerlek (4)} \quad f_{K4} = \frac{\frac{B_{TA}}{2}}{G_4} = \frac{\frac{\phi}{2} \cdot \omega}{\left(\frac{1}{2} \lambda_6 - \psi \cdot Z_A \cdot T_2 \right) + \left(\frac{1}{2} \lambda_7 + \psi \cdot Z_A \cdot \sin \alpha \right) \omega - \left[\lambda_{10} - \psi \cdot Z_A (\pm \sin \alpha) \right] \sin \gamma} \quad (5.6)$$

Dış tekerlek (3)

$$f_{K3} = \frac{\frac{B_{TA}}{2}}{G_3} = \frac{\frac{\phi}{2} \cdot \omega}{\left(\frac{1}{2} \lambda_6 + \psi \cdot Z_A \cdot T_2 \right) + \left(\frac{1}{2} \lambda_7 - \psi \cdot Z_A \cdot \sin \alpha \right) \omega - \left[\lambda_{10} + \psi \cdot Z_A (\pm \sin \alpha) \right] \sin \gamma} \quad (5.7)$$

değerleri elde edilir.

Tekerleklerin hareket yüzeyi ile aralarındaki aderans değerinden faydalananma büyüğü :

Denkl. (5.4) ten

İç tekerlek (1)

$$(a/f_K)_1 = \frac{\left[\frac{1}{2} \lambda_8 - (1-\psi) Z_o'' \cdot T_2 \right] + \sin \gamma \left[\lambda_{10} + (1-\psi) Z_o'' (\pm \sin \alpha) \right]}{\frac{1-\phi}{2} - f \left[\frac{1}{2} \lambda_9 + (1-\psi) Z_o'' \cdot \sin \alpha \right]} \quad (5.8)$$

Denkl. (5.5) ten

Dış tekerlek (2)

$$(a/f_K)_2 = \frac{\left[\frac{1}{2} \lambda_8 + (1-\psi) Z_o'' \cdot T_2 \right] + \sin \gamma \left[\lambda_{10} - (1-\psi) Z_o'' (\pm \sin \alpha) \right]}{\frac{1-\phi}{2} - f \left[\frac{1}{2} \lambda_9 - (1-\psi) Z_o'' \cdot \sin \alpha \right]} \quad (5.9)$$

Denkl. (5.6) dan

İç tekerlek (4)

$$(a/f_K)_4 = \frac{\left(\frac{1}{2} \lambda_6 - \psi \cdot Z_A \cdot T_2 \right) - \sin \gamma \left[\lambda_{10} - \psi \cdot Z_A (\pm \sin \alpha) \right]}{\frac{\phi}{2} - f \left[\frac{1}{2} \lambda_7 + \psi \cdot Z_A \cdot \sin \alpha \right]} \quad (5.10)$$

Denkl. (5.7) den

Dış tekerlek (3)

$$(a/f_K)_3 = \frac{\left(\frac{1}{2} \lambda_6 + \psi \cdot Z_A \cdot T_2 \right) - \sin \gamma \left[\lambda_{10} + \psi \cdot Z_A (\pm \sin \alpha) \right]}{\frac{\phi}{2} - f \left[\frac{1}{2} \lambda_7 - \psi \cdot Z_A \cdot \sin \alpha \right]} \quad (5.11)$$

Kütlenin eğri bir yüzey üzerindeki hareketi esnasında, küçük frenleme değerlerinde yön verme kabiliyetinin kaybolmaması için emniyet yönünden, daha doğrusu $f = 0$ olması halinde, ön iç tekerleğin (a/f)_{Öi} değerinin yeteri derecede büyük olması gereklidir.

Bunun için Denkl. (5.8) de $f = 0$ alınarak,

$$\frac{(a/f_K)_1}{1} = \frac{\left[\frac{1}{2} \lambda_6 - (1-\psi) \zeta_A \cdot T_2 \right] + \sin \gamma \left[\lambda_{10} + (1-\psi) \zeta_A (\pm \sin \alpha) \right]}{\frac{1-\phi}{2}} \quad (5.12)$$

elde edilir.

Buna karşılık arka tekerleklerin bloke olması halinde bütün kuvvet bağıntısının kullanılabilirliği için ulaşılabilen en büyük frenleme değeri Denkl. (5.10) da $f = 1$ alınarak,

$$a_{\max} = \frac{\left(\frac{1}{2} \lambda_6 - \psi \cdot \zeta_A \cdot T_2 \right) - \sin \gamma \left[\lambda_{10} + \psi \cdot \zeta_A (\pm \sin \alpha) \right]}{\frac{\phi}{2} - \left(\frac{1}{2} \lambda_7 + \psi \cdot \zeta_A \cdot \sin \alpha \right)} \quad (5.13)$$

Sistemin tekerlek kuvvet bağıntı eğrilerinin ($a=f$) ideal doğrusunu kestikleri noktalar ideal kesişme noktaları olarak isimlendirilirler. Bu ideal doğru, sistemin hareket yüzeyinin durumuna ve ivmelendirmenin büyüklüğüne bağlı olarak tekerlek kuvvet bağıntı eğrilerinin $f_K = f(a)$ biri veya birkaçı tarafından kesilebilir.

İdeal durumda, Denkl. (5.11) den $a = f$ alınarak,

$$a_{\text{ideal}} = a_i = \frac{\frac{\phi}{2} - \left(\frac{1}{2} \lambda_6 + \psi \cdot \zeta_A \cdot T_2 \right) + \sin \gamma \left[\lambda_{10} + \psi \cdot \zeta_A (\pm \sin \alpha) \right]}{\frac{1}{2} \lambda_7 - \psi \cdot \zeta_A \cdot \sin \alpha} \quad (5.14)$$

elde edilir.

5.2.2 Pozitif ivmelendirme durumu :

Denkl. (2.17) den

Sistemin ön tekerleklerindeki sabit tahrik değeri (1,2):

$$\frac{A_{\text{TÖ}}}{G} = \frac{1-\phi}{2} \cdot a^+ \quad (5.15)$$

Sistemin arka tekerleklerindeki sabit tahrik değeri (3,4) :

$$\frac{A_{TA}}{G} = \frac{\phi}{2} \cdot a^+ \quad (5.16)$$

olarak yazılabilir.

Pozitif ivmeleme esnasında sisteme dört tekerleğindeki kuvvet bağıntılarını bulmak için Denkl. (2.72) de verilen değerler Denkl. (5.15 ve 5.16) değerleri ile beraber Denkl. (5.3) te yerlerine yazılması gereklidir.

Sistemin tekerleklerindeki kuvvet bağıntıları :

Ön tekerlekler :

İç tekerlek (1)

$$f_{K1}^+ = \frac{A_{TO}/2}{G_1} = \frac{\frac{1-\phi}{2} \cdot \omega^+}{\left[\frac{1}{2} \lambda_8^+ - (1-\psi) \zeta_8 \cdot T_2^+ \right] + \left[\frac{1}{2} \lambda_9^+ - (1-\psi) \zeta_9 \cdot \sin \alpha \right] \omega^+ - \left[\lambda_{10}^+ + (1-\psi) \zeta_8 \cdot (\pm \sin \alpha) \right] \sin \delta} \quad \dots (5.17)$$

Dış tekerlek (2)

$$f_{K2}^+ = \frac{A_{TO}/2}{G_2} = \frac{\frac{1-\phi}{2} \cdot \omega^+}{\left[\frac{1}{2} \lambda_8^+ + (1-\psi) \zeta_8 \cdot T_2^+ \right] + \left[\frac{1}{2} \lambda_9^+ + (1-\psi) \zeta_9 \cdot \sin \alpha \right] \omega^+ - \left[\lambda_{10}^+ - (1-\psi) \zeta_8 \cdot (\pm \sin \alpha) \right] \sin \delta} \quad \dots (5.18)$$

Arka tekerlekler :

İç tekerlek (4)

$$f_{K4}^+ = \frac{A_{TA}/2}{G_4} = \frac{\frac{\phi}{2} \cdot \omega^+}{\left(\frac{1}{2} \lambda_6^+ - \psi \cdot \zeta_7 \cdot T_2^+ \right) + \left(\frac{1}{2} \lambda_7^+ - \psi \cdot \zeta_7 \cdot \sin \alpha \right) \omega^+ + \left[\lambda_{10}^+ - \psi \cdot \zeta_8 \cdot (\pm \sin \alpha) \right] \sin \delta} \quad \dots (5.19)$$

Dış tekerlek (3)

$$f_{K3}^+ = \frac{A_{TA}/2}{G_3} = \frac{\frac{\phi}{2} \cdot \omega^+}{\left(\frac{1}{2} \lambda_6^+ + \psi \cdot \zeta_7 \cdot T_2^+ \right) + \left(\frac{1}{2} \lambda_7^+ + \psi \cdot \zeta_7 \cdot \sin \alpha \right) \omega^+ + \left[\lambda_{10}^+ + \psi \cdot \zeta_8 \cdot (\pm \sin \alpha) \right] \sin \delta} \quad \dots (5.20)$$

Aderans değerlerinden faydalama büyüklükleri :

Denkl. (5.17) den

İç tekerlek (1)

$$(a/f_K)_1^+ = \frac{\left[\frac{1}{2} \lambda_8^+ - (1-\psi) \zeta_8 \cdot T_2^+ \right] - \sin \delta \left[\lambda_{10}^+ + (1-\psi) \zeta_8 \cdot (\pm \sin \alpha) \right]}{\frac{1-\phi}{2} - f \left[\frac{1}{2} \lambda_9^+ - (1-\psi) \zeta_9 \cdot \sin \alpha \right]} \quad (5.21)$$

Denkl. (5.18) den

Dış tekerlek (2)

$$(a/f_K)_2^+ = \frac{\left[\frac{1}{2} \lambda_8^+ + (1-\psi) \zeta_8 \cdot T_2^+ \right] - \sin \delta \left[\lambda_{10}^+ - (1-\psi) \zeta_8 \cdot (\pm \sin \alpha) \right]}{\frac{1-\phi}{2} - f \left[\frac{1}{2} \lambda_9^+ + (1-\psi) \zeta_8 \cdot \sin \alpha \right]} \quad (5.22)$$

Denkl. (5.19) dan

İç tekerlek (4)

$$(a/f_K)_4^+ = \frac{\left(\frac{1}{2} \lambda_6^+ - \psi \cdot \zeta_A \cdot T_2^+ \right) + \sin \delta \left[\lambda_{10}^+ - \psi \cdot \zeta_A \cdot (\pm \sin \alpha) \right]}{\frac{\phi}{2} - f \left(\frac{1}{2} \lambda_7^+ - \psi \cdot \zeta_A \cdot \sin \alpha \right)} \quad (5.23)$$

Denkl. (5.20) den

Dış tekerlek (3)

$$(a/f_K)_3^+ = \frac{\left(\frac{1}{2} \lambda_6^+ + \psi \cdot \zeta_A \cdot T_2^+ \right) + \sin \delta \left[\lambda_{10}^+ + \psi \cdot \zeta_A \cdot (\pm \sin \alpha) \right]}{\frac{\phi}{2} - f \left(\frac{1}{2} \lambda_7^+ + \psi \cdot \zeta_A \cdot \sin \alpha \right)} \quad (5.24)$$

Hareket esnasında sistemin yörüngesinden sapmasının önlenememesi için ($f=0$ halinde), arka iç tekerlegin (a/f)_{Ai} yeteri derecede büyük olması gereklidir.

Denkl. (5.24) te $f = 0$ alınarak,

$$(a/f_K)' = \frac{\left(\frac{1}{2} \lambda_6^+ + \psi \cdot \zeta_A \cdot T_2^+ \right) + \sin \delta \left[\lambda_{10}^+ + \psi \cdot \zeta_A \cdot (\pm \sin \alpha) \right]}{\frac{\phi}{2}} \quad (5.25)$$

elde edilir.

Buna karşılık ön tekerleklerin bloke olması halinde bütün kuvvet bağıntısının kullanılabilmesi için en büyük tahrif değeri :

Denkl. (5.21) de $f = 1$ alınarak,

$$a_{\max}^+ = \frac{\left[\frac{1}{2} \lambda_8^+ - (1-\psi) \cdot \zeta_8 \cdot T_2^+ \right] - \sin \delta \left[\lambda_{10}^+ + (1-\psi) \zeta_8 \cdot (\pm \sin \alpha) \right]}{\frac{1-\phi}{2} - \left[\frac{1}{2} \lambda_9^+ - (1-\psi) \zeta_8 \cdot \sin \alpha \right]} \quad (5.26)$$

İdeal durumda $a^+ = f_K^+$, Denkl. (5.22) den

$$a_i^+ = \frac{\frac{1-\phi}{2} - \left[\frac{1}{2} \lambda_8^+ + (1-\psi) \zeta_8 \cdot T_2^+ \right] + \sin \delta \left[\lambda_{10}^+ - (1-\psi) \zeta_8 \cdot (\pm \sin \alpha) \right]}{\left[\frac{1}{2} \lambda_9^+ + (1-\psi) \zeta_8 \cdot \sin \alpha \right]} \quad (5.27)$$

elde edilir.

5.3 Özel durumlar

5.3.1 Hareket yüzeyinin $\gamma = 0, \delta \neq 0$ olması durumunda ideal kuvvet dağılımı

Yükseltilmemiş bir eğri yüzey üzerinde hareket eden kütlenin negatif ve pozitif ivmeleendirilmesi durumlarında aranılan kuvvet bağıntı değerlerini bulabilmek için daha önce elde edilmiş olan genel denklemlerde (5.4 - 5.26) $\gamma = 0$ alınması gereklidir.

5.3.1.1 Negatif ivmeleendirme durumu

Sistemin tekerleklerindeki kuvvet bağıntısı

Ön tekerlekler :

Denkl. (5.4) ten

İç tekerlek (1)

$$f_{K1} = \frac{B_{TO}/2}{G_1} = \frac{\frac{1-\phi}{2} \cdot \omega}{\left[\frac{1}{2} \lambda_B - (1-\psi) C_s T_2 \right] + \left[\frac{1}{2} \lambda_g + (1-\psi) C_s \cdot \sin \alpha \right] \omega} \quad (5.28)$$

Denkl. (5.5) ten

Dış tekerlek (2)

$$f_{K2} = \frac{B_{TO}/2}{G_2} = \frac{\frac{1-\phi}{2} \cdot \omega}{\left[\frac{1}{2} \lambda_B + (1-\psi) C_s T_2 \right] + \left[\frac{1}{2} \lambda_g - (1-\psi) C_s \cdot \sin \alpha \right] \omega} \quad (5.29)$$

Arka tekerlekler :

Denkl. (5.6) dan

İç tekerlek (4)

$$f_{K4} = \frac{B_{TA}/2}{G_4} = \frac{\frac{\phi}{2} \cdot \omega}{\left(\frac{1}{2} \lambda_B - \psi C_A T_2 \right) + \left[\frac{1}{2} \lambda_g + \psi C_A \cdot \sin \alpha \right] \omega} \quad (5.30)$$

Denkl. (5.7) den

Dış tekerlek (3)

$$f_{K3} = \frac{B_{TA}/2}{G_3} = \frac{\frac{\phi}{2} \cdot \omega}{\left(\frac{1}{2} \lambda_B + \psi C_A T_2 \right) + \left(\frac{1}{2} \lambda_g - \psi C_A \cdot \sin \alpha \right) \omega} \quad (5.31)$$

değerleri elde edilir.

Aderans değerlerinden faydalananma büyütüklükleri :

Denkl. (5.8) den

İç tekerlek (1)

$$(a/f_K)_1 = \frac{\frac{1}{2} \lambda_8 - (1-\psi) C_d \cdot T_2}{\frac{1-\phi}{2} - f \left[\frac{1}{2} \lambda_9 + (1-\psi) C_d \cdot \sin \alpha \right]} \quad (5.32)$$

Denkl. (5.9) dan

Dış tekerlek (2)

$$(a/f_K)_2 = \frac{\frac{1}{2} \lambda_8 + (1-\psi) C_d \cdot T_2}{\frac{1-\phi}{2} - f \left[\frac{1}{2} \lambda_9 - (1-\psi) C_d \cdot \sin \alpha \right]} \quad (5.33)$$

Denkl. (5.10) dan

İç tekerlek (4)

$$(a/f_K)_4 = \frac{\frac{1}{2} \lambda_6 - \psi \cdot C_A \cdot T_2}{\frac{\phi}{2} - f \left[\frac{1}{2} \lambda_7 + \psi \cdot C_A \cdot \sin \alpha \right]} \quad (5.34)$$

Denkl. (5.11) den

Dış tekerlek (3)

$$(a/f_K)_3 = \frac{\frac{1}{2} \lambda_6 + \psi \cdot C_A \cdot T_2}{\frac{\phi}{2} - f \left[\frac{1}{2} \lambda_7 - \psi \cdot C_A \cdot \sin \alpha \right]} \quad (5.35)$$

Küçük frenleme değerinde yön verme kabiliyetinin kaybolması için gerekli olan aderans değerinden faydalananma büyütüğü;

Bunun için ön iç tekerlegin $(a/f)_1$ değerinin yeteri derecede büyük olması gereklidir. Denkl. (5.12) ye benzer olarak

$$(a/f_K)_1' = \frac{\frac{1}{2} \lambda_8 - (1-\psi) C_d \cdot T_2}{\frac{1-\phi}{2}} \quad (5.36)$$

Aynı şekilde arka tekerleklerin bloke olmaması ve kuvvet bağıntısının tam kullanılabilmesi için ulaşılabilecek en büyük frenleme değeri, Denkl. (5.13 ve 5.34) ten

$$a_{\max} = \frac{\frac{1}{2} \lambda_6 - \psi \cdot C_A \cdot T_2}{\frac{\phi}{2} - \left(\frac{1}{2} \lambda_7 + \psi \cdot C_A \cdot \sin \alpha \right)} \quad (5.37)$$

İdeal durumda frenleme değeri (4.tekerlek):

Denkl. (5.14 ve 5.35) ten

$$a_i = \frac{\frac{\phi}{2} - \left(\frac{1}{2} \lambda_6 + \psi \cdot C_A \cdot T_2 \right)}{\frac{1}{2} \lambda_7 - \psi \cdot C_A \cdot \sin \alpha} \quad (5.38)$$

elde edilir.

5.3.1.2 Pozitif ivmalendirme durumu :

Sistem tekerleklerinin kuvvet bağıntısı

Ön tekerlekler :

İç tekerlek (1), Denkl. (5.17) den

$$f_{K1}^+ = \frac{A_{TO}/2}{G_1} = \frac{\frac{1-\phi}{2} \cdot \omega^+}{\left[\frac{1}{2} \lambda_8^+ - (1-\psi) C_g \cdot T_2^+ \right] + \left[\frac{1}{2} \lambda_9^+ - (1-\psi) C_g \cdot \sin \alpha \right] \omega^+} \quad (5.39)$$

Dış tekerlek (2), Denkl. (5.18) den

$$f_{K2}^+ = \frac{A_{TO}/2}{G_2} = \frac{\frac{1-\phi}{2} \cdot \omega^+}{\left[\frac{1}{2} \lambda_8^+ + (1-\psi) C_g \cdot T_2^+ \right] + \left[\frac{1}{2} \lambda_9^+ + (1-\psi) C_g \cdot \sin \alpha \right] \omega^+} \quad (5.40)$$

Arka tekerlekler :

İç tekerlek (4), Denkl. (5.19) dan

$$f_{K4}^+ = \frac{A_{TA}/2}{G_4} = \frac{\frac{\phi}{2} \cdot \omega}{\left(\frac{1}{2} \lambda_6^+ - \psi \cdot C_A \cdot T_2^+ \right) + \left(\frac{1}{2} \lambda_7^+ - \psi \cdot C_A \cdot \sin \alpha \right) \omega^+} \quad (5.41)$$

Dış tekerlek (3), Denkl. (5.20) den

$$f_{K3}^+ = \frac{A_{TA}/2}{G_3} = \frac{\frac{\phi}{2} \cdot \omega}{\left(\frac{1}{2} \lambda_6^+ + \psi \cdot C_A \cdot T_2^+ \right) + \left(\frac{1}{2} \lambda_7^+ + \psi \cdot C_A \cdot \sin \alpha \right) \omega^+} \quad (5.42)$$

Aderans değerlerinden faydalanma büyüklükleri :

Denkl. (5.21) den

İç tekerlek (1)

$$(a/f_K^+)_1 = \frac{\frac{1}{2} \lambda_8^+ - (1-\psi) C_g \cdot T_2^+}{\frac{1-\phi}{2} - f \left[\frac{1}{2} \lambda_9^+ - (1-\psi) C_g \cdot \sin \alpha \right]} \quad (5.43)$$

Denkl. (5.22) den

Dış tekerlek (2)

$$(a/f_K)_2^+ = \frac{\frac{1}{2} \lambda_8^+ + (1-\psi) C_o \cdot T_2^+}{\frac{1-\phi}{2} - f \left[\frac{1}{2} \lambda_g^+ + (1-\psi) C_o \cdot \sin \alpha \right]} \quad (5.44)$$

Denkl. (5.23) den

İç tekerlek (4)

$$(a/f_K)_4^+ = \frac{\frac{1}{2} \lambda_6^+ - \psi \cdot C_A \cdot T_2^+}{\frac{\phi}{2} - f \left(\frac{1}{2} \lambda_7^+ - \psi \cdot C_A \cdot \sin \alpha \right)} \quad (5.45)$$

Denkl. (5.24) ten

Dış tekerlek (3)

$$(a/f_K)_3^+ = \frac{\frac{1}{2} \lambda_6^+ + \psi \cdot C_A \cdot T_2^+}{\frac{\phi}{2} - f \left(\frac{1}{2} \lambda_7^+ + \psi \cdot C_A \cdot \sin \alpha \right)} \quad (5.46)$$

elde edilir.

Hareket esnasında sistemin yörüngesinden sapmasının önlenmesi için ($f=0$ halinde), arka iç tekerleğin $(a/f)_{Ai}$ yeteri derecede büyük olması gereklidir.

Denkl. (5.25) ten

$$(a/f_K)_4^+ = \frac{\frac{1}{2} \lambda_6^+ + \psi \cdot C_A \cdot T_2^+}{\frac{\phi}{2}} \quad (5.47)$$

Arka tekerleklerin bloke olmaması için ulaşılabilecek en büyük tahrik değeri, Denkl. (5.26 ve 5.43) ten

$$a_{\max}^+ = \frac{\frac{1}{2} \lambda_8^+ - (1-\psi) C_o \cdot T_2^+}{\frac{1-\phi}{2} - \left[\frac{1}{2} \lambda_g^+ - (1-\psi) C_o \cdot \sin \alpha \right]} \quad (5.48)$$

İdeal durumda tihrik değeri (2.tekerlek),

Denkl. (5.27 ve 5.40) tan

$$a_i^+ = \frac{\frac{1-\phi}{2} - \left[\frac{1}{2} \lambda_8^+ + (1-\psi) C_o \cdot T_2^+ \right]}{\left[\frac{1}{2} \lambda_g^+ + (1-\psi) C_o \cdot \sin \alpha \right]} \quad (5.49)$$

elde edilir.

5.3.2 Hareket yüzeyinin $\gamma \neq 0$, $\delta = 0$ olması durumunda ideal kuvvet dağılımı

Bu durum kütlenin eğik bir yüzeydeki hareketini belirlemektedir. Bu hareket esnasındaki durum denklemlerini bulmak için daha önce elde edilen denklemlerde $\delta = 0$ alınması yeterlidir.

5.3.2.1 Negatif ivmeleme durumu

Denkl. (5.4) ve (5.5) ten

Ön tekerleklerin kuvvet bağıntısı :

$$(f_K)_O = \frac{(1-\phi)a}{(1-\psi)\cos\gamma - (a + \sin\gamma - w_{Tx})\chi + a \cdot i_t/L} \quad (5.50)$$

İşaretler :

Hareketin eğik yüzeyde yukarı doğru olması halinde $-\chi \cdot \sin\gamma$
 Hareketin eğik yüzeyde aşağı doğru olması halinde $+\chi \cdot \sin\gamma$
 alınması lazımdır.

Denkl. (5.6 - 5.7) den

Arka tekerleklerin kuvvet bağıntısı :

$$(f_K)_A = \frac{\phi \cdot a}{\psi \cdot \cos\gamma - (a + \sin\gamma - w_{Tx})\chi - a \cdot i_t/L} \quad (5.51)$$

İşaretler :

Hareketin eğik yüzeyde yukarı doğru olması halinde $+\chi \cdot \sin\gamma$
 Hareketin eğik yüzeyde aşağı doğru olması halinde $-\chi \cdot \sin\gamma$
 alınması lazımdır.

Denkl. (5.8 - 5.9 ve 5.50) den

Ön tekerleklerin aderans değerinden faydalananma büyüklüğü :

$$(a/f_K)_O = \frac{(1-\psi)\cos\gamma \mp (\sin\gamma \mp w_{Tx})}{(1-\phi) - f(\chi + i_t/L)} \quad (5.52)$$

İşaretler :

Hareketin eğik yüzeyde yukarı doğru olmasa halinde $-\chi \cdot \sin\gamma$
 Hareketin eğik yüzeyde aşağı doğru olmasa halinde $+\chi \cdot \sin\gamma$
 ve her iki hareket durumu için $-w_{Tx} \cdot \chi$
 alınmalıdır.

Denkl. (5.10 - 5.11) dan

Arka tekerleklerin aderans değerinden faydalananma büyükluğu:

$$(a/f_K)_A = \frac{\psi \cdot \cos \gamma \mp \chi (\sin \gamma \mp w_{Tx})}{\phi + f (\chi + i_t/L)} \quad (5.53)$$

Denkl. (5.13) ten

Ulaşılabilecek en büyük frenleme değeri

$$a_{max} = \frac{\psi \cdot \cos \gamma \mp (\sin \gamma \mp w_{Tx})}{\phi + (\chi + i_t/L)} \quad (5.54)$$

Denkl. (5.14) ten

İdeal frenleme değeri

$$a_i = \frac{\psi \cdot \cos \gamma \mp \chi (\sin \gamma \mp w_{Tx}) - \phi}{\chi + i_t/L} \quad (5.55)$$

elde edilir.

Denkl. (5.53 - 5.54 ve 5.55) in işaretleri

Hareketin eğik yüzeyde yukarı doğru olması halinde $+ \chi \cdot \sin \gamma$
 Hareketin eğik yüzeyde aşağı doğru olması halinde $- \chi \cdot \sin \gamma$
 ve heriki hareket için ise $+ w_{Tx}$
 alınmalıdır.

5.3.2.2 Pozitif ivmelendirme durumu

Denkl. (5.17 ve 5.18) den

Ön tekerleklerin kuvvet bağıntısı :

$$(f_K)_O = \frac{(1-\phi) \cdot a^+}{(1-\psi) \cos \gamma - (a^+ \mp \sin \gamma \pm w_{Tx}) \chi - a^+ \cdot i_t/L} \quad (5.56)$$

Denkl. (5.19) ve (5.20) den

Arka tekerleklerin kuvvet bağıntı katsayıısı :

$$(f_K)_A = \frac{\phi \cdot a^+}{\psi \cdot \cos \gamma + (a^+ \mp \sin \gamma \pm w_{Tx}) \chi + a^+ \cdot i_t/L} \quad (5.57)$$

Denkl. (5.21) ve (5.22) den

Ön tekerleklerin aderans değerinden faydalananma büyükluğu :

$$(a/f_K)_O^+ = \frac{(1-\psi) \cos \gamma \mp (\sin \gamma \pm w_{Tx}) \chi}{(1-\phi) + f (\chi + i_t/L)} \quad (5.58)$$

Denkl. (5.23) ve (5.24) ten

Arka tekerleklerin aderans değerinden faydalananma büyüğü:

$$(a/f_K)_A = \frac{\psi \cdot \cos \delta + (\sin \delta + w_{Tx}) \chi}{\phi - f(\chi + i_{t/L})} \quad (5.59)$$

Denkl. (5.26) ve (5.58) de $f=1$ alınarak ön tekerleklerde ulaşılacak en büyük tahrik değeri :

$$a_{max}^+ = \frac{\psi \cdot \cos \delta + \chi (\sin \delta + w_{Tx})}{\phi + (\chi + i_{t/L})} \quad (5.60)$$

Denkl. (5.27) den $a^+ = f$; $(a/f_K)_O = (a/f_K)_A = 1$ alınarak elde edilen ideal tahrik değeri :

$$a_i^+ = \frac{\phi - [\psi \cdot \cos \delta + (\sin \delta + w_{Tx})]}{\chi + i_{t/L}} \quad (5.61)$$

değeri elde edilir.

İşaretler :

5.3.2.1. paragrafta verilen işaretler burada da aynı geçerlidir.

5.3.3 Hareket yüzeyinin $\gamma=0$, $\delta=0$ olması durumunda ideal kuvvet dağılımı :

Kütlenin düz bir yüzeydeki hareketi esnasındaki durumunu belirten denklem, Denkl. (5.50 - 5.61) $\delta=0$ alınarak elde edilebilir. Aynı neticeye, Denkl. (2.69) (2.72) $\gamma=0$ ve $\delta=0$ alınmak suretiyle de ulaşılabilir.

5.3.3.1 Negatif ivmeleme :

Denkl. (5.50) den

$$(f_K)_O = \frac{(1-\phi) a}{(1-\psi) + (a - w_{Tx}) \chi + a \cdot i_{t/L}} \quad (5.62)$$

Denkl. (5.51) den

$$(f_K)_A = \frac{\phi \cdot a}{\psi - (a - w_{Tx}) \chi - a \cdot i_{t/L}} \quad (5.63)$$

Denkl. (5.52) den

$$(a/f_K)_0 = \frac{(1-\psi) + \chi \cdot w_{Tx}}{(1-\phi) - f(\chi + i_{t/L})} \quad (5.64)$$

Denkl. (5.53) den

$$(a/f_K)_A = \frac{\psi + \chi \cdot w_{Tx}}{\phi + f(\chi + i_{t/L})} \quad (5.65)$$

Denkl. (5.54) ten

$$a_{max} = \frac{\psi + \chi \cdot w_{Tx}}{\phi + (\chi + i_{t/L})} \quad (5.66)$$

Denkl. (5.55) ten

$$a_i = \frac{\psi + \chi \cdot w_{Tx} - \phi}{\chi + i_{t/L}} \quad (5.67)$$

değerleri elde edilir.

5.3.3.2. Pozitif ivmelendirme :

Denkl. (5.56) dan

$$(f_K)_0 = \frac{(1-\phi) a^+}{(1-\psi) - (a^+ + w_{Tx}) \chi - a^+ \cdot i_{t/L}} \quad (5.68)$$

Denkl. (5.57) den

$$(f_K)_A = \frac{\phi \cdot a^+}{\psi + (a^+ + w_{Tx}) \chi + a^+ \cdot i_{t/L}} \quad (5.69)$$

Denkl. (5.58) den

$$(a/f_K)_0 = \frac{(1-\psi) + \chi \cdot w_{Tx}}{(1-\phi) + f(\chi + i_{t/L})} \quad (5.70)$$

Denkl. (5.59) dan

$$(a/f_K)_A = \frac{\psi + \chi \cdot w_{Tx}}{\phi - f(\chi + i_{t/L})} \quad (5.71)$$

Denkl. (5.60) (5.70) den

$$a_{max}^+ = \frac{\psi + \chi \cdot w_{Tx}}{\phi + (\chi + i_{t/L})} \quad (5.72)$$

Denkl. (5.61) den

$$a_i^+ = \frac{\phi - (\psi + \chi \cdot w_{Tx})}{\chi + i_{t/L}} \quad (5.73)$$

Buraya kadar bir model üzerinde yapılan çalışmalar ile eğri bir hareket yüzeyi üzerinde ivmelendirilen aracın tekerlekleri ile yol arasında meydana gelen kuvvet bağıntıları, aracın hareket ettiği yol durumunda ulaşabileceği max frenleme veya max tahrik değerleri ve aracın aynı yolda emniyetle hareket edebilmesi için hareket yüzeyinin sınır açılarının değerleri hesaplanmıştır.
Bundan sonraki kısımda, elde edilen neticeler seri halde imâl edilen bir araca, kabul edilen yol konumları için, uygulanacaktır.

6- Neticelerin bir araç üzerindeki uygulaması :

Uygulamanın yapılacağı aracın teknik değerleri şöyledir :

$$\begin{aligned} G &= 3225 \text{ Kg} \\ R_{\text{din}} &= 328 \text{ mm} \\ L &= 2,500 \text{ mm} \end{aligned}$$

$$\begin{aligned} \psi &= 0,575 \\ \chi &= 0,38 \\ \phi &= 0,31 \\ a_M &= 0,2 \end{aligned}$$

Aracın ve hareket edeceği yüzeyin konumu :

$$\alpha = 10^\circ, \gamma = 6^\circ, \delta = 6^\circ$$

olarak kabul edilmiştir.

Kabul edilen aracın, düşünülen hareket yüzeyi üzerindeki hareket esnasında, tekerlekleri ile yol arasında, ivmelen dirilmenin neticesi olarak meydana gelen dinamik yük değişiminin doğurduğu kuvvet bağıntı katsayıları ve aderans değerinden faydalananma büyülüklükleri $f_K = f(a)$ ve $f_{K'} = f(a/f)$

diyagramları ile ifade edilmiştir. Diyagramlarda $a = f$ doğrusu, ideal doğru olarak isimlendirilmiş ve tekerleklerin kuvvet bağıntı katsayı eğrilerinin bu doğruya kestikleri noktalar, ideal noktalar olarak isimlendirilmiştir. Aynı diyagramlar üzerinde aracın hareket etmeyeceği olduğu yol üzerinde ulaşabileceği max. frenleme ve tahrik değerleri de gösterilmiştir.

6.1 Eğri yol üzerindeki hareket ($\gamma \neq 0, \delta \neq 0$) durumu :

6.1.1 Negatif ivmelendirme :

Diyagram 1

Bu diyagram ile azalan eğimli eğri bir yolda hareket eden aracın durumu belirlenmiştir.

Bu diyagramdan görüleceği gibi $a = 0,6$ (%60 lik bir frenleme) değerinde arka tekerleklerde $f_{K3} = 0,96$ ve $f_{K4} = 0,715$ değerlerinde kuvvet bağıntıları meydana gelmektedir.

Bu daha açık olarak şu şekilde ifade edilebilir, verilen bir hareket yüzeyinde arka tekerleklerin bloke olmadan %60 lik bir frenlemeye ulaşabilmeleri için $f_{K3} = 0,96$ ve $f_{K4} = 0,715$ lik kuvvet bağıntılarının gerçekleşmesi gerekmektedir.

Aksi takdir de, $a = 44,4$ lük bir frenleme değerinin üstündeki frenlemelerde evvela aracın arkadaki üçüncü ve sonra dördüncü tekerlegi bloke olurlar.

Kötü kuvvet bağıntı katsayılarında, mesela $f_K = 0,3$ ile sadece aracın ön aksındaki birinci tekerlek ile $a_1 = 24$ ve ikinci tekerlek ile $a_2 = 27$ lik bir frenleme elde etmek mümkündür.

Diyagramı diğer bir şekilde mütalâa etmek daha doğru olur. Araba sürücüsünün fren yaptığı anda, aracın

hareket ettiği yolun tekerlek / yol arasındaki aderans değeri ile ne kadar bir frenleme elde edeceğidir. Diyagramda verilen kuvvet bağıntı katsayıları yolun aderans değerlerine esdeğer kabül edilebilir.

Mesela, kuru bür buz tabakası ile kaplı bir yolda $f = 0,2$ ile sadece ön akstaki birinci tekerlek ile $a_1 = \%14$ ve ikinci tekerlek ile $a_2 = \%17$ frenleme elde edilebilir, bu ise sadece $b = 1,37 / 1,67 \text{ m/s}^2$ lik bir ivme verir. Bu durumda arabanın daha kuvvetli olarak frenlenmesi, evvelâ öneki birinci ve biraz sonradı ikinci tekerleğin bloke olmasına sebep olur. Buna karşılık beton yol ($f = 0,85$) daha yüksek frenleme değerine; arka akstaki üçüncü tekerlek ile $a_3 = \%57$ ve dördüncü tekerlek ile $a_4 = \%65$ ve $b = 5,6 / 6,38 \text{ m/s}^2$ lik bir ivmeye müsaade etmektedir.

Bu diyagram ile varılacak neticede esas iki nokta ile ifade edilebilir :

1. Yol ile tekerlekler arasındaki aderans değerinin (f) ve varılabilen frenlemenin (a) veya negatif ivme (b) değerinin,
2. Hakikatte, dinamik yük değişimi sebebiyle her tekerlekteki kuvvet bağıntı katsayısının eşit olmasının kötü havada (kötü aderans değerlerinde) ön akstaki tekerleklerin (evvelâ birinci ve sonra ikinci tekerlek), iyi havada arka akstaki tekerleklerin (evvelâ üçüncü ve sonra dördüncü tekerlek) kaymasının veya bloke olmasının kolayca bulunabilmesi.

Tekerleklerin ideal noktanın altındaki frenleme değerlerinde, artan a - değeri ile yolun aderans değerinden faydalananma büyülüüğü artmaktadır ve ideal noktada bir'e eşit olmaktadır. Ideal noktanın üstündeki (yani büyük aderans değerine haiz yollarda) değerlerde artan frenleme değeri ile yolun aderans değerinden faydalananma büyülüüğü de azalan bir durum arzetmektedir.

Diyagram 1, in elde edilmesi için Denkl. (6.4 ilâ 6.11)

ideal frenleme $a_1 = \%44$ Denkl. (6.14)

Ulaşılabilecek maks frenleme $a_{\max} = \%61$, Denkl. (6.13)

kullanılmıştır.

Diyagram 2 :

Bu diyagram ile artan eğimli bir yolda hareket eden aracın durumu belirlenmiştir.

Yolun konumu sebebiyle, diyagramdan görülebileceği gibi ideal nokta daha yüksek bir frenleme değerinde $a_1 = \%56,5$ meydana gelmektedir.

Ön tekerleklerin bloke olması 0,565 aderans değerine kadar devam etmektedir. Ancak bu ideal noktanın üstündeki aderans değerlerinde arka tekerleklerin bloke olma durumu meydana gelmektedir. Aynı zamanda ideal noktanın altında

aracın önündeki birinci ve ikinci tekerleğin, yolun aderans değerinden faydalama büyülüklüğü, birinci diyagramda verilen duruma nazaran daha küçük ve ideal noktanın üzerinde ise aracın üçüncü ve dördüncü tekerleklerinin (a/f) değerleri ise daha yüksek bir değer arzetmektedirler. Diyagram 2'nin elde edilmesinde Denkl. (6.4 ile 6.11) ideal frenleme $a_i = 56,5/60,4$; Denkl. (6.14)

$$\text{Max frenleme } a_{\max} = 72,5 ; \text{ Denkl. (6.13)}$$

istifade edilmiştir.

6.1.2 Pozitif ivmelendirme :

Diyağram 3 :

Bu diyagram ile azalan eğimli eğri bir yolda hareket eden aracın pozitif ivmelendirilmesi durumu belirlenmiştir. Bu diyagramdan görülebileceği gibi $a^+ = 50$ ivmelendirme değerinin (tahrik değerinin) altında aracın birinci ve dördüncü, bu değerin üstündeki durumlarda ise aracın birinci ve ikinci tekerlekleri bloke olma tehlikesi arzetmektedir. Bilhassa birinci tekerlek ideal doğrudan tamamen sapmış bulunmaktadır. Bu sebeple, birinci tekerleğin yükünün oldukça azalmış olması yüzünden, yüksek kuvvet bağıntısı (f_k) değerlerine rağmen oldukça düşük bir ivmelendirme (a^+) değerine ihtiyaç bulunmaktadır. Birinci tekerlek ile beton yolda ($f=0,85$) elde edilebilecek ivmelendirme değeri $a^+ = 30$ ve $b_{\max} = 2,94 \text{ m/s}^2$ bir ivme olabilmektedir.

Birinci tekerleğin yolun aderans değerinden faydalama büyülüklüğü oldukça düşüktür.

Diyağram 3 elde edilmesi için Denkl. (6.17 ile 6.24)

$$\text{Ideal ivmelendirme } a_i^+ = 50 / 67 , \text{ Denkl. (6.27)}$$

$$\text{max tahrik değeri } a_i^+ \% 31 , \text{ Denkl. (6.26)}$$

kullanılmıştır.

Diyağram 4 :

Artan eğimli eğri bir yolda hareket eden aracın durumu belirlenmiştir.

Aracın hareketi esnasında bilhassa $a = 71$ altındaki ivmelendirme değerinin altında, birinci ve dördüncü bu değerin üstündeki durumlarda ise birinci ve ikinci tekerlekleri bloke olma durumu arzetmektedirler. Birinci tekerlek, diyagram 3 te olduğu gibi, ideal doğrudan tamamen sapmış olmakla beraber, yolun konumu sebebiyle diyagram 3 ile belirtilen hareket durumundan daha uygun bir təndenz göstermektedir. Bütün tekerleklerin kuvvet bağıntı katsayı eğrileri diyagram 3 ile verilen duruma nazaran ideal doğruya daha fazla yaklaşmış bir durum arzetmektedirler. Beton yolda ($f=0,85$) birinci tekerlek ile, $a_1 = 40$ $b = 3,92 \text{ m/s}^2$ lik bir ivmeye müsaade edilmektedir.

Birinci ve ikinci tekerleğin (a/f) değerleri, diyagram 3 teki değerlere nazaran artmıştır,

Diyagram 4 ün elde edilebilmesi için Denkl. (6.17 ile 6.24) max tahrîk değeri $a_{\max}^+ = \%42,3$; Denkl. (6.26) ve Birinci tekerleğin f_K^+ eğrisi ideal doğruya $a_i^+ = \%15$

İkinci tekerleğin f_K^+ eğrisi ideal doğruya $a_i^+ = \%62,5$

Üçüncü tekerleğin f_K^+ eğrisi ideal doğruya $a_i^+ = \%9$

Dördüncü tekerleğin f_K^+ eğrisi ideal doğruya $a_i^+ = \%85$ noktalarında kesmektedir, Denkl. (6.27)

6.2 Eğri yoldaki hareket ($\gamma = 0$, $\delta \neq 0$) durumu :

6.2.1 Negatif ivmelendirme :

Diyagram 5 :

Bu diyagram ile eğri ve yükseltilmiş fakat eğimi olmayan bir yoldaki hareketi esnasında negatif ivmelendirilen bir aracın durumu belirlenmiştir. $a = \%50$ ivmelendirme degerinin altında aracın birinci ve ikinci, bu değerin üstündeki durumlarda ise aracın üçüncü ve dördüncü tekerlekleri bloke olma tehlikesi arzetmektedirler.

Beton yolda ($f = 0,85$), üçüncü tekerlek ile $a = \%60$, $b = 5,9 \text{ m/s}^2$ lik bir ivmeye müsaade edilmektedir.

Diyagram 5'in elde edilebilmesi için Denkl. (6.28 - 6.35)

max frenleme değeri $a_{\max}^- = \%63,5$; Denkl. (6.37)

Birinci tekerleğin (f_K^-) eğrisi ideal doğruya $a_i^+ = \%53$

İkinci tekerleğin (f_K^-) eğrisi ideal doğruya $a_i^+ = \%48,6$

Üçüncü tekerleğin (f_K^-) eğrisi ideal doğruya $a_i^+ = \%47,7$

Dördüncü tekerleğin (f_K^-) eğrisi ideal doğruya $a_i^+ = \%39,2$

kesmektedir, Denkl. (6.38)

6.2.2 Pozitif ivmelendirme :

Diyagram 6 :

Bu diyagram ile eğri ve yükseltilmiş fakat eğimi olmayan bir yolda hareketi esnasında pozitif ivmelendirilen bir aracın durumu belirlenmiştir.

$a = \%57,5$ ivmelendirme değerinin altında aracın birinci ve dördüncü, bu değerin üstündeki durumlarda ise aracın birinci, ikinci ve dördüncü tekerlekleri ve $a^+ = \%85$ değerinin üstünde ise yalnız birinci ve ikinci tekerlekler bloke olma tehlikesi arzetmektedirler. Birinci tekerleğin

kuvvet bağıntı eğrisi ideal doğrudan tamamen sapmış bulunmaktadır. Beton yolda ($f=0,85$), birinci tekerlek ile $a^+ = 32\%$ $b = 3,14 \text{ m/s}^2$ lik bir ivmeye müsaade edilmektedir. Birinci ve dördüncü tekerleklerin (a/f) değerleri oldukça düşük durum arzetmektedirler.

Diyagram 6'mın elde edilebilmesi için Denkl. (6.39 - 6.46)

max tahrik değeri $a_{\max}^+ = 37\%$, Denkl.(6.48) ve

birinci tekerleğin f_K eğrisi ideal doğruya $a_i^+ = 7\%$

ikinci tekerleğin f_K eğrisi ideal doğruya $a_i^+ = 57,5\%$

Üçüncü tekerleğin eğrisi ideal doğruya $a_i^+ = 5,7\%$

dördüncü tekerleğin eğrisi ideal doğruya $a_i^+ = 85\%$

noktalarında kesmektedirler, Denkl. (6.49)

6.3 Eğik ve düz bir yoldaki hareket ($\gamma \neq 0$, $\delta = 0$ ve $\delta = 0$, $\gamma = 0$) durumu :

6.3.1 Negatif ivmelendirme :

Diyagram 7 :

Bu diyagramda üç ayrı durum beraberce gösterilmiştir.

- aracın artan eğimli bir yoldaki hareketi
- aracın azalan eğimli bir yoldaki hareketi
- aracın düz bir yoldaki hareketi

Her üç durumda da belirli bir ideal noktaya kadar ön tekerlekler ve ideal noktanın üstündeki frenlemelerde ise arka tekerlekler bloke durumu arzetmektedirler.

$f = 0,2$ lik bir aderans değerine haiz bir yolda aracın meyilli bir yolda aşağı hareketinde $a_1 = 16\%$, düz bir yolda hareketinde $a_2 = 14\%$ ve meyilli bir yolda yukarı hareketinde $a_3 = 12\%$ bir frenleme elde edilir ve bu yol durumları ise aracın $b = 1,57 / 1,37 / 1,18 \text{ m/s}^2$ bir ivmeye ulaşmasını sağlarlar. Buna karşılık beton bir yol ($f=0,85$) ise aynı yol konumlarında daha yüksek frenleme değerlerine $a = 65\% / 70\% / 74,5\%$ ve $b = 6,38 / 6,87 / 7,3 \text{ m/s}^2$ ivme değerlerine müsaade etmektedir.

Diyagram 7'in elde edilmesi için Denkl. (6.50....6.53)
(6.62....6.65)

İdeal frenleme :

Aracın eğik yolda aşağı hareketinde $a_i^+ = 43,5\%$; Denkl.(6.55)

Aracın düz yoldaki aşağı hareketinde $a_i^+ = 52\%$; Denkl.(6.67)

Aracın eğik yolda yukarı hareketinde $a_i^+ = 60\%$; Denkl./6.55)

ulaşılabilecek max frenleme :

aracın eğik yolda aşağı hareketinde	$a_{max} = \%65$; Denkl.(6.54)
aracın düz yoldaki "	$a_{max} = \%70$; Denkl.(6.66)
aracın eğik yolda yukarı "	$a_{max} = \%74,5$; Denkl.(6.54)

6.3.2 pozitif ivmelendirme :

Diyagram 8 :

Bu diyagram ile aynen aracın diyagramı 7 ile verilen üç ayrı yol konumundaki durumları pozitif ivmelendirme durumları için gösterilmüştür. Bu diyagramın, diyagram 7 den olan en büyük ayricalığı ideal noktaların altında aracın pozitif ivmelendirilmesi sebebiyle arka tekerleklerin bloke olma durumu göstermesidir. Ideal noktaların üstündeki değerlerde ise ön tekerleklerin bloke oldukları görülmektedir. Diğer bir fark ta, meydana gelen ideal nokta değerlerinin negatif ivmelendirme durumundaki ideal değerlere nazaran çok daha düşük olmalarıdır.

$f = 0,2$ lik bir aderans değerine haiz bir yol aracın meyilli bir yolda aşağı doğru hareketinde $a_1^+ = \%17$, düz bir yoldaki hareketinde $a_2^+ = \%19$ ve meyilli bir yolda yukarı hareketinde $a_3^+ = \%20$ bir tahrik değerine ve aynı yol durumları ise aracın $b = 1,67 / 1,865 / 1,96 \text{ m/s}^2$ lik bir ivmeye ulaşmasına müsaade ederler. Buna karşılık beton bir yol ($f = 0,85$) ise aynı yol konumlarında daha yüksek tahrik değerlerine $a^+ = \%50 / \%47 / \%43$ ve $b = 4,9 / 4,6 / 42,2 \text{ m/s}^2$ ivme değerlerine müsaade etmektedir.

Diyagram 8'in elde edilmesi için Denkl. (6.56....6.59)

(6.68....6.71)

İdeal frenleme :

aracın eğik bir yolda aşağı hareketinde $a_i^- = \%15,3$ Denkl.(6.6)

aracın düz yoldaki " $a_i^- = \%22,5$ Denkl.(6.73)

aracın eğik bir yolda yukarı " $a_i^- = \%31$ Denkl.(6.61)

Ulaşılabilecek max frenleme :

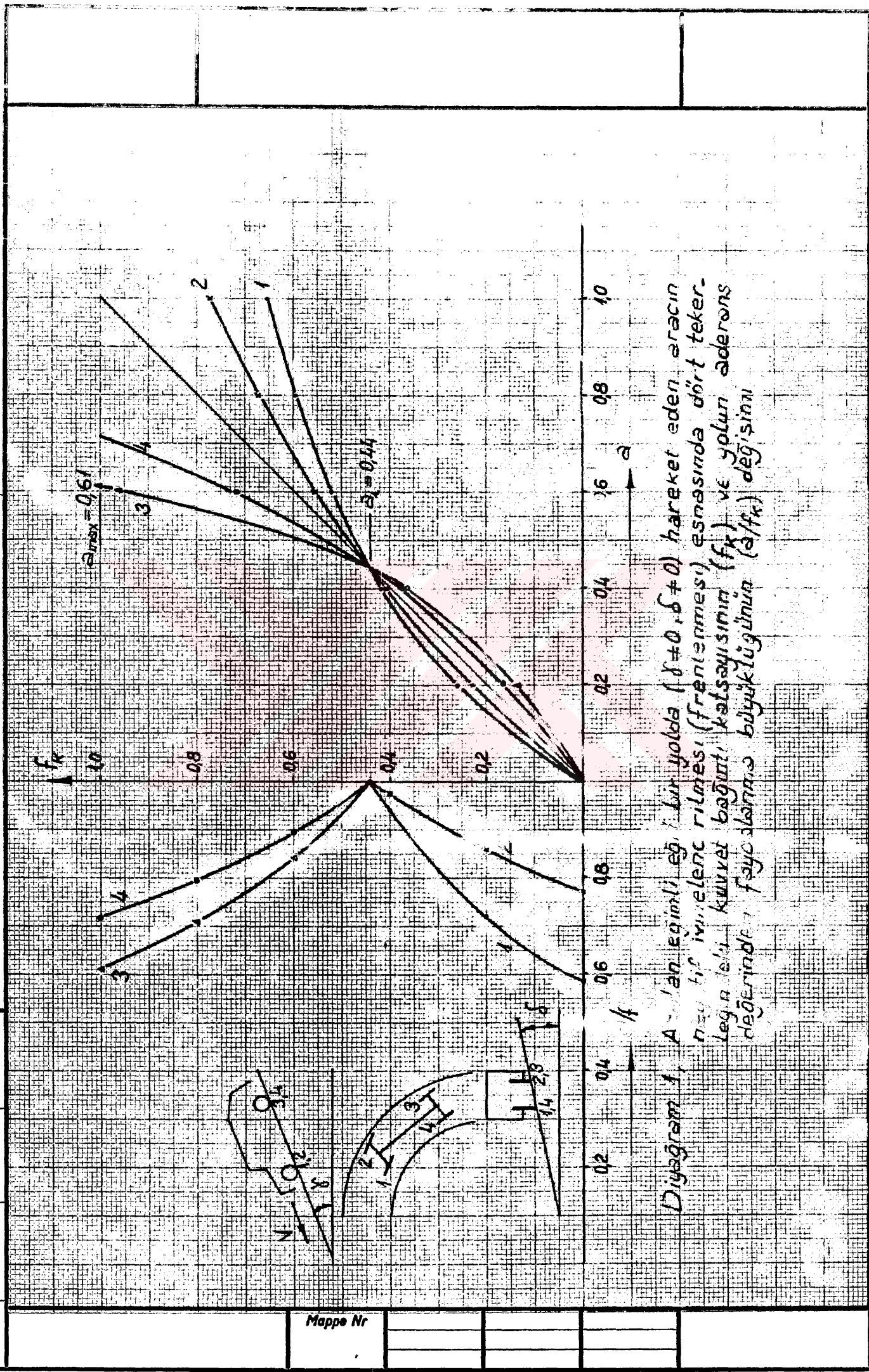
aracın eğik yolda aşağı hareketinde $a_{max} = \%51$, Denkl.(6.60)

aracın düz yoldaki " $a_{max} = \%48$, Denkl.(6.72)

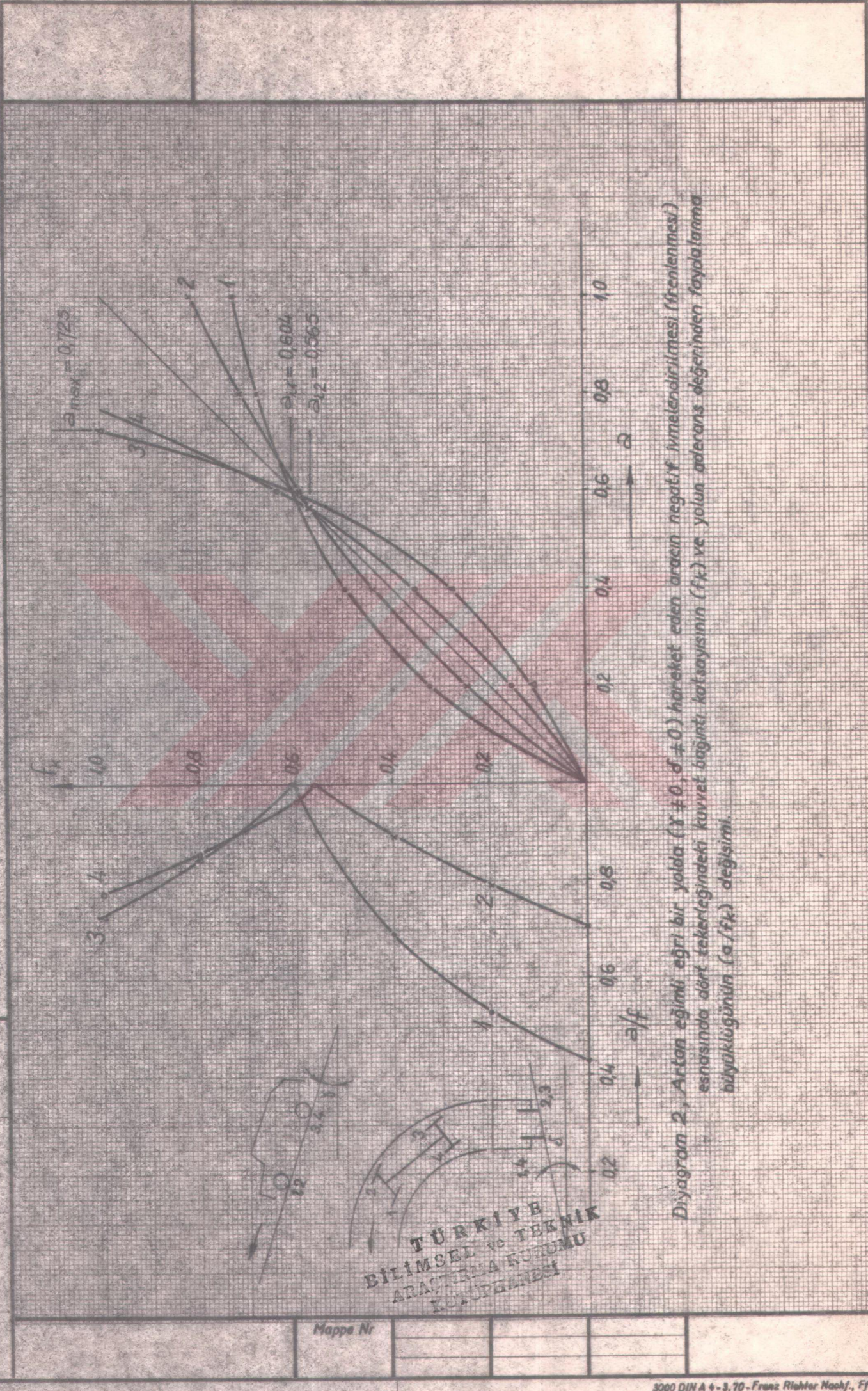
aracın eğik yolda yukarı hareketinde $a_{max} = \%44$, Denkl.(6.60)

Kabul edilen aracın teknik değerlerine göre gizilen sekiz diyaframdan elde edilen neticeler, bir tablo şeklinde bir araya getirilmiştir. Bu tabloda aracın , değişik yol konumlarında yolun aderans değerine ve ivme durumuna göre tekerleklerinin ulaşabilecegi frenleme, tahrik değerleri ile ideal-max frenleme ve tahrik değerleri (Tablo 1) Kuru buz tabakalı ($f=0,2$) ve beton yol ($f=0,85$) için gösterilmiştir.

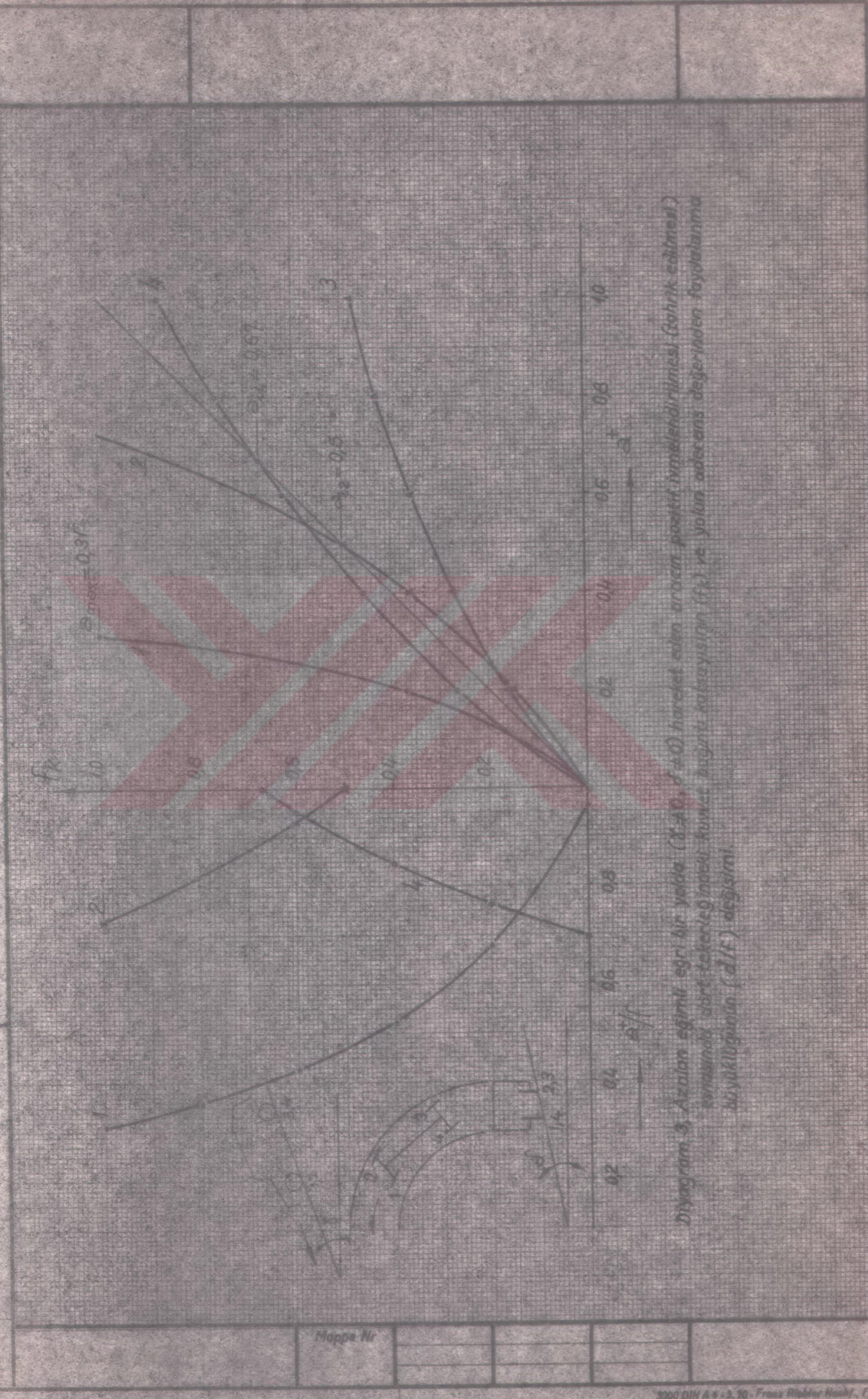
Datum	Bearbeitet	Geprüft	Gesehen



Datum	Bearbeiter	Geprägt	Geschenk
7B-25			



Datum	Bearbeiter	Gefüllt	Gelesen
16.2.5			



Datum	Bearbeitet	Geprüft	Gesehen
TB-25			

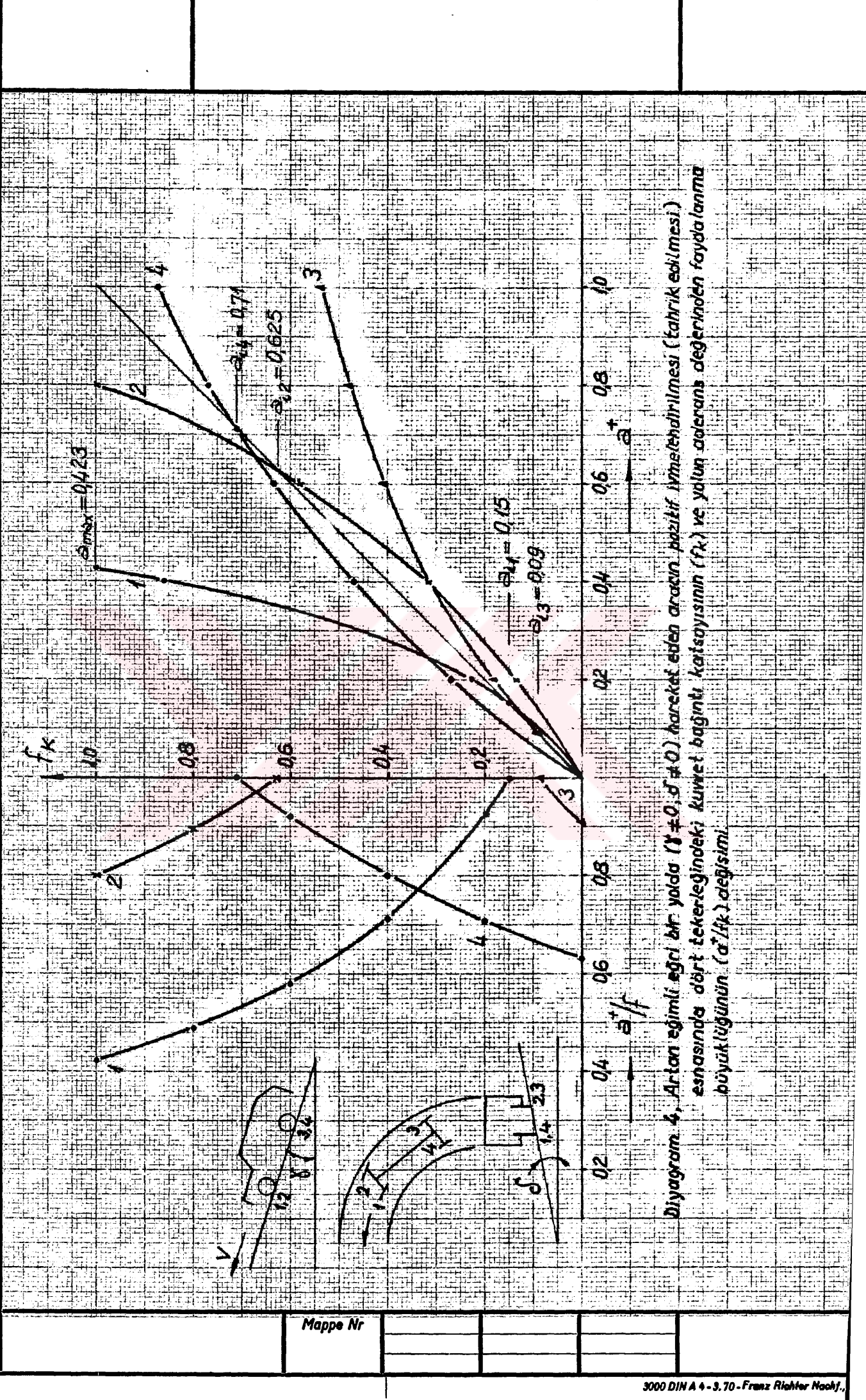
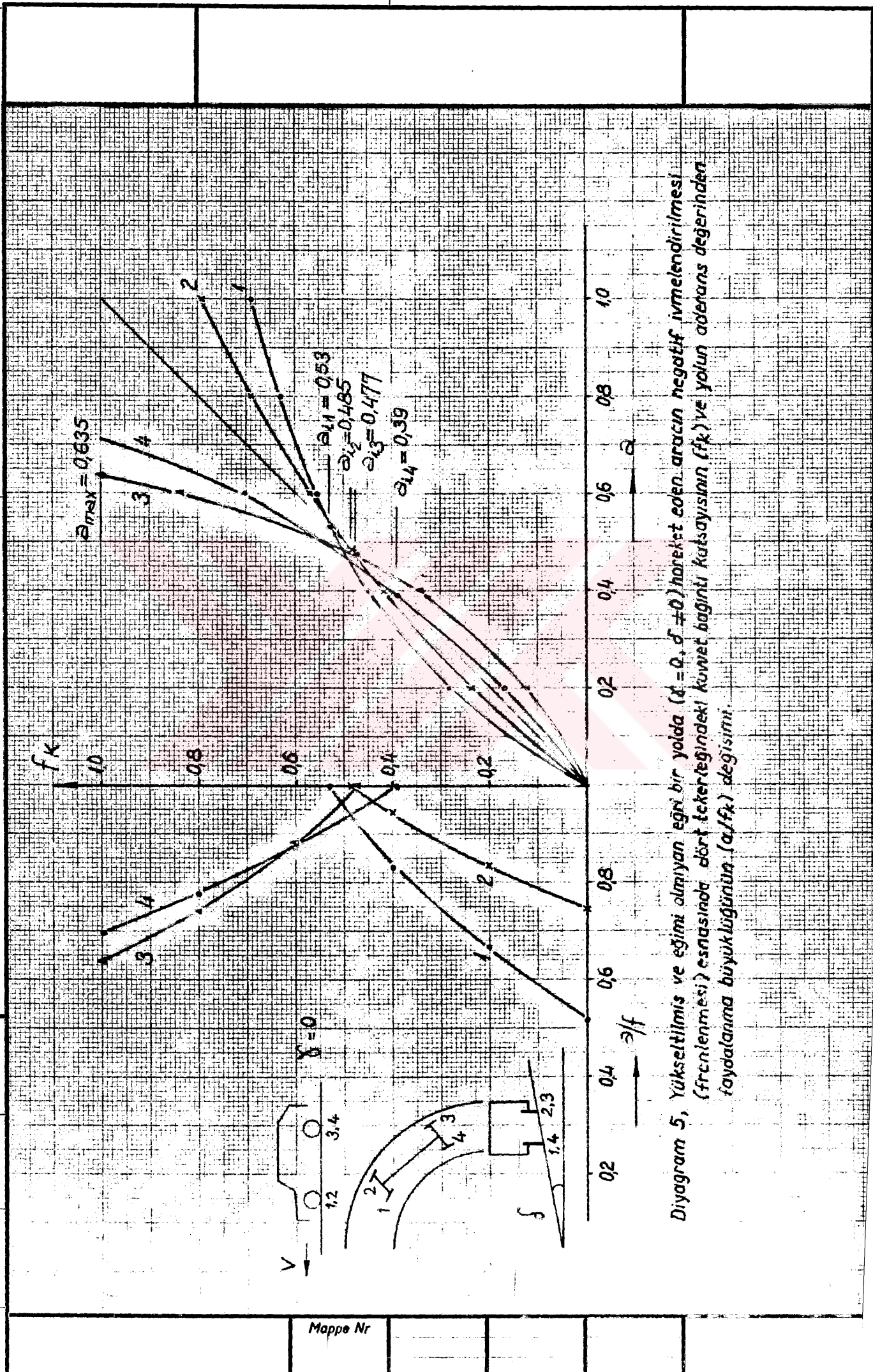


Diagramm 4: Arteren eğimli eğriler yada ($s_1 \neq 0,5 \neq 0$) harket eden aracın hızının hanelere bölünmesi (elastik edilmesi) esasında dört tekerlekindeki kumkut kavisının (r_k) ve yolun adırens değerindeki faydalama büyütüğünün (α/k) değişimini.

Datum	Bearbeitet	Geprüft	Geschen



Diyagram 5, Yükseltilmis ve eğimi olmayan egriler yolda ($\alpha = 0, \delta \neq 0$) hareket eden aracın negatif ivmeleendirilmesi (fremlenmesi) esnasında dört tekerlekdeki kuyruk bagajı katsayılarının (f_k) ve yolun adetans değerinden faydalanan büyükligiindir (α/f_k) degismi.

Datum	Bearbeitet	Geprüft	Geschenk

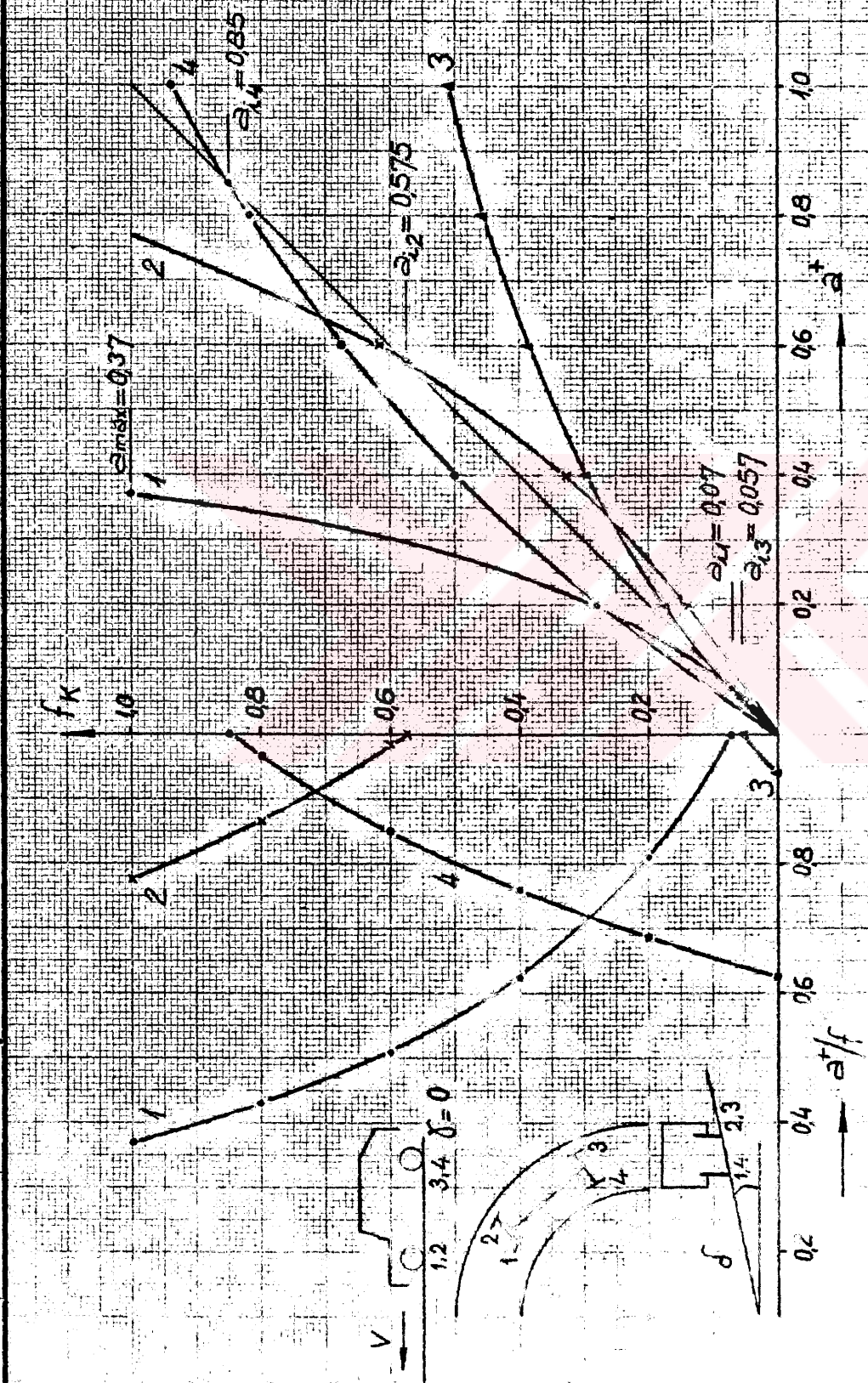
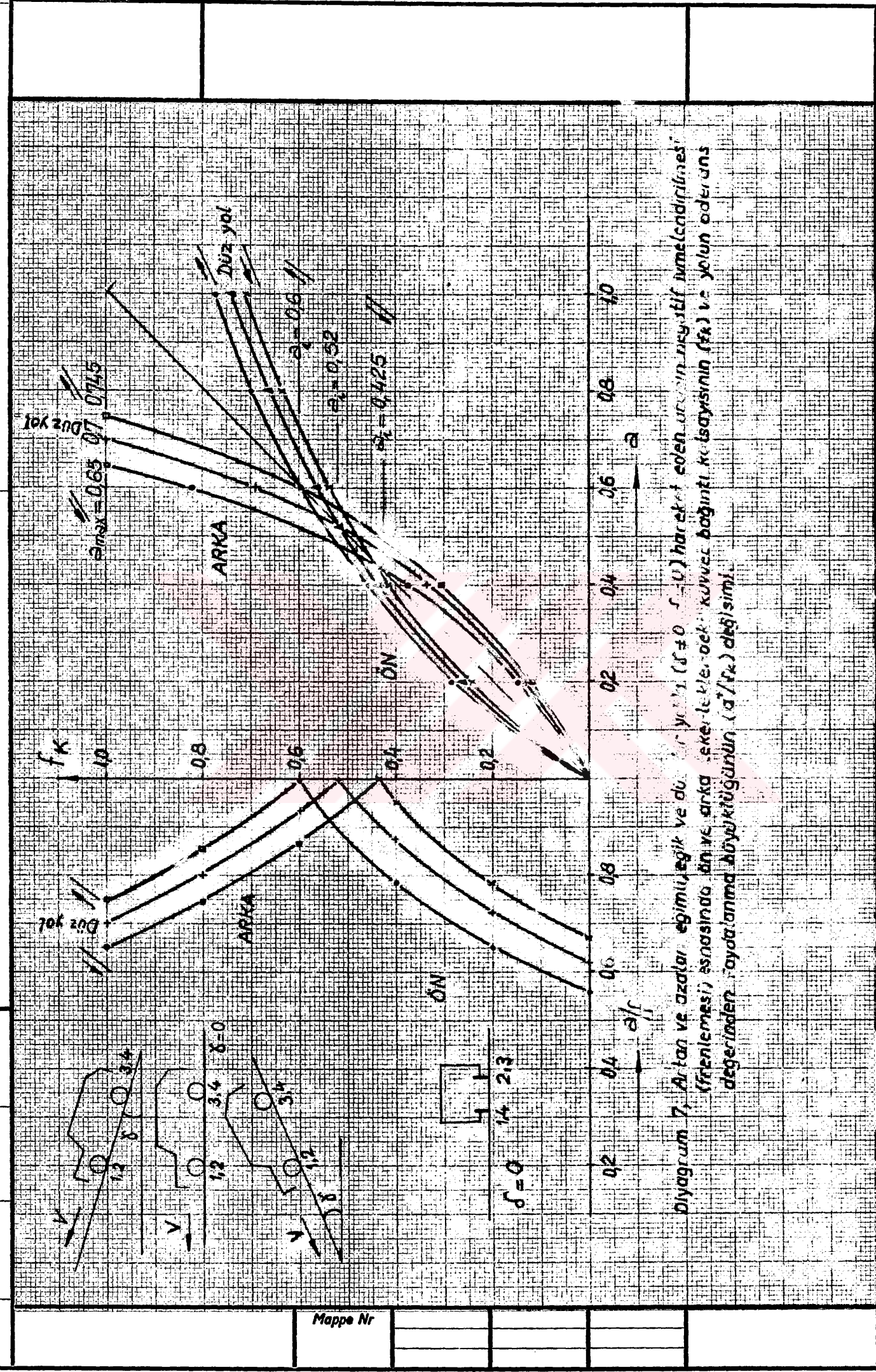


Diagram 6, Yükutilmiş ve jimi olmayan eğri bir yolda ($r=0, \delta \neq 0$) hareket eden aracın pozitif tımeleendirilmesi (darkik edilmesi), onasında dört tekerleğindeki kuvvet doğrultu katısayısının (f_k) ve yolun aderansı (eğerindeki δ/f , adanma büyüklüğünün (δ/f_k) değişimi).



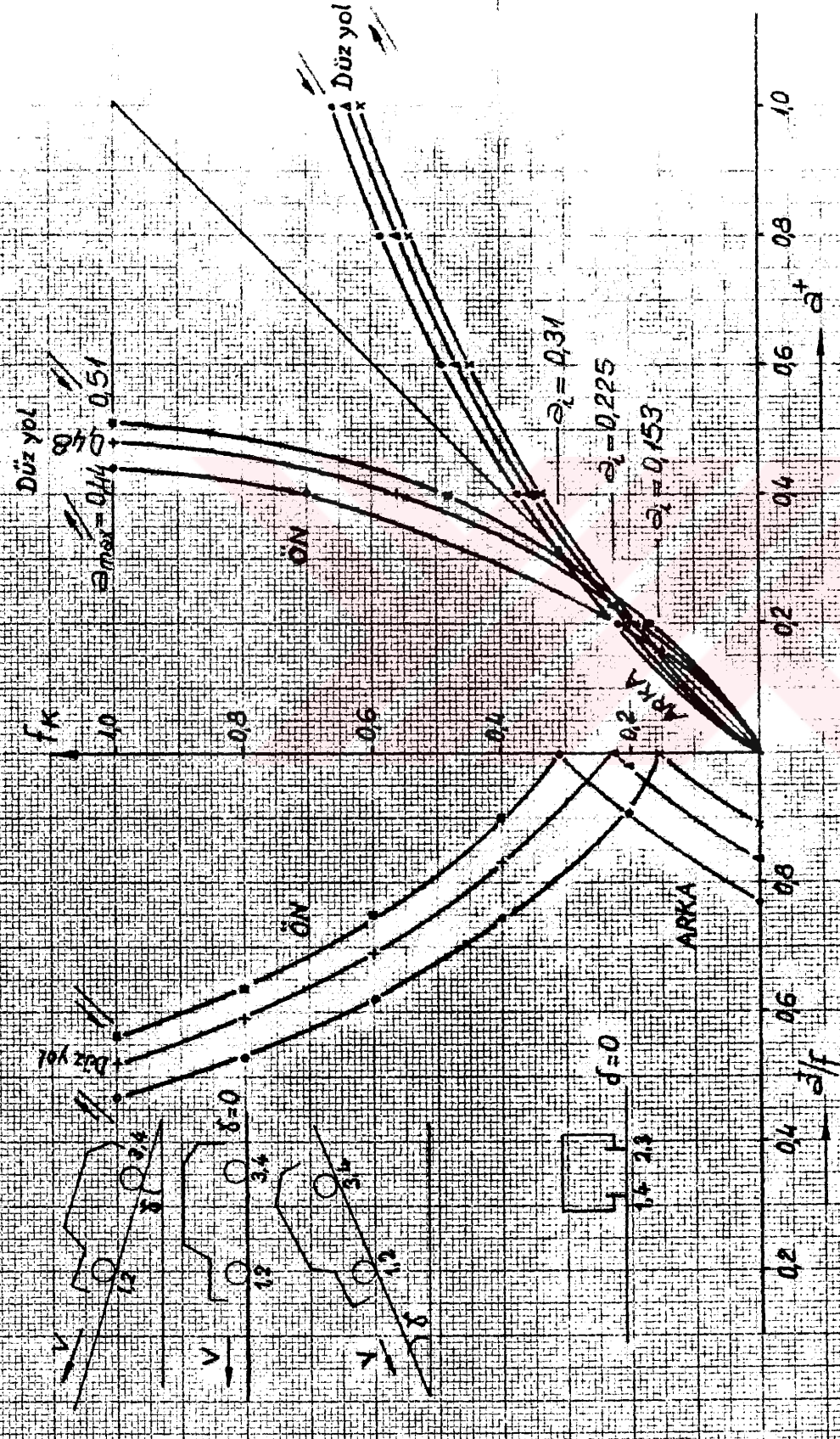


Diagram 8. Açılan ve azalan eğimli, eğik ve düz bir yolda ($\delta \neq 0$, $d=0$) hareket eden aracın pozitif ivmeleendirilmesi
1 (tekerlek esnekliği) esnasında ön ve arka tekerleklerdeki kuvvet bağıntı katısayısının (f_k) ve yolun döngü degerinden faydalanan bilyüklüğünün (d/f_k) değişimini

Tekterlekler	Kuru buz Tabakası		Beton Yol $f = 0,85$		İdeal frenleme ve tahrik değerleri		Max. frenleme ve tahrik değerleri		İdeal frenleme ve tahrik değerleri		Max. frenleme ve tahrik değerleri		Meyilli yüzyede hareket Diyagram No.
	$a [\%]$		$a [\%]$		$a_i [\%]$		$a_{\max} [\%]$		$a_i [\%]$		$a_{\max} [\%]$		
Hareket yüzyegin konumu	ÖN	ARKA	ÖN	ARKA	ÖN	ARKA	ÖN	ARKA	ÖN	ARKA	ÖN	ARKA	
	1	2	3	4	1	2	3	4	1	2	3	4	Durumu
$\delta \neq 0, \delta' \neq 0$	14	17			57	64	44		61		Negatif		1
	10	15			69	69	60	56	60	56	73		2
$\delta=0, \delta'=0$	13	15	30	66			50		67	31			3
			14	40	74		15	62	9	71	42		4
$\delta \neq 0, \delta'=0$	13	16			61	65	53	49	48	39	64	Negatif	5
	16		13	33	71		7	58	6	85	37	Pozitif	6
$\delta=0, \delta'=0$			16			61		44		65			7
			14			65		52		70	Negatif	Düz yol	
$\delta \neq 0, \delta'=0$			12			70		60		74,5		Hareket yüzyeri Eğik ve Düz	
			17		50			31		51			8
$\delta=0, \delta'=0$			19		47			23		48		Pozitif	Düz yol
			20		43			15		44			

TABLO 1

7. Sabitler :

7.1 Kütlenin negatif ivmelendirilmesi durumu :

$$\Lambda_1 = \frac{1}{r_m} \left[(a \pm w_T \pm \sin \gamma) r_M - \frac{m}{L} (r_O \cdot \sin \alpha_O + r_A \cdot \sin \alpha_A) \right]$$

$$\Lambda_2 = \phi \cdot \Lambda_1 \cdot \cos \alpha_A - \frac{\operatorname{tg} \alpha_A}{L} L_1$$

$$\Lambda_3 = - \frac{\operatorname{tg} \alpha_A}{L} L_2$$

$$\Lambda_4 = (1-\phi) \Lambda_1 \cdot \cos \alpha_O + \frac{\operatorname{tg} \alpha_O}{L} L_3$$

$$\Lambda_5 = \frac{\operatorname{tg} \alpha_O}{L} L_4$$

$$\Lambda_6 = \Psi (\cos \gamma \cdot \cos \delta + a_M \cdot \sin \delta) - \chi (k_{RM} \cdot \sin \alpha + w_T \cdot \cos \alpha)$$

$$\Lambda_7 = - \chi \cos \alpha - i_t / L$$

$$\Lambda_8 = (1-\Psi) (\cos \gamma \cdot \cos \delta + a_M \cdot \sin \delta) + \chi \cdot T_1$$

$$\Lambda_9 = \chi \cdot \cos \alpha + i_t / L$$

$$\Lambda_{10} = \mp \frac{\chi}{2} \cos \alpha$$

$$L_1 = \Psi (k_{RM} \cdot \cos \alpha - w_T \cdot \sin \alpha) - \phi \cdot \Lambda_1 \cdot \sin \alpha_A - m / L =$$

$$= \Psi \cdot T_2 - \phi \cdot \Lambda_1 \cdot \sin \alpha_A - m / L$$

$$L_2 = - \Psi \cdot \sin \alpha$$

$$L_3 = (1-\Psi) (k_{RM} \cdot \cos \alpha - w_T \cdot \sin \alpha) + (1-\phi) \Lambda_1 \cdot \sin \alpha_O + m / L =$$

$$= (1-\Psi) T_2 + (1-\phi) \Lambda_1 \cdot \sin \alpha_O + m / L$$

$$L_4 = -(1-\Psi) \sin \alpha$$

$$L_5 = \frac{L_1}{L} + \phi \cdot \Lambda_1 \cdot \sin \alpha_A$$

$$L_6 = \frac{L_2}{L}$$

$$L_7 = \frac{L_3}{L} - (1-\phi) A_1 \cdot \sin \alpha_0$$

$$L_8 = \frac{L_4}{L}$$

$$\Gamma_1 = \mp \frac{1}{2} \Psi \cdot a_M + (\frac{\chi}{2} \cdot \sin \alpha + \Psi \cdot C_A \cdot \cos \alpha) \cos \delta$$

$$\begin{aligned} \Gamma_2 = & (\frac{\chi}{2} \cos \alpha - \Psi \cdot C_A \cdot \sin \alpha) w_T - (\frac{1}{2} A_7 + \Psi \cdot C_A \cdot \sin \alpha) a + \\ & + [A_{10} - \Psi \cdot C_A (+\sin \alpha)] \sin \delta \end{aligned}$$

$$\Gamma_3 = (\frac{\chi}{2} \sin \alpha + \Psi \cdot C_A \cdot \cos \alpha) a_M$$

$$\Gamma_4 = -(\frac{\chi}{2} \cos \alpha - \Psi \cdot C_A \cdot \sin \alpha) w_T - (\frac{1}{2} A_7 - \Psi \cdot C_A \cdot \sin \alpha) a$$

$$\Gamma_5 = -(a - w_T) \chi - a \cdot i_t$$

$$T_1 = k_{RM} \cdot \sin \alpha + w_T \cdot \cos \alpha$$

$$T_2 = k_{RM} \cdot \cos \alpha - w_T \cdot \sin \alpha$$

$$z_{A1} = \frac{1}{2} A_6 \pm \Psi \cdot C_A \cdot T_2$$

$$z_{A2} = \frac{1}{2} A_7 \pm \Psi \cdot C_A \cdot \sin \alpha$$

$$z_{A3} = A_{10} \mp \Psi \cdot C_A \cdot (+\sin \alpha)$$

$$z_{\ddot{\theta}1} = \frac{1}{2} \Lambda_8 \pm (1-\psi) \bar{z}_{\ddot{\theta}} \cdot T_2$$

$$z_{\ddot{\theta}2} = \frac{1}{2} \Lambda_9 \mp (1-\psi) \bar{z}_{\ddot{\theta}} \cdot \sin \alpha$$

$$z_{\ddot{\theta}3} = \Lambda_{10} \mp (1-\psi) \cdot \bar{z}_{\ddot{\theta}} \cdot (\mp \sin \alpha)$$

7.2 Kütlenin pozitif ivmeleendirilmesi durumu :

7.2.1 Sistemin dört tekerlekten tahrir edilmesi :

$$\Lambda_1^+ = \frac{1}{r_M} \left[(a^+ \pm w_T x \pm \sin \delta) r_M - \frac{m}{L} (r_{\dot{\theta}} \cdot \sin \alpha_{\dot{\theta}} + r_A \cdot \sin \alpha_A) \right]$$

$$\Lambda_2^+ = \phi \cdot \Lambda_1^+ \cdot \cos \alpha_A + \frac{\operatorname{tg} \alpha_A}{L} \cdot L_1^+$$

$$\Lambda_3^+ = \frac{\operatorname{tg} \alpha_A}{L} L_2^+$$

$$\Lambda_4^+ = (1-\phi) \Lambda_1^+ \cdot \cos \alpha_{\dot{\theta}} - \frac{\operatorname{tg} \alpha_{\dot{\theta}}}{L} L_3^+$$

$$\Lambda_5^+ = - \frac{\operatorname{tg} \alpha_{\dot{\theta}}}{L} L_4^+$$

$$\Lambda_6^+ = k \cos \delta \cdot \cos \delta \pm a_M^+ \cdot \sin \delta + \chi (-k_{RM} \cdot \sin \alpha + w_T \cdot \cos \alpha)$$

$$\Lambda_7^+ = \chi \cdot \cos \alpha + i_t / L$$

$$\Lambda_8^+ = (1-\psi) (\cos \delta \cdot \cos \delta \pm a_M^+ \cdot \sin \delta) - \chi \cdot T_1^+$$

$$\Lambda_9^+ = - \chi \cdot \cos \alpha - i_t / L$$

$$\Lambda_{10}^+ = \pm \frac{\chi}{2} \cos \alpha$$

$$L_1^+ = \Psi(k_{RM} \cdot \cos \alpha + w_T \cdot \sin \alpha) + \phi \cdot \Lambda_1^+ \cdot \sin \alpha_A + \frac{m}{L} = \\ = \Psi \cdot T_2^+ + \phi \cdot \Lambda_1^+ \cdot \sin \alpha_A + \frac{m}{L}$$

$$L_2^+ = \Psi \cdot \sin \alpha$$

$$L_3^+ = (1-\Psi) \left[(k_{RM} \cdot \cos \alpha + w_T \cdot \sin \alpha) - (1-\phi) \Lambda_1^+ \cdot \sin \alpha_O - \frac{m}{L} \right]$$

$$L_4^+ = (1-\Psi) \sin \alpha$$

$$L_5^+ = \frac{L_1^+}{L} - \phi \cdot \Lambda_1^+ \cdot \sin \alpha_A$$

$$L_6^+ = \frac{L_2^+}{L}$$

$$L_7^+ = \frac{L_3^+}{L} + (1-\phi) \Lambda_1^+ \cdot \sin \alpha_O$$

$$L_8^+ = \frac{L_4^+}{L}$$

$$\Gamma_1^+ = \pm \frac{1}{2} (1-\Psi) a_M \left[\frac{\chi}{2} \sin \alpha + (1-\Psi) \zeta_O \cdot \cos \alpha \right] \cos \delta$$

$$\Gamma_2^+ = \left[-\frac{\chi}{2} \cos \alpha + (1-\Psi) \zeta_O \cdot \sin \alpha \right] w_T - a^+ \left[\frac{1}{2} \Lambda_9^+ - (1-\Psi) \zeta_O \cdot \sin \alpha \right] \\ + \sin \left[\Lambda_{10}^+ + (1-\Psi) \zeta_O \cdot (\pm \sin \alpha) \right]$$

$$\Gamma_3^+ = - \left[\frac{\chi}{2} \sin \alpha - (1-\Psi) \zeta_O \cdot \cos \alpha \right] a_M$$

$$\Gamma_4^+ = \left[\frac{\chi}{2} \cos \alpha + (1-\Psi) \zeta_O \cdot \sin \alpha \right] w_T - \left[\frac{1}{2} \Lambda_9^+ - (1-\Psi) \zeta_O \cdot \sin \alpha \right] a^+$$

$$\Gamma_5^+ = -(a + w_{Tx}) \chi - a \cdot i_t$$

$$T_1^+ = -k_{RM} \cdot \sin \alpha + w_T \cdot \cos \alpha$$

$$T_2^+ = k_{RM} \cdot \cos \alpha + w_T \cdot \sin \alpha$$

$$Z_{A1}^+ = \frac{1}{2} \Lambda_6^+ \pm \Psi \cdot \zeta_A \cdot T_2^+$$

$$Z_{A2}^+ = \frac{1}{2} \Lambda_7^+ \pm \Psi \cdot \zeta_A \cdot \sin \alpha$$

$$z_{01}^+ = \frac{1}{2} \lambda_8^+ \pm (1-\psi) \zeta_0 \cdot T_2^+$$

$$z_{02}^+ = \frac{1}{2} \lambda_9^+ \pm (1-\psi) \zeta_0 \cdot \sin \alpha$$

$$z_{03}^+ = \frac{1}{2} \lambda_{10}^+ \pm (1-\psi) \zeta_0 \cdot (+\sin \alpha)$$

7.2.2 Sistemin arka iki tekerlekten tahrik edilmesi :

Bu durum için, daha önce bulunan denklemlerde $\phi=1$ ve $M_{t0}=0$ değerlerinin yerlerine konulması halinde, bazı sabitelerin aşağıdaki gibi alınması gereklidir.

$$\lambda_2^+ = \lambda_1^+ \cdot \cos \alpha_A + \frac{\operatorname{tg} \alpha}{L} L_1^+$$

$$\lambda_4^+ = - \frac{\operatorname{tg} \alpha_0}{L} L_3^+$$

$$\lambda_7^+ = \chi \cdot \cos \alpha + i_{tA}/L$$

$$\lambda_9^+ = - \chi \cdot \cos \alpha - i_{tA}/L$$

$$\begin{aligned} L_1^+ &= \psi \cdot (k_{RM} \cdot \cos \alpha + w_T \cdot \sin \alpha) + \lambda_1^+ \cdot \sin \alpha_A + \frac{m}{L} = \\ &= \psi \cdot T_2^+ + \lambda_1^+ \cdot \sin \alpha_A + \frac{m}{L} \end{aligned}$$

$$L_3^+ = (1-\psi) \left[(k_{RM} \cdot \cos \alpha + w_T \cdot \sin \alpha) - \frac{m}{L} \right]$$

$$L_5^+ = \frac{L_1^+}{L} - \lambda_1^+ \cdot \sin \alpha_A$$

$$L_7^+ = \frac{L_3^+}{L}$$

$$z_{A2}^+ = \frac{1}{2} \lambda_7^+ \pm \psi \cdot \zeta_A \cdot \sin \alpha$$

$$z_{02}^+ = \frac{1}{2} \lambda_9^+ \pm (1-\psi) \zeta_0 \cdot \sin \alpha$$

7.2.3 Sistemin ön iki tekerlekten tahrik edilmesi:

Böyle bir durum için de daha önceki denklemlerde $\phi=0$ ve $M_{tA}=0$ değerlerinin yerlerine konulması halinde

7.2.2 ile verilen sabitelerin şu şekilde alınması gereklidir.

$$\lambda_2^+ = \frac{\operatorname{tg} \alpha}{L} L_1^+$$

$$\Lambda_4^+ = \Lambda_1^+ \cdot \cos \alpha_0 - \frac{\operatorname{tg} \alpha_0}{L} L_3^+$$

$$\Lambda_7^+ = \chi \cdot \cos \alpha + i_{t0}/L$$

$$\Lambda_9^+ = -\chi \cdot \cos \alpha - i_{t0}/L$$

$$L_1^+ = \Psi (k_{RM} \cdot \cos \alpha + w_T \cdot \sin \alpha) + \frac{m}{L} = \Psi \cdot T_2^+ + \frac{m}{L}$$

$$L_3^+ = (1-\Psi) \left[(k_{RM} \cdot \cos \alpha + w_T \cdot \sin \alpha) - \Lambda_1^+ \cdot \sin \alpha_0 - \frac{m}{L} \right]$$

$$L_5^+ = \frac{L_1^+}{L}$$

$$L_7^+ = \frac{L_3^+}{L} + \Lambda_1^+ \cdot \sin \alpha_0$$

$$Z_{A2}^+ = \frac{1}{2} \Lambda_7^+ \pm \Psi \cdot Z_A \cdot \sin \alpha$$

$$Z_{02}^+ = \frac{1}{2} \Lambda_9^+ \pm (1-\Psi) Z_A \cdot \sin \alpha$$

8. Sonuç

Bir model üzerinde yapılan bu çalışma ile eğri bir yüzey üzerinde belirli bir (h) yüksekliğindeki kütlenin hareketi esnasında elastik bağlarla bağlı olduğu dört tekerleğin hareket durumları incelemiştir.

Eğri bir yüzey üzerinde hareket eden kütlenin genel bir kuvvet altında, bağlı bulunduğu tekerleklerdeki dinamik yük değişimini negatif ve pozitif ivmenin değerine bağlı bulunmaktadır. Kütlenin eğri bir yörüngede üzerindeki hareketi esnasında bağlı olduğu dört tekerlege gerek negatif ve gerekse pozitif ivmelendirilmesinde tatbik edilen momentlerin dinamik yük değişimine göre dağılması, kütlenin bu eğri yörüngede üzerinde kalmasını sağlar. Aksi halde, kütlenin hareket etmeye olduğu yörüngeinden sapması tehlikesini ortaya çıkarır.

Bu incelemenin pratikteki tatbikatı olan motorlu taşıtlarda bu tehlike aşırı ivmelendirmelerde daima kendini hissettirmektedir. Bugün ki araçlarda, maalesef, negatif (fren) ve pozitif (tahrik) ivmelendirme esnasında, tekerleklerdeki dinamik yük değişimleri kaale alınmayaarak moment dağılımı yapılmaktadır. Bu durum ise, aşırı ivmelendirme hallerinde, çok kerre, aracın hareket etmeye olduğu eğri yörünge (yoldan) çıkışını tehlikesini yaratmaktadır.

İzmir, Ocak 1975

LITERATÜR

- 1- BÖHM, F. Über den Fahrzustand des Kraftwagens auf einer ebenen Kreisbahn ohne Überhöhung Ingenieur-Archiv 1962/S. 390-394
- 2- BÖHM, F. Über die Fahrtichtungsstabilität und die Seitenempfindlichkeit des Kraftwagens bei Gerade-Ausfahrt, ATZ 1963/S.128-133
- 3- BRAESS, H.H. Beitrag zum Fahrverhalten des frontgetriebenen Kraftwagens bei Gaswechsel in Kurven ATZ 1969/S.385
- 4- BRAESS, H.H. Beitrag zur Stabilität des Lenkverhaltens von Kraftwagen, ATZ 1966/S.81
- 5- CHIESA, A.
RINONAPOLI, L. Fahrstabilität eines Kraftfahrzeuges bei vorgegebener Bahnkurve, ATZ 1966/S.218-223
- 6- DEININGER, W. Einfluss der Antriebskraft auf die Fahrstabilität von Kraftfahrzeugen, ATZ 1965/S.206-213
- 7- GÖRGE, W.
BODE, Ö. Rechnerische Untersuchung des Bremsverhaltens von Sattelzügen, VDI-Deutsche Kraftfahrtforschung und Strassenverkehrstechnik Heft 149
- 8- GÖRGE, W. Beitrag zur Berechnung des Brems- und Fahrverhaltens von Sattelkraftfahrzeugen bei Kurvenfahrt, VDI- Deutsche Kraftfahrtforschung und Strassenverkehrstechnik Heft 162
- 9- HASSELGRUBER, H. Verhalten eines Kraftfahrzeuges bei Kurvenfahrt, ATZ 1965/S.213-215
- 10- JINDRA, F. Richtungsstabilität von Lastzügen mit Achsschenkelgelenkten Anhängern, ATZ 1965/S.346
- 11- JINDRA, F. Der Einfluss der Radaufhängung auf die Richtungshaltung und Stabilität bei Kurvenfahrt, ATZ 1963/S.133-139
- 12- METZNER, E. Über die Berechnung des Fahrverhaltens von Kraftfahrzeugen bei hohen Querbeschleunigungen, ATZ 1969/S.39-45
- 13- MITSCHKE, M. Untersuchungen über die Slalomfahrt eines Kraftfahrzeuges, ATZ 1966/S. 202-206
- 14- SLIBER, A.
TROGER, H. Instationärer Fahrvogang des Sattelaufliegerzuges bei verzögter Aufliegerbremsung, ATZ 1972/S. 324-329, ATZ 1973/S.143
- 15- SPIENDLER, W. Wege und Querbeschleunigungen bei der Kurvenfahrt von Kraftfahrzeugen, ATZ 1965/S.150
- 16- WINCKELMANN, O.J. Anforderungen an das Fahrverhalten von Kraftfahrzeugen, ATZ 1963/S. 121-128.

ÖZGEÇMİŞİM

Adı ve Soyadı : Mustafa DEMİRSOY
Doğum yeri ve yılı : İzmir 1.3.1936
Baba adı : Ahmet
Ana adı : Fatma

İlk öğrenim : 1943-1948 Tunaztepe İlkokulu-İzmir
Orta öğrenim : 1948-1953 Mithatpaşa Sanat Enstitüsü-İzmir
Yüksek öğrenim : 1954-1958 İstanbul Teknik Okulu
1960-1963 Technische Hochschule Darmstadt

Stajlar : 1957 yaz, Karayolları 2. Bölge-İzmir
1958 yaz, Demir ve Çelik Fabrikaları-Karabük
1960 Eylül-1961 Nisan, Friedrich Kocks GmbH
Bremen
1962 Temmuz-1962 Kasım, Fernseh GmbH-Darmstadt

Yedek Subaylık : 1.1.1959-30.6.1960, Ordu Donatım Okulu ve
İnşaat Emlak Dairesi-Milli Savunma Bakanlığı

Tatbiki çalışmalar : 4.6.1963-31.10.1964, Stöhr GmbH-Offenbach
Kaldırma ve iletme makinaları ve çelik konst-
rüksiyon işleri, Konstrktör-Mühendis
1.11.1964-30.6.1970, Alfred Teves-Frankfurt
Fren ve endüstri hidrolik sistemleri
Araştırma, deneme ve geliştirme mühendisi
28.10.1970 den itibaren, Ege Üniversitesi
Mühendislik Bilimleri Fakültesi, Mühendislik
ve Mimarlık Akademisi-Öğretim görevlisi

Teknik yazılar : - Otomobil Endüstrisinin Gelecekteki Büyük
Problemleri, Mühendis ve Makina 1967/Sayı 120
- İş İlminin Ana Prensipleri, Müh. ve Mak.
1969/Sayı 140
- Frenler, Müh. ve Mak. 1971/Sayı 166
- Disk Frende Sürtünme Katsayısı
Müh. ve Mak. 1971/Sayı 170
- Eksoz Gazları Problemi, Müh. ve Mak.
1972/Sayı 187
- Tanbur ve Disk Frenleri,
Müh. ve Mak. 1973/Sayı 192
- Balatalar, Müh. ve Mak. 1973/Sayı 194
- Taşıt Frenleri, Müh. ve Mak. 1974/Sayı 210